

RĪGAS TEHNISKĀ UNIVERSITĀTE  
NEORGANISKĀS ĶĪMIJAS INSTITŪTS

Tatjana Borisova

Neorganisko jonu ietekme uz jonu apmaiņas  
ekstrahentu adsorbciju uz fāžu robežvirsmām  
starp ūdens un organiskiem šķidumiem



D I S E R T Ā C I J A

ķīmijas doktora grāda iegūšanai  
fizikālajā ķīmijā

Zinātniskais vadītājs:  
Dr. hab. Chem. A. Popovs

Konsultants:  
Akad., prof.,  
Dr. hab. Chem. B. Puriņš

Salaspils 2000

Promocijas darbs izstrādāts RTU Neorganiskas Ķīmijas institūtā no 1981. gada līdz 2000. gadam.

**Darba raksturs:** disertācija ķīmijas nozarē fizikalās ķīmijas apakšnozarē

**Darba recenzenti:**

Dr. habil. phys., prof. J. Tiliks (Latvijas Universitāte)

Dr. chem., A. Actiņš (Latvijas Universitāte)

Dr. habil. chem., prof. J. Švarca (RTU Neorganiskas Ķīmijas institūts)

Darba aizstāvēšana notiks Latvijas Universitātes ķīmijas nozares habilitācijas un promocijas padomes atklātā sēdē 2000. gada 29. augustā 10.00 Latvijas Universitātes Ķīmijas fakultātē Kr. Valdemāra ielā 48

## Saturs

1. levads .....	4
2. Literatūras apskats.....	6
2.1. Virsmas aktivitāte un virsmas aktīvās vielas (VAV).....	6
2.2. Gibsa vienādojums vielas adsorbcijai divfāzu sistēmā ūdens/eļļa .....	7
2.3. VAV adsorbcijas darbs.....	9
2.4. Stāvokļa vienādojums. Adsorbcijas izotermas. Adsorbcijas izotermas izvēle .....	12
2.5. Adsorbcijas un ekstrakcijas īpašbu savstarpeja sakarība gadījumā, kad adsorbcija notiek no neūdens šķiduma .....	16
2.6. Pretjoni un ekstrahentu adsorbcija .....	17
2.6.1. Anjonu apmaiņas ekstrahenti (katjonus VAV) .....	17
2.6.1.1. Adsorbcija no ūdens fāzes uz fāzu robežvirsmām ūdens/gaiss, ūdens/nepolāra eļļa .....	17
2.6.1.2. Agregācija ūdens šķidumos.....	20
2.6.1.3. Adsorbcija no neūdens un ūdens fāzēm ekstrakcijas sistēmās .....	21
2.6.1.4. Anjonu konkurentā adsorbcija .....	22
2.6.2. Katjonus apmaiņas ekstrahenti (anjonu VAV) .....	23
2.6.2.1. Adsorbcija no ūdens fāzes uz fāzu robežvirsmām ūdens/gaiss, ūdens/eļļa .....	23
2.6.2.2. Karbonskābes .....	24
2.6.2.3. Sulfoskābes.....	25
2.6.2.4. Alkilfosforskābes.....	26
2.6.2.5. Dikarboliida sāļi .....	27
2.6.2.6. Agregācija šķidumos.....	28
2.6.2.7. Adsorbcija no divu VAV ūdens šķiduma uz fāzu robežvirsmām ūdens/gaiss, ūdens/eļļa .....	29
2.6.3. Makrocikliskie jonofori .....	30

2.6.3.1. Valinomicīns .....	30
2.6.3.2. Kraun-ēteri un to acikliskie analogi .....	31
2.6.3.3. Kaleks-ārēni .....	35
3. Eksperimentu metodika .....	36
3.1. Materiāli un reaktīvi .....	36
3.1.1. Neorganiskās vielas.....	36
3.1.2. Ūdens .....	36
3.1.3. Organiskie šķidinātāji .....	37
3.1.4. Valinomicīns, dicikloheksān-18-krauns-6 un dikarbolīda sāļi .....	37
3.1.5. Eriohrommelnais T un benzilpenicilīna sāļi .....	39
3.2. Eksperimenta metodika .....	40
3.2.1. Starpfāzu spraiguma mērišana .....	40
3.2.1.a. Piliena tilpuma metode.....	40
3.2.1.b. "Pakārtā" piliena metode .....	43
3.2.2. Membrānas potenciāla mērišana .....	45
3.2.3. Radioķīmiskie mēriņumi .....	46
3.2.4. Voltamperometrija .....	46
4. Pētījumu rezultāti un to iztīrījums.....	48
4.1. Valinomicīns .....	48
4.2. Kraun-ēteris .....	52
4.2.1. Kraun-ētera mijiedarbība ar neorganiskiem sāļiem .....	52
4.2.2. Kraun-ētera mijiedarbība ar sārmu metālu sāļiem, kuriem ir citi anjoni .....	60
4.2.3. Kraun-ētera mijiedarbība ar svina sāļiem .....	69
4.3. Dikarbolīda sāļi .....	80
4.3.1. Dikarbolīda sāļi - katjonu apmaiņas ekstrahenti .....	80
4.3.2. Katjonu konkurentā adsorbcīja .....	82
4.3.3. Jonu apmaiņas raksturlielumi .....	85

5. Secinājumi.....	91
6. Literatura .....	93
7. VAV struktūru formulas un saīsinājumi.....	103
8. Publikācijas.....	106

## **1. Ievads**

Vielu atdalīšanai un koncentrēšanai plaši tiek lietota šķidro fāžu ekstrakcija. Pēdējos gados šiem pašiem mērķiem izmanto šķidrās membrānas. Šķidrā membrāna kalpo arī kā daudzu jonoselektīvo elektrodu darba elements. Organiskajā sintēzē stabili vietu iekarojusi starpfāzu katalīze. Visas šīs sistēmas pamatā ir divfāzu, un procesi, kuri norisinās šajās sistēmās, iekļauj sevī jonu pārnesei caur divu savstarpēji nesajaucošos šķidrumu ( $\text{ūdens}/\text{eļļa}$ ) fāzu robežvirsmu kā vienu no galvenajām procesa stadijām. Šī fāzu robežvirsma ir ērts objekts procesu pētišanai heterogēnās sistēmās. Praktiski visi jonu apmaiņas ekstrahenti un membrānaktīvās vielas uzrāda virsmas aktivitāti uz fāzu robežvirsmas  $\text{ūdens}/\text{eļļa}$ . Adsorbcija ir daļa no kopējā procesa, kurā notiek jonu pārnese no vienas fāzes otrā, tāpēc starp adsorbcijas un ekstrakcijas raksturlielumiem eksistē cieša sakarība. Ekstrakciju, kura notiek pēc jonu apmaiņas mehānisma, var aplūkot kā pretjonu apmaiņas reakciju ekstrahenta monoslānī, kurš adsorbēts uz fāzu robežvirsmas, un šai reakcijai sekojošu ekstrahētā savienojuma (piemēram, jonu pāra) pārnesei organiskās fāzes tilpumā. Līdz ar to jautājumiem par pretjonu mijiedarbību ar ekstrahentu uz starpfāzu robežvirsmas, kā arī pretjonu dabas ietekmi uz monoslānu īpašībām ir svarīga nozīme jonu pārneses caur savstarpēji nesajaucošos šķidrumu fāzu robežvirsmu mehānisma izpratnē.

Sīkāk šie jautājumi pētīti anjonu apmaiņas ekstrahentiem, pirmkārt, alkilamonija sāļiem. Par pretjonu dabas ietekmi uz katjonu apmaiņas ekstrahentu adsorbciju zināms stipri mazāk. Īpašu interesi izraisa problēmas, kuras saistītas ar jonu dabas ietekmi uz makrociklisko jonoforu adsorbcijas īpašībām, jo šos savienojumus var ietekmēt ne tikai pretjona daba, bet arī to jonu daba, kuri mijiedarbojas ar kraun-ētera vai, piemēram, valinomicīna iekšējo virsmu. Šīm sistēmām lokālā līdzsvara rajonā uz starpfāzu robežvirsmas no adsorbcijas

datiem var aprēķināt jonu apmaiņas reakcijas tilpuma, kā arī virsmas parametrus.

Neparastas īpašības salīdzinājumā ar citiem katjonu apmaiņas ekstrahentiem piemīt dikarbolilkobaltāta(III) atvasinājumu sāļiem. Šiem  $\pi$ -kompleksiem molekulā nav spilgti izteiktu hidrofili-liofilu fragmentu, tāpēc to virsmas aktivitātei uz fāzu robežvirsmām ūdens/eļļa piemīt diezgan negaidīts raksturs. Šā savienojuma virsmas aktivitātes pētišana ir svarīgs patslāvīgs uzdevums.

Šis darbs veltīts pretjonu dabas ietekmes uz dažu katjonu apmaiņas ekstrahentu (pamatā kobalta dikarbolīda sāļu) un kraun-ēteru (dicikloheksān-18-krauna-6 konformācijas izomēru) virsmas aktivitāti pētišanai. Ciešā sakarība starp virsmas un tilpuma īpašībām parādīta, pētot mehānismus jonus elektrodialīzei caur šķidrām membrānām, kuras satur makrocikliskus jonoforus. Darba zinātnisko novitāti lielā mērā nosaka virsmas parādību ķīmijas metožu izmantošana šķidro membrānu elektrodialīzes likumsakarību noteikšanai. Sevišķi uzskatāmi tas parādīts, pētot pašsvārstību rašanās mehānismu membrānu sistēmās.

Šādi pētījumi ar patstāvīgu vērtību veido pamatu arī vairāku praktisku uzdevumu risināšanai. Kā piemēru var minēt izstrādāto metodi svina jonus reekstrakcijai no membrānām, kuras satur kraun-ēteri. Metodi var izmantot jonofora kompleksa koncentrācijas noteikšanai organiskajā fāzē. Šie paši darbi ļāva izstrādāt jonselektīvu elektrodu svina jonus noteikšanai.

## 2. Literatūras apskats

### 2.1. Virsmas aktivitāte un virsmas aktīvās vielas (VAV)

Daudzas vielas, kuras tiek lietotas šķidrumu ekstrakcijā, elektrodialīzes sistēmās ar šķidrajam membrānām, kā arī šķidrajos jonselektīvajos elektrodos izrāda virsmas aktivitāti uz fāzu robežvirsmas šķidums/ella.

Termins "virsmas aktivitāte" raksturo tās vai citas vielas spēju heterogēnā sistēmā samazināt starpfāzu robežvirsmas spraigumu. Virsmas aktivitāte tiek izteikta ar lielumu  $\frac{d\delta}{dc}$ , kur  $\delta$  - virsmas spraigums, bet  $c$  – vielas tilpumkoncentrācija vienā no fāzēm. Virsmas aktīvām vielām  $\frac{d\delta}{dc}$  mazāks par 0. Šos terminus ievedis

P.A.Rebinders [1,2,3].

Lai vielai būtu augsta virsmas aktivitāte uz starpfāzu robežvirsmas, nepieciešams, lai tās molekulas būtu difilas, t.i. saturētu polāro (hidrofilo)grupu un nepolāro (hidrofobo vai lipofilo) daļu. Katras šīs molekulas daļas laba šķidība tikai vienā fāzē dod iespēju vielai koncentrēties uz starpfāzu robežvirsmas [3].

Tā kā VAV iespējams liels funkcionālo grupu tipu, skaita un izmēru kombināciju daudzums, rodas vajadzība šīs vielas klasificēt.

VAV klasifikācijas galvenie virzieni: 1) pēc hidrofilo grupu jonogēnajām īpašībām:

- a) anjonu (anjonaktīvās) VAV, kuras polārā šķidinātājā spēj disociēt, veidojot virsmas aktīvus anjonus: alkilosfor-, karbonskābju sāļi, alkilsulfāti, alkilsulfonāti u.c.,
- b) katjonu (katjonaktīvās) VAV, kuras spēj disociēt, veidojot virsmas aktīvus katjonus: alkilamīnu atvasinājumi u.c.,
- c) amfoterās (amfolitās) VAV, kuru molekulas satur vairākas polāras grupas un disociācijas rezultātā atkarībā no ārējiem apstākļiem (piemēram pH) veido virsmas aktīvus anjonus vai katjonus,

d) nejonogēnās VAV.

2) ūdenī šķīstošās un eļļās šķīstošās VAV.

Efektīvām VAV jābūt ne tikai difilām, bet arī savienojumiem ar optimālu hidrofilitātes - lipofilitātes līdzsvaru (HLL). Daudzām vielām šo lielumu (kā arī iespējamo virsmas aktivitātes pakāpi) var noteikt pēc eksperimentālās skalas, vai arī pēc grupu skaitliskajām vērtībām (HLL skaitliskajām vērtībām molekulas struktūrvienībām) [4, 5, 6].

Praktiski visi lietotie ekstrahenti, kā arī jonselektīvo elektrodu un šķidro membrānu membrānaktīvās vielas nešķīst ūdenī un izrāda virsmas aktivitāti uz fāzu robežvirsmas ūdens/eļļa adsorbcijas gadījumā no neūdens fāzes. Kraun-ēteru, kriptandu, kā arī citu makrociklisku jonoforu (valinomicīna) adsorbcijas gadījumā var atzīmēt, ka pašas šīs vielas, gan būdamas VAV, neizrāda augstu virsmas aktivitāti, pat sasniedzot šķidības robežu organiskajā fāzē. Iekļūstot molekulas iekšienē kationam, molekula kļūst difila un komplekss kraun-ēteris ar kationu/pretjons iegūst virsmas aktīvas īpašības.

Dikarbolīda sāls (eļļā šķīstoša anjonu VAV) tipa sendviča struktūrām HLL iepriekš aprakstītajā veidā grūti novērtēt. Dikarbolīda anjonam kā simetriskai struktūrai nepiemīt izteikta difilitāte, kas neļauj cerēt uz savienojuma virsmas aktivitāti uz robežvirsmas eļļa/ūdens. Piemērota kationa izvēle padara šo savienojumu par efektīvu VAV.

## 2.2. Gibbsa vienādojums vielas adsorbcijai divfāzu sistēmā ūdens/eļļa.

Adsorbcijas termodinamikas pētījumu pamatā ir Gibbsa vienādojums. Tas ļauj aprēķināt vielu virsmas pārpalikumus, izmantojot sakarību starp starpfāzu spraigumu un tilpuma koncentrācijām. Plakanai starpfāzu robežvirsmai konstantā temperatūrā šis vienādojums tiek izteikts sekojošā formā:

$$d\delta = - \sum_{i=1}^r G_i d\mu_i \quad (1)$$

kur  $\delta$  - starpfāzu spraigums,  $G_i$  un  $\mu_i$  - i-tā komponenta virsmas pārpalikums un ķīmiskais potenciāls,  $r$  - komponentu skaits.

Ja fāzu robežvirsmas stāvoklis izvēlēts tā, lai abu šķidinātāju virsmas pārpalikumi būtu vienādi ar nulli, tad, izmantojot Gibbsa-Digema vienādojumu tilpuma fāzēm, Gibbsa vienādojumu var uzrakstīt sekojoši:

$$d\delta = - \sum_{i=3}^r (G_i - \frac{x_i^\alpha}{x_1^\alpha} G_1 - \frac{x_i^\beta}{x_2^\beta} G_2) d\mu_i \quad (2)$$

kur  $x_i$  - i-tā komponenta mola daļa:  $x_i^\alpha$  - VAV mola daļa fāzē  $\alpha$ ;  $x_1^\alpha$  - šķidinātāja mola daļa fāzē  $\alpha$ ;  $x_2^\beta$  - VAV mola daļa fāzē  $\beta$ ;  $x_2^\beta$  - šķidinātāja mola daļa fāzē  $\beta$ .

Vienkāršības labad tika pieņemts, ka fāzes ir savstarpēji nešķistošas.

Ja VAV, kurām piemīt stipras adsorbcijas spējas, izšķidināta šķidinātāja 1 (fāze  $\alpha$ ) un šķidinātāja 2 (fāze  $\beta$ ) un VAV mola daļa šķidumā ir maza, salīdzinot ar šķidinātāja mola daļu, var neņemt vērā lielumus  $\frac{x_i^\alpha}{x_1^\alpha}$  un  $\frac{x_i^\beta}{x_2^\beta}$ . Tad vienādojums iegūst sekojošu formu:

$$d\delta = - \sum_{i=3}^r G_i d\mu_i \quad (3)$$

Ja VAV piemīt augsta aktivitāte un tās koncentrācija tilpuma fāzē ir maza, var uzskatīt, ka virsmas pārpalikums ir vienāds ar virsmas koncentrāciju.

Jonogēnu VAV adsorbcijas gadījumā virsmas pārpalikumu aprēķiniem piemīt dažas īpatnības. Divdimensiju virsmas spiediena radīšanā savu ieguldījumu dod arī pretjoni [7]. Gan tilpuma fāzei, gan virsmai jāizpildās elektroneitralitātes nosacījumam. Tas nozīmē, ka, disociējot VAV molekulai, jāņem vērā kopējais jonu skaits, kā arī katjonus un anjonu skaits.

Gadijumā, kad anjonaktīva VAV tiek adsorbēta no ūdens šķiduma neaktīva elektrolīta (fona elektrolīta) klātbūtnē un šim elektrolītam ir

kopīgs katjons ar VAV, Gibbsa vienādojums tiek rakstīts sekojošā formā [8]:

$$G = -\frac{1}{iRT} \frac{d\delta}{d \ln c} \left( 1 + \frac{vd \ln \gamma_{\pm}}{id \ln c} \right) \quad (4)$$

$$i = v_+ \left( \frac{v_+ c}{v_+ c + v_- c_a} \right) + v_-$$

kur  $\gamma_{\pm}$  - virsmas aktīvā elektrolīta vidējais molārais aktivitātes koeficients;  $v_+$ ,  $v_-$  un  $v$  attiecīgi katjonu, anjonu un kopējais jonus skaits, kas veidojas, disociējot vienai VAV molekulai;  $v_+$  - katjonu skaits, kas veidojas, disociējot neaktīvā elektrolīta molekulai;  $c$  un  $c_a$  - VAV un neaktīvā elektrolīta koncentrācijas šķidumā.

Vienvērtīga virsmas aktīva elektrolīta ūdens šķiduma gadījumā bez fona elektrolīta klātbūtnes vienādojums (1) tiek rakstīts sekojoši:

$$G = -\frac{1}{2RT} \frac{d\delta}{d \ln c \gamma_{\pm}} = -\frac{1}{2RT} \frac{d\delta}{d \ln a_{\pm}} \quad (5)$$

kur  $a_{\pm}$  - VAV vidējā jonus aktivitāte.

Ja elektrolīts, kuram ir kopīgs jons ar VAV, ir pārākumā, Gibbsa vienādojums tiek rakstīts sekojoši [7]:

$$G_{AB} = -\frac{1}{RT} \frac{d\delta}{d \ln a_{AB}} \quad (6)$$

Ja fona elektrolīta koncentrācija salīdzināma ar VAV koncentrāciju, reizinātājs pirms RT vienādojumos (5) un (6) var pieņemt vērtības no  $>1$  līdz  $<2$ .

## 2.3. VAV adsorbcijas darbs.

Adsorbcijas brīvā standartenerģija  $\Delta G^\circ$ , kura vienāda ar VAV ķīmisko standartpotenciālu starpību virsmas slānī ( $\mu_s^\circ$ ) un šķiduma tilpumā ( $\mu_l^\circ$ ), ir svarīgs VAV raksturojošs lielums [7]. Skaitliski tā vienāda ar darbu, kurš tiek paveikts, pārnesot VAV molu no šķiduma tilpuma uz fāzu robežvirsmu, un tiek ņemts ar pretēju zīmi [9].

Adsorbcijas brīvās standartenerģijas lielums atkarīgs no VAV standartstāvokļa izvēles. Tilpuma fāzei tas parasti ir 1M VAV šķidums, kuram piemīt bezgalīgi atšķaidīta, t.i., ideāla šķiduma īpašības.

Standartstāvokļa izvēle uz fāzu robežvirsmas adsorbētajām molekulām var notikt dažādi, bet jebkurā gadījumā tā saistīta ar adsorbētā monoslāņa stāvokļa vienādojuma (vai ar adsorbcijas izotermas) izvēli.

Patreiz ļoti izplatīts ir Betsa-Pefiki adsorbcijas brīvās enerģijas noteikšanas paņēmiens [10].

Standartstāvoklim atbilst ideālas divdimensiju gāzes stāvoklis (atbilstošs Henri adsorbcijas izotermai) ar virsmas spiedienu 1 mN/m un ideāls 1 M šķidums [10].

Adsorbcijas brīvā enerģija ( $\Delta\mu^\circ$ ) un adsorbcijas darbs ( $W_{ad}$ ) tiek izteikti sekojoši:

$$W_{ad} = -\Delta\mu^\circ = RT \ln\left(\frac{\pi}{c}\right)_{C \rightarrow 0} \quad (7)$$

Praktiski nosakot  $W_{ad}$  no vienādojuma (7), tiek izmantots funkcijas  $\pi=f(c)$ , kur  $c$  - VAV tilpuma koncentrācija, lineārais apgabals, līdz  $\pi=3\text{mN/m}$ .

Ar nosacījumu, ka par standartstāvokli tiek pieņemts bezgalīgi retināts VAV monoslānis [7], lielumu  $\Delta G^\circ$  var aprēķināt sekojoši:

$$\Delta G^0 = -RT \ln \frac{K_0}{RTG_\infty} - RT \ln \left( \frac{\pi}{c} \right)_{c \rightarrow 0} \quad (8)$$

kur  $K_0$  - koeficients pārrēķinam no mola daļām uz moliem litrā, kuru nosaka ūdens blīvuma attiecība pret tā molekulsvaru un kurš pie 20°C vienāds ar 55.4 mol/l.

Šie standartstāvokļi ir tuvi un adsorbcijas darbu raksturojošie skaitļi atšķiras 8% robežās [7].

Bieži par standartstāvokli tiek pieņemts tāds molekulu stāvoklis monoslāni, kura aizpildījuma pakāpe ir 0.5. Tomēr šajā gadījumā molekulas aktivitātes koeficienti monoslāni var nebūt vienādi ar 1 [11]. Vispār adsorbcijas darbu var noteikt, izmantojot atbilstošās izotermas adsorbcijas konstanti noteiktai aizpildījuma pakāpei, bet tādu lielumu salīdzināšana, kuri iegūti no dažādām izotermām, prasa papildus nosacījumus [11, 12, 13].

Abramsons lieto vienādojumu  $W_{ad} = RT \ln \frac{G}{\delta c} + \frac{\pi_{max}}{G_{max}}$  (9)

, kur  $\delta$  - adsorbcijas slāņa biezums;  $\pi_{max}$  - virsmas spiediens, kurš atbilst maksimāli aizpildītam monoslānim;  $G_{max}$  - maksimālā adsorbcija [14]. Izvēloties adsorbcijas slāņa biezumu, jāizskata modeļi un jāizdara vairāki pielāvumi. Fāzu robežvirsmai ūdens/eļļa tāda adsorbcijas slāņa biezums, kurš iespaido virsmas spiedienu, ir 12 Å [15]. Šāda pieeja liekas pietiekoši tuvināta [16].

## 2.4. Stāvokļa vienādojums. Adsorbcijas izotermas. Adsorbcijas izotermas izvēle.

Pētot adsorbciju no šķidumiem uz šķidrām fāzu robežvirsmām (ūdens/gaiss, ūdens/eļļa), eksperimentālā ziņā darbs galvenokārt reducējas uz starpfāzu robežvirsmas spraiguma atkarības no virsmas aktīvo vielu (VAV) koncentrācijas šķidumā mērišanu (virsmas spiediena izoterma). Tās apstrāde pēc Gibbsa vienādojuma ļauj noteikt VAV virsmas koncentrācijas lielumu (mūsdienās virsmas koncentrāciju iespējams noteikt ar spektrālām metodēm [17, 18, 19, 20], kā arī dažos gadījumos, izdarot tiešus mērijumus ar izotopu palīdzību), kā arī virsmas aizpildījuma pakāpi  $\theta = G/G_{\max}$ . Lielums  $G_{\max}$  tiek noteikts vai nu kā maksimāli sasniedzamā virsmas koncentrācija eksperimentā, vai arī, izejot no molekulārajiem modeļiem (Van-der-Vālsa molekulas izmērs).

Sakarību starp virsmas aizpildījumu un VAV tilpuma koncentrāciju nosaka adsorbcijas izotermas sekojošā formā  $BC = f(\theta)e^{-2a\theta}$ , kur B - adsorbcijas līdzsvara konstante, a - raksturo mijiedarbību starp adsorbētajām daļinām.

Adsorbcijas izoterma ar Gibbsa vienādojuma palīdzību saistīta ar virsmas slāņastāvokļa vienādojumu. Katrai adsorbcijas izotermai atbilst savs stāvokļa vienādojums. Tā piemēram, ideālas divdimensiju gāzes stāvokļa vienādojumam  $\pi S = kT$  atbilst Henri izoterma; stāvokļa vienādojumam, kurš pazīstams kā Van-der-Vālsa vienādojuma divdimensiju analogs  $\pi = \frac{kT}{S - S_m} - \frac{a}{S^2}$ , kur  $S_m$  - laukums, ko aizņem molekula blīvā monoslānī, atbilst Hila-de-Bura izoterma u.t.t. [21].

Pārsonsa darbos [22,23] norādīts, ka ar eksperimentālajiem datiem jāsalīdzina rezultāti, kuri izriet no dažādu izotermu vienādojumiem. Tad jāizvēlas tā izoterna, kura visprecīzāk saskan ar eksperimentālajiem datiem.

Literatūrā aprakstītas daudzas adsorbcijas izotermas, tajā skaitā:

#### 1. Henri izoterna

$$B_H C = \theta \quad (10)$$

#### 2. Lengmīra izoterna

$$B_L C = \frac{\theta}{1-\theta} \quad (11)$$

#### 3. Frumkina izoterna

$$B_F C = \frac{\theta}{1-\theta} \exp(-2a_F \theta) \quad (12)$$

#### 4. Hila-de-Bura izoterna

$$B_{Hil} C = \frac{\theta}{1-\theta} \exp\left(\frac{\theta}{1-\theta}\right) \exp(-2a_{Hil} \theta) \quad (13)$$

#### 5. Parsonsa izoterna

$$B_P C = \frac{\theta}{1-\theta} \exp\left(\frac{2-\theta}{(1-\theta)^2}\right) \exp(-2a_P \theta) \quad (14)$$

## 6. Izoterma ar viriālajiem koeficientiem

$$B_v C = G \exp(-2A_v G) \quad (15),$$

kur  $A_v$  - otrs viriālais koeficients.

Izotermām (12)-(14) piemīt tāda priekšrocība, ka tās nesatur citus papildus parametrus, tikai  $a$  un  $B$ , un sarežģītākās iztermas var tikt reducētas līdz veidu (10)-(12) robežgadījumam.

Koeficients  $a$  visos vienādojumos, izņemot (15), var pieņemt gan pozitīvas, gan negatīvas vērtības, t.i., atspoguļot gan savstarpējas pievilkšanās, gan atgrūšanās procesus. Izotermai (15)  $a$  vienmēr mazāks par 0.

Frumkina izoterma sākumā tika piedāvāta pievilkšanās mijiedarbības aprakstīšanai monoslānī.

A vienādojumā (15) tiek izteikts kā  $A = A_{geom} + A_{rep}$  (15a), kur  $A_{rep}$  - komponente, kuru nosaka atgrūšanās monoslānī, bet  $A_{geom} = kSm$  - ģeometriskā komponente, kuru nosaka laukums  $Sm$ , t.i. laukums, kuru aizņem monoslānī adsorbētā molekula. Koeficients  $k$  ir atkarīgs no virsmas slāņa modeļa, piemēram, cietu sfēru nelokalizētai adsorbcijai tas vienāds ar 2 [24]. Šā koeficiente vērtība tiek izmantota vairākos darbos, kad eksperimentālie dati nav pilnīgi vai arī tie nav pietiekoši precīzi.

Viriālo izotermu ērti lietot kraun-ēteru kompleksu adsorbcijas aprakstam, jo maksimālās adsorbcijas (un molekulai atbilstošā laukuma) novērtēšana saistīta ar monoslāņa aizpildīšanās modeļa izvēli (sk. lit. apskatu).

Daudzām eksperimentālajām izotermām dotajās koordinātēs  $\theta = f(c / c_{\theta=\theta^*})$  ir s-veida forma. Tas nozīmē, ka izotermas slīpumam tās vidējā daļā pie  $\theta=\theta^*$  jābūt lielākam, nekā tās sākuma slīpumam pie  $\theta=0$ . Pastāv zināma kritiskā a vērtība  $a_{kr}$ , kad pie  $a>a_{kr}$  parādās eksperimentāli nerealizējams apgabals. Izotermām (12), (13), un (14) tiek dotas vērtības  $\theta^*=0.500; 0.333$  un  $0.215$ , kam  $a_{kr}$  ir attiecīgi  $2.0; 3.375$  un  $5.841$  [25]. Vienādojums (12) tika izvests nosacījumam, kad a ir lielāks par 0, tādēļ eksperimentālajām izotermām ar atgrūšanās mijiedarbību apraksts jāveic uzmanīgi. Ja a tiecas uz 0, izoterna (12) pārvēršas par (11).

Ja organisko vielu adsorbcija notiek uz šķidrā (dzīvsudraba) elektroda, izotermas izvēlei var lietot Damaskina kritēriju. Tā kā  $f(\theta)$  nav

atkarīgs no a, tad pie  $\theta=\theta^*$  parabolai  $\frac{d \ln C}{d \theta} = f(\theta)$  jābūt ar

minimum. Vienādojumiem (12), (13) un (14) tiek uzzots tā platums attiecīgi  $0.447; 0.281; 0.158$  ar nosacījumu, ka

$$\left( \frac{d \ln C}{d \theta} \right) - \left( \frac{d \ln C}{d \theta} \right)_{\min} = 1.$$

Fāzu robežvirsmai ūdens/eļļa šā kritērija

izmantošana ir aprūtināta, jo tas prasa  $\theta$  noteikšanu ar precizitāti ne mazāku par  $0.01\%$  [26].

Izoterna (15) jauj izvairīties no  $\theta$ , t.i., no maksimāli iespējamās adsorbcijas  $G_{max}$  izmantošanas. Tas ir ērti tajā gadījumā, kad nav zināms, vai eksperimentā tiek iegūts tāds laukums uz molekulu, kurš atbilst Van-der-Vālsa molekulas izmēram.

Ja VAV adsorbcija no ūdens šķiduma uz robežvirsmas ūdens/eļļa tiek aprakstīta ar Langmīra izotermu, tad virsmas spraigumu var aprakstīt ar Šiškovska vienādojumu [14]:

$$\pi = RTG_{\max} \ln(1 + B_L C) \quad (16),$$

kur  $B_L$  - adsorbcijas konstante (Lengmīra konstante).

2.5. Adsorbcijas un ekstrakcijas īpašību savstarpējā sakarība gadījumā, kad adsorbcija notiek no neūdens šķīduma.

Pētot VAV adsorbciju no organiskās fāzes uz fāzu robežvirsmas ūdens/eļļa atšķir divus gadījumus: a) VAV sadalīta starp abām fāzēm, b) VAV praktiski pilnīgi atrodas organiskajā fāzē.

Pirmajā gadījumā virsmas pārpalikumu aprēķināšanai var lietot Gibbsa vienādojumu adsorbcijai no ūdens fāzes. Rebinders [27], pētot oleinskābes adsorbciju sistēmā ūdens/heptāns, eksperimentāli parādījis, ka līdzsvara gadījumā adsorbcijas aprēķinus var izdarīt pēc jebkuras no fāzēm, jo tad visu komponentu ķīmiskie potenciāli gan ūdens, gan organiskajā fāzē ir vienādi un tos savā starpā saista sadalījuma konstante  $K_{ekstr}$ . Rebinders [1] parādījis arī, ka pareiza ir vienādība:

$$C_{\text{ud}} \frac{d\delta}{dC_{\text{ud}}} = C_{\text{org}} \frac{d\delta}{dC_{\text{org}}} \quad (17)$$

No tā izriet, ka

$$K_{ekstr} = \frac{C_{\text{org}}}{C_{\text{ud}}} = \frac{d\delta}{dC_{\text{ud}}} / \frac{d\delta}{dC_{\text{org}}} \quad (18).$$

Gadijumā, kad VAV, veicot ekstrahenta funkcijas, praktiski pilnībā atrodas organiskajā fāzē, nejonogēno VAV adsorbcijas aprēķinu var izdarīt pēc Gibbsa vienādojuma formā (6).

Darbu  $W_{ekst}$ , kas nepieciešams, lai 1 VAV molu pārnestu no ūdens fāzes neūdens fāzē, var izteikt kā:

$$W_{ekstr} = W_{\text{ud}}^{\text{ad}} - W_{\text{org}}^{\text{ad}} \quad (19)$$

kur  $W_{\text{ud}}^{\text{ad}}$  un  $W_{\text{org}}^{\text{ad}}$  - VAV adsorbcijas darbs no atbilstošajām fāzēm. Tā kā  $W_{ekstr}=RT\ln K_{ekstr}$ , tad sakarību (19) var pārrakstīt sekojoši:

$$RT \ln K_{ekstr} = W_{\text{ud}}^{\text{ad}} - W_{\text{org}}^{\text{ad}} \quad (20)$$

Sakarība (20) ir pamatā pētījumiem par ekstrakcijas un adsorbcijas raksturlielumu savstarpējo saistību sistēmās ūdens/eļļa.

## 2.6. Pretjoni un ekstrahentu adsorbcija

### 2.6.1. Anjonu apmaiņas ekstrahenti (katjonus VAV)

#### 2.6.1.1. Adsorbcija no ūdens fāzes uz fāzu robežvirsmas ūdens/gaiss, ūdens/nepolāra eļļa

Pētot katjonus VAV adsorbciju no ūdens fāzes, galvenā uzmanība tika pievērsta alkilamonija katjonus uzbūves un to virsmas aktīvo ipašību saistībai ar monoslāņu uzbūvi. Stipri mazāk pētīta anjonu dabas

ietekme uz alkilamonija sāļu adsorbciju no neūdens fāzes, kā arī pretējou konkurento katjonus adsorbcija monoslāņos uz fāzu robežvirsmas ūdens/ēļja.

Koloīdu ķīmijā ir pazīstamas liotropās rindas (Hofmeistera rindas). Jonu novietojumu šajās rindās galvenokārt nosaka hidratācijas enerģija [28]. Jo mazāk hidratēti joni, jo lielāka to spēja adsorbēties uz hidrofobām fāzu robežvirsmām. Šo likumsakarību pirmoreiz konstatēja Frumkins tetrapropilamonija sāļu virsmas aktivitātei uz fāzu robežvirsmas ūdens/gaiss [29].

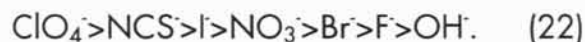
Sīkāk neorganisko jonu mijiedarbību ar nešķistošiem katjonus monoslāņiem pētījis Hogards un līdzstr. Balstoties uz ziņām par potenciāla virsmas lēcienu, autori [30] nonākuši pie secinājuma, ka starp anjoniem un katjonus monoslāni novērojama specifiska mijiedarbība, kura noved pie jonu pāru izveidošanās.

Eksperimentos, kuros tika noteikta enerģija anjonu specifiskajai adsorbcijai uz monoslāņa, kuru izveidojuši dokoziltrimetilamonija katjoni uz fāzu robežvirsmas ūdens/gaiss, pastāvīgs jonu spēks šķidumā tika uzturēts ar NaF elektrolīta palīdzību, kuram specifiskā adsorbcija nenotika. Tādā gadījumā pretējou un uzlādētā monoslāņa nespecifiskās elektrostatiskās mijiedarbības enerģija visos gadījumos ir vienāda. Pēc tam ūdens fāzē tika ievadīts pētāmā anjona sāls tādā daudzumā, lai virsmas spiediens samazinātos uz 1 mN/m, pie tam pieņēma, ka pievienoto pretējonus koncentrācijas monoslāni ir vienas un tās pašas. Pēc Boltmana vienādojuma, kurš izteikts formā:

$$C_s = C_0 \exp\left(\frac{e\varphi}{kT}\right) \exp\left(\frac{\phi}{kT}\right) \quad (21)$$

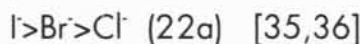
kur  $C_s$  un  $C_o$  - pretjonus virsmas un tilpuma koncentrācijas,  $\phi$  - specifiskās mijiedarbības enerģija,  $e\phi$  - elektrostatiskā enerģija, tika aprēķināta specifiskā mijiedarbības enerģija.

Darbos [31,32], pētot NCS- jonus selektīvo adsorbciju no šķidumiem ar pastāvīgu jonu spēku KX sāls klātbūtnē ( $X=F^-$ ,  $Cl^-$ ,  $Br^-$ ,  $I^-$ ,  $NO_3^-$ ,  $ClO_4^-$ ), tika novērtēta to pretjonus daļa, kuri saistīti jonus pāros. Šī daļa tuva 1  $NCS^-$  un  $ClO_4^-$  joniem, bet tuva 0  $F^-$  un  $OH^-$  joniem. Pēc specifiskās adsorbcijas spējas anjoni sakārtojas sekojošā rindā:



Tiek atzīmēts fosfāta jonus saistības ar dokozilamīna monoslāni nespecifiskais raksturs [33].

Anjonu rindas, kuras tiek veidotas pēc to ietekmes uz katjonus VAV virsmas aktivitāti un nešķistošo monoslānu īpašībām, sakrīt ar liotropajām rindām. Specifiskā adsorbcija adekvāta jonus pāru veidošanai uz Helmholca dubultā elektriskā slāņa (DES) iekšējās virsmas. DES efektīvās dielektriskās caurlaidības vērtība ir zemāka, nekā ūdens fāzes tilpumā [34]. Tā rezultātā mazāk hidratētie anjoni vieglāk nokļūst pie slāņa, ko veido adsorbētie alkilamonija katjoni. Alkilamonija sāji ar mazāk hidratētiem anjoniem uzrāda lielāku virsmas aktivitāti uz fāzu robežvirsmas ūdens/gaiss, ūdens/nepolāra eļļa. Tetrabutilamonija sāju virsmas ativitāte uz fāzu robežvirsmas ūdens/gaiss un ūdens/heksāns samazinās rindā:



Ja metāla jons veido kompleksu savienojumu ar pietiekoši lielu stabilitātes konstanti, tad uz fāzu robežvirsmas ūdens/gaiss, ūdens/eļļa adsorbējas komplekss katjons, kura virsmas aktivitāti ietekmē anjona

tips. Co(III) iekšēji kompleksā savienojuma virsmas aktivitāte uz fāzu robežvirsmas VAV šķidums/gaiss perhlorāta jona gadījumā ir augstāka, nekā hlorīda jona gadījumā [37]. Tāda pati pretjona ietekme uz maksimālo adsorbciju, kā arī uz Ni(III) kompleksveidošanās reakcijas ātrumu ar oksihinolīna atvasinājumiem tikuši novērota uz fāzu robežvirsmas ar heptānu [38].

Literatūrā ir samērā maz ziņu par sarežģītāku anjonu adsorbciju uz lādētiem alkilamonija monoslānjiem.

Pētot tetradeciltrimetilamonija katjona saistīšanos ar alkilkarboksilātu homologiem (C<sub>1</sub>-C<sub>8</sub>) uz fāzu robežvirsmas katjonus VAV šķidums/gaiss, tiek atzīmēts, ka anjonu saistīšanās ar virsmu, sākot no pentanoāta, īstenojas galvenokārt to hidrofobo īpašību rezultātā. Anjoni ar īsāku ķēdi saistīti lielākā mērā elektrostatiski [39].

Tozilātanjona CH<sub>3</sub>C<sub>6</sub>H<sub>4</sub>SO<sub>3</sub><sup>-</sup> - klātbūtnē laukums, kas atbilst heksadeciltrimetilamonija bromīda molekulai uz robežvirsmas ūdens/gaiss palielinās par 25% [40]. Šķistošu katjonus VAV virsmas aktivitāti uz fāzu robežvirsmām ūdens/gaiss un ūdens/nepolāra eļļa galvenokārt nosaka molekulas oglūdeņraža radikāla uzbūve un tā maz atkarīga no anjona dabas. Ķēdes garuma palielināšanās parasti samazina MVKK un palielina virsmas spiedienu pie MVKK [37, 41].

Adsorbcijas darbs pakļaujas Traubes likumam [6,42,43,44].

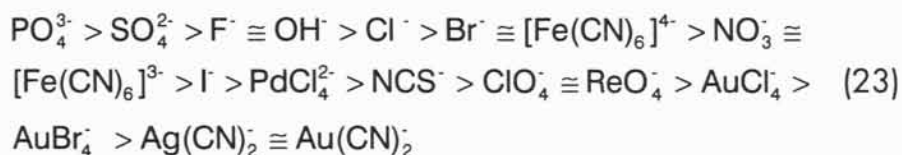
#### 2.6.1.2. Agregācija ūdens šķidumos

Micellu virsmas slānis pēc uzbūves daudzējādā ziņā līdzīgs VAV monoslānim [45], tādēļ datus par micellāro šķidumu īpašībām var izmantot pretjonus ietekmes novērtēšanai. Pretjonus hidratācija veicina galējo grupu atgrūšanos. Mazāk hidratētie anjoni vieglāk adsorbējas uz

micellu virsmas. Tie pazemina MVKK vērtības, palielina vidējo agregācijas skaitli, kā arī veicina micellārā šķiduma strukturēšanos [46, 47, 48, 49, 50, 51].

#### 2.6.1.3. Adsorbcija no neūdens un ūdens fāzes ekstrakcijas sistēmās.

Alkilamonija sāļu adsorbcija no organiskās fāzes uz fāzu robežvirsmas ar ūdeni galvenokārt pētīta saistībā ar anjonu apmaiņas ekstrakcijas mehānismu [52, 53, 54, 55-61, 62]. Anjonus var sakārtot rindā pēc to ietekmes uz deviņu pētīto alkilamonija katjonus virsmas aktivitāti no dažādiem šķidinātājiem (n-oktāns, benzols, toluols, o-ksilols, metilbutilketons, n-amilspirts, nitrobenzols) uz fāzu robežvirsmas ar ūdeni:



Uz starpfāzu robežvirsmas Fe(II) sāls šķidums/hloroforms adsorbējas dzelzs un fenantrolīna atvasinājuma kompleksais savienojums  $\text{Fe}(\text{L})_3^{2+}$ .

Kompleksa koncentrācija uz starpfāzu robežvirsmas mainās rindā:



Fe(III) un tetrafenilporfirīna kompleksā savienojuma adsorbcija uz fāzurobežvirsmas ūdens/dodekāns samazinās rindā:



Dimērs veidojas, esot kontaktā Fe(TPP)Cl šķidumam dodekānā ar  $\text{HNO}_3$  vai  $\text{HClO}_4$ . [64].

Viena un tā paša alkilamonija vai kompleksa katjona gadījumā to anjonu sāji, kuri labāk ekstrahējas organiskajā fāzē (rindu 23, 24 beigas), sliktāk adsorbējas no neūdens fāzes uz fāzu robežvirsmas ūdens/eļļa. Vairāk hidratētie joni (rindu sākums) adsorbējas labāk, jo anjoni izvietoti ūdens fāzes pusē (adsorbcijas enerģijas samazinājums ir atkarīgs no anjona pārsolvatācijas enerģijas).

Starp alkilamonija sāju adsorbcijas no eļļas darbu un anjonu hidratācijas enerģiju eksistē lineāra sakariba. Secinājums un šā sprieduma eksperimentālais apstiprinājums doti [65,61].

#### 2.6.1.4. Anjonu konkurentā adsorbcija.

Ja ūdens fāzē un organiskajā fāzē atrodas dažādi anjoni, tad fāzu robežvirsmas zonā notiek jonus apmaiņas reakcija, bet šīs zonas sastāvs atšķirsies no fāzu tilpuma sastāva.

Darbā [61] aprakstīta  $\text{ClO}_4^-$  un  $\text{Cl}^-$  jonus konkurentā adsorbcija uz fāzu robežvirsmas trioktilamonija hlorīds benzolā/ $\text{NaClO}_4$ . Tā kā dažādiem viena un tā paša alkilamonija katjona sājiem piemīt dažāda virsmas aktivitāte no neūdens fāzes, tad par tās zonas sastāvu, kura piekļaujas fāzu robežvirsmai, var spriest pēc virsmas spiediena izotermām. Ja organiskā fāze satur anjonu, kurš sliktāk ekstrahējas pēc jonus apmaiņas reakcijas ( $\text{Cl}^-$ ), tad labāk ekstrahējamie anjoni ( $\text{ClO}_4^-$ ), kuri atrodas ūdens fāzē, darbojas kā pretjoni adsorbcijas monoslāni. Kad trioktilamonija hlorīda koncentrācija benzolā pārsniedz  $\text{ClO}_4^-$  koncentrāciju ūdens fāzē, monoslāni notiek  $\text{ClO}_4^-$  aizvietošanās ar  $\text{Cl}^-$ , ko pavada krasta virsmas spiediena paaugstināšanās.

Starpfāzu spraiguma mēriumi reālās ekstrakcijas sistēmās [66] parādīja, ka fāzu robežvirsmas ūdens/eļļa stāvoklis adekvāti atspoguļo procesus, kuri notiek tetrahlorpalladiāta(II) jonu ekstrakcijas un reekstrakcijas procesā ar trioktilamīna sālsskābiem šķidumiem. Trioktilamīna tetrahlopalladiāts kā vislabāk ekstrahējamais sāls uzrāda mazāku virsmas aktivitāti pie adsorbcijas no neūdens fāzes uz fāzu robežvirsmas ūdens/toluols. Sistēmām, kuru sastāvs atbilst izotermu apgabaliem ar krasu starpfāzu spraiguma izmaiņu, raksturīga mehāniska nestabilitāte. To nosaka lokālas starpfāzu spraiguma izmaiņas uz piliena virsmas.

Rakstā [67] sīki aprakstīta anjonu pārnese caur šķidro membrānu - trioktilamīna sāļu šķidumi dihloretānā, o-dihlorbenzolā. Izdalāmo jonu  $\text{PtCl}_6^-$  koncentrācijas izmaiņu pierobežas slāņos apstiprina rezultāti, kas iegūti, mērot starpfāzu spraigumu.

Konkurentās adsorbcijas pētījumi ļauj novērtēt tos abu fāzu koncentrāciju apgabalus, kuros šķidrais jonu apmaiņas elektrods būs selektīvs attiecībā pret noteiktu jonu veidu.

## 2.6.2. Katjonu apmaiņas ekstrahenti (anjonu VAV)

### 2.6.2.1. Adsorbcija no ūdens fāzes uz fāzu robežvirsmas ūdens/gaiss, ūdens/eļļa

Pie katjonu apmaiņas ekstrahentiem (anjonu VAV) pieder karbonskābes(taukskābes), alkilfosforskābes, sulfoskābes un citas vielas [68]. Taukskābju un sulfoskābju adsorbcija no ūdens fāzes uz fāzu robežvirsmām ar gaisu un organiskajiem šķīdinātājiem ir daudzu pētījumu objekts [6, 69, 11, 13, 70, 71]. Oglūdeņraža radikāla kēdes

garuma palielināšana palielina virsmas aktivitāti uz robežvirsmām ūdens/gaiss, ūdens/nepolāra eļļa [72, 73], samazina MVKK un micellu disociācijas pakāpi [73, 74], veicina kristālisku monoslāņu veidošanos [75]. Sazarotu ķēžu gadījumā palielinās koncentrācija, pie kuras tiek sasniegta maksimālā adsorbcija [78].

### 2.6.2.2.Karbonskābes

Pēc mijiedarbības ar arahīnskābes un dokozānskābes monoslāņu karboksilgrupu uz fāzu robežvirsmas ūdens/gaiss katjonus var sakārtot rindā:



Stiprākai tādu katjonu mijiedarbībai, kuriem ir mazāks radius, atbilst vairāk kondensēts monoslānis un mazāks potenciāla lēciena lielums. Sārmzemju metāli, kā arī Pb un Cd veido vairāk kondensētus monoslāņus ar stearīnskābi uz fāzu robežvirsmas ūdens/gaiss, nekā nātrijs [79].

Pakāpe, kādā stearīnskābes monoslānis saista divvērtīgu katjonu, ir atkarīga no ūdens fāzes pH. Palielinot pH, monoslāni notiek kadmija jonu nomaiņa pret svinu [18].

Mijiedarbība ar stearīnskābes un nepiesātināto petroselaidīnskābes un elaidīnskābes monoslāņiem samazinās rindā:



Palielinot pH, tika novērota Tb(III) oleāta cietās fāzes veidošanās. Citi metāli oleātus neveido [80].

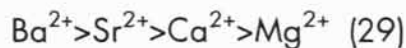
Ir iegūti stabili vienaizvietotās  $C_{60}$ -malonskābes Lengmīra monoslāni uz ūdens, kā arī uz  $Ca^{2+}$  un  $Cd^{2+}$  šķīdumiem.  $Ca^{2+}$  atšķirībā no  $Cd^{2+}$  ieslēdzas monoslāni, veidojot režgi [81].

Metilpiridiloktanoātu rindā tikai savienojumi ar visizdevīgāko orientāciju ir labāki ekstrahenti  $Cu(II)$  joniem [82].

#### 2.6.2.3. Sulfoskābes

Sulfoskābju gadījumā (dodecil- un dokozilsulfoskābes monoslāni) joni rindā(26) izkārtojas apgrieztā secībā gan VAV adsorbcijai no ūdens uz robežvirsmas ūdens/gaiss, gan VAV adsorbcijai no organiskās fāzes uz robežvirsmas ūdens/eļļa. Katjonu rinda sakrīt ar liotropo rindu [76,83,84,85,86].

Sārmu vai sārmzemju metāla saistīšanas selektivitāte nātrijs dodecilsulfāta un nātrijs di(etilheksil)sulfosukcināta (AOT) monoslāņos atbilst rindām(28) un (29) [87].



Vairāk hidratētais un pēc izmēra lielākais (hidratētā formā) jons ( $Li^+$ ) dod mazāk saspiestus monoslāņus, lielāku MVKK [88,19], mazāku vidējo micellu agregācijas skaitli [88]. Šādā secībā samazinās heksadekāna/sārmu metāla dodecilsulfāta šķiduma emulsijas pilienu izmērs [19].

Pie MVKK adsorbētā slāņa biezums bija 18 Å litija un nātrijs dodecilsulfātu un 19 Å - cēzija dodecilsulfāta gadījumā [88].

Kalcija joni mijiedarbojas ar sulfoskābēm stiprāk, nekā vienvērtīgie katjoni [86].

Sārmu metālu ekstrakcija ar sulfoskābēm palielinās, samazinoties katjona hidratācijas enerģijai atbilstoši rindai (28).

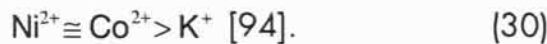
#### 2.6.2.4. Alkilfosforskābes

Karboksilgrupas un alkilfosforskābju polārās grupas uzbūvē ir daudz kopīga, tāpēc mijiedarbības likumsakarībām starp skābju anjoniem un sārmu metālukatjoniem abos gadījumos jāsaglabājas [89].

Di-2-etylheksilfosforskābe (D2EHFS) tiek lietota kā aktīvā viela šķidrajā membrānā, kā arī Co un Ni ekstrakcijas [90, 91, 92] procesos.

Ekstrakcijas konstantei ir lielākas vērtības katjoniem ar mazāku radiusu [93]. Ekstrakcijas rinda sakrīt ar katjonu mijiedarbības rindu ar karbonskābju monoslāņiem (rinda 26).

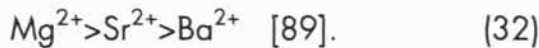
Labāk ekstrahējamie katjoni pastiprina D2EHFS adsorbciju uz fāzu robežvirsmas neorganisko sāļu ūdens šķidumi/gaiss:



Tiek atzīmēta neliela katjona dabas ietekme uz virsmas spiediena izotermas formu D2EHFS šķidumiem toluolā uz robežvirsmas ar sārmu metālu nitrātiem. Pārejot pie hloridiem, tika iegūta rinda, kura raksturo ietekmi uz D2EHFSvirsmas aktivitāti:



Sārmzemju metālu katjoni pēc to ietekmes uz D2EHFS virsmas aktivitāti izkārtojas rindā, kura sakrīt ar ekstrakcijas rindu:

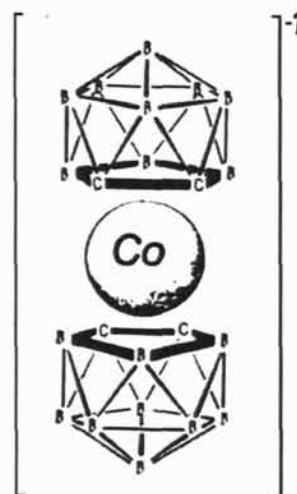


$\text{Mg}(\text{NO}_3)_2$  virsmas pārpalikumu novērtējums pie D2EHFS koncentrācijas toluolā  $3.3 \cdot 10^{-5}$  M pēc Gibbsa vienādojuma ar

reizinātāju  $1/2RT$  parādīja, ka ar magniju uz virsmas veidojas komplekss ar sastāvu 1:4 [89], bet ar kalciju - 1:1 [95]. Kompleksa sastāva novērtēšanas precizitāti ierobežo diferencēšanas precizitāte. Uz fāzu robežvirsmas benzols/ sāļu ūdens šķidumi ekstrahents var eksistēt monomera [93,96], vai tā anjona [93] formā. Sistēmās, kuras ūdens fāzē satur Cu(II) jonu, adsorbējas komplekss ar sastāvu 1:2. Fe(III) jona gadījumā veidojas pārejas komplekss ar sastāvu 1:2, kurš adsorbējas kopā ar ekstrahenta momomēriem [97].

#### 2.6.2.5. Dikarbolida sāļi

Dikarbolilkobaltāta(III) polihedrālā sendviča anjona  $\{\pi\text{-}(3\text{-}1,2\text{-B}_9\text{C}_2\text{H}_{11})_2\text{Co(III)}\}$  (šeit B<sup>+</sup>) struktūra parādīta zīm.1 [98].



Zim. 1. Dikarbolilkobaltāta (III) anjona struktūra

Tāda tipa savienojumi nesatur brīvu elektronu pāri protona saistīšanai, tāpēc atbilstošās skābes ir vienas no stiprākajām [99]. Šī īpatnība padara minēto anjonu par interesantu objektu tā adsorbcijas uz fāzu robežvirsmas ūdens/eļļa pētišanai.

#### 2.6.2.6. Agregācija šķidumos

Daudzi katjonus apmaiņas ekstrahenti ūdens šķidumos pie koncentrācijām, kuras pārsniedz MVKK, veido micellas.

Katjonus ietekme uz VAV koloīdajām īpašībām ne vienmēr ir tāda pati, kā šo vielu monoslāņos.

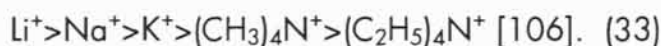
Rinda (26) nesaglabājas sārmu metālu perfluorokanoātu micellārajiem ūdens šķidumiem. MVKK samazinās rindā  $\text{Li}^+ > \text{Na}^+ > \text{K}^+$  [100].

Rinda (28) saglabājas micellām, kuras veido nātrijs dodecilsulfāts. Fluorescējošā piedeva uzrāda lielāku agregācijas skaitli un mazāk atvērtu micellāro struktūru, virzienā no  $\text{Li}^+$  uz  $\text{K}^+$ , kā arī, palielinoties organiskā pretjona izmēram [101].

Iz novērotas  $\text{Tl}^+$  saistīšanas īpatnības salīdzinājumā ar  $\text{Na}^+$  uz dodecilsulfāta micellu virsmas ūdens šķidumos [102].

Konstatēta ievērojama tetrametilamonija pretjonus iekļūšana nātrijs dokozilsulfonāta monoslāņa priekšējo grupu rajonā, veidojot Šterna slāni [103]. Ievadot kriptandu [2.2.2.] litija un kālijas dodecilsulfonātu micellājos šķidumos [104] un 18-kraunu-6 ūdeņraža decilsulfātu [105] šķidumā, ligandi ir saistīti ar pretjoniem Šterna slāni.

Perfluorheksānsulfonātiem  $\text{C}_6\text{F}_3\text{SO}_3^-$  MVKK samazinās rindā



Co, Ni, Cu, Zn ar Aerosolu OT inversajas emulsijās veido nūjinveida micellas, bet Mg, Ca, Zn sāļi - sfēriskas [107].

NaD2EHFS ūdens šķiduma virsmas spiediena izotermas lūzums izskaidrojams ar micellu veidošanos pie MVKK =  $2.5 \cdot 10^{-3}$  M [108].

#### 2.6.2.7. Divu VAV adsorbcija no ūdens šķiduma uz fāzu robežvirsmām ūdens/gaiss un ūdens/eļļa

Virsmas (starpfāzu) spraigums tika izmērīts, vienlaicīgi nosakot MVKK un micellu sastāvu nelielam ūdens šķidumu skaitam, kuri saturēja divas anjonu VAV, vai anjonu un katjonu VAV maisījumu.

Nātrijs perfluoroktanoāts un nātrijs decilsulfāts ūdenī sajaucas jebkurās attiecībās. Adsorbcijas monoslānis pamatā sastāv no nātrijs decilsulfāta, turpretim ūdens šķidumā eksistē divu veidu micellas [109]. Pie mazām litija tetradecilsulfāta un perfluoroktanoāta koncentrācijām ūdens šķidumā adsorbcijas slānis bagātināts ar litija perfluoroktanoāta molekulām, bet pie lielām - ar litija tetradecilsulfāta molekulām. Abu VAV sajaukšanāsmonoslāni nav ideāla [110].

Iz pētīts adsorbcijas slānis nātrijs oktilsulfāta un oktadecilamīna hidrohlorīda, oktadecilamīna hidrohlorīda un E-aminokapronskābes (kura uzrāda anjonu VAV īpašības) [111], kā arī nātrijs decilsulfāta un deciltrimetilamonija bromīda [112] maisījumiem. Monoslānis uz fāzu robežvirsmas šķidums/gaiss sastāv no ekvimolāra attiecīgās VAV saturoša kompleksa neatkarīgi no to koncentrācijas šķiduma tilpumā. VAV mijiedarbībai šķidumā ir nespecifiski jonogēns raksturs.

Elektroneitrālam savienojumam adsorbcija ir augstāka, nekā lādētiem katjoniem vai anjoniem [111,112].

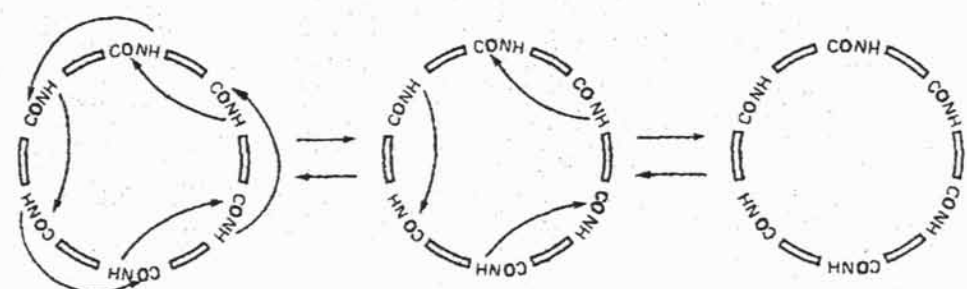
Palielinot mikroemulsijā D2EHFNa/ūdens/D2EHFS/toluols vāji disociētas skābes saturu, aug relatīvais skābes saturs uz kontaktējošo fāzu robežvirsmas ūdens/eļļa [108].

### 2.6.3. Makrocikliskie jonofori

#### 2.6.3.1. Valinomicīns

Valinomicīna izmantošana kālija pārnesei caur lipīdu membrānām izraisīja vairāku darbu parādišanos, kuri bija veltīti valinomicīna adsorbcijai un kompleksu izveidei ar kālija un citu sārmu metālu sāļiem uz fāzu robežvirsmām ūdens/gaiss un ūdens/eļļa.

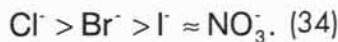
Monoslāni uz fāzu robežvirsmas ūdens/gaiss valinomicīns var eksistēt trīs konformācijās: plakanā, aproces formā un pārejas - pusatvērtā (zim.2) [113, 114].



Zim. 2. Valinomicīna iekšmolekulāro ūdeņraža saišu sistēma nepolārās vidēs (a), vidējas polaritātes vidēs (b) un ūdeni (c) [115]

Anjona daba maz ietekmē valinomicīna monoslāņu stāvokli uz nātrijsāļušķīdumu virsmas.

Kālija sāļu gadījumā monoslāņu virsmas spiediens samazinās, pieaugot anjona radiusam rindā:



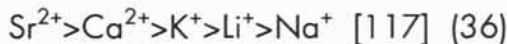
Iekļaujot kompleksā lielāka apjoma anjonu, iegūst vairāk izvērstas valinomicīna konformācijas [113].

Pēc ietekmes uz virsmas potenciāla lēciena lielumu anjonus var sakārtot sekojošā rindā:



Ievadot pamatnē kraun-ēteri, virsmas spiediena palielināšanās valinomicīna un jauktajos fosfatidilholīn-valinomicīna monoslāņos atkarīga no sāls katjona dabas.

Katjonus selektivitātes rinda ir sekojoša:



Atsevišķu lipīdu klātbūtne izsauca triju vai četru kompleksa valinomicīns-KCl slāņu veidošanos [114].

Tādējādi jautājums par valinomicīna un tā kompleksu izturēšanos uz fāzu robežvirsmas ūdens/eļļa ir sarežģīts un līdz galam nav noskaidrots [26].

### 2.6.3.2. Kraun-ēteri un to acikliskie analogi

18-Kraunam-6 piemīt neliela virsmas aktivitāte uz fāzu robežvirsmas ūdens/gaiss. Maksimālā adsorbcija tiek sasniegta pie koncentrācijas  $C_{\min} = 10^{-1} \text{ M}$ , minimālais laukums uz molekulu monoslāni  $S_{\min} = 70 \text{ \AA}^2$ . Divas cikloheksilgrupas pastiprina kraun-ētera hidrofobās īpašības, tādā veidā palielinot tā virsmas aktivitāti. Dicikloheksil-18-krauna-6

(DCH-18-K-6) A un B izomēriem piemīt aptuveni vienāda virsmas aktivitāte ( $C_{min}$ . samazinās līdz  $10^{-4}$  M,  $S_{min}$  aptuveni  $120 \text{ \AA}^2$ ). Visu robežlaukumu uz vienu molekulu lielumi mazāki par lielumiem, kuri aprēķināti, izmantojot molekulāros modeļus. Savienojumam DCH-18-K-6 autori šo faktu saista ar iespējamo dicikloheksilgrupu slīpo novietojumu attiecībā pret 18-krauna-6 poliētera gredzena plakni. 18-Krauna-6 molekulārā modeļa gadījumā vienā plaknē atrodošos skābekļa atomu skaits samazināšanās izraisa robežlaukuma uz vienu molekulu samazināšanos.

$\text{Ba}(\text{NO}_3)_2$  klātbūtne ūdens fāzē palielina savienojuma hidrofilitāti (veidojas jonus komplekss  $\text{A}^+\text{Ba}(\text{NO}_3)_2$ ). Tas nedaudz pazemina izomēra A virsmas aktivitāti, bet izraisa adsorbcijas palielināšanos ( $S_{min}=87 \text{ \AA}^2$ ). Pretjonus dabas ietekme nav pētīta [118].

Alifātisko radikālu ( $\text{C}_8\text{H}_{17}$ ,  $\text{C}_{10}\text{H}_{21}$ ,  $\text{C}_{12}\text{H}_{25}$ ) saturošu kraun-ēteru adsorbciju no ūdens uz fāzu robežvirsmas ar gaisu apraksta Tjomkina izoterma. Homologu adsorbcija pakļaujas Traubes likumam.

Alkilkraun-ēteri atšķirībā no 18-krauna-6 un DCH-18-K-6 ūdens šķidumos veido micellas. MVKK lielums ir aptuveni ar kārtu  $10^{-4}$  M [119]. Nejonogēnas VAV oktil-18-krauna-6 micellārie šķidumi veido kompleksus ar kālija sāļiem [120,121].

KCl pievienošana šā kraun-ētera micellārajam šķidumam izsauc savienojuma hidrofilitātes palielināšanos. Notiek fāzu atdališanās temperatūras palielināšanās un MVKK nobīde [121].

Oktadecilosimētil-18-krauna katjonus saistīšanos monoslānī nosaka poliētera cikla daba [122].

Pie vienas un tās pašas aizpildījuma pakāpes uz fāzu robežvirsmas šķidrs oglūdeņradis/perhlorātu un pikrātu ūdens šķidumi virsmas spiediens samazinās rindā:  $\text{Ba}^{2+} > \text{K}^+ > \text{Li}^+ > \text{H}_2\text{O}$  (37)

Mazšķistošā pikrātanjona gadījumā tika novērota kompleksa desorbcija organiskajā fāzē. Anjonu dabas ietekme atšķirībā no alkilamonija sājiem neatbilst liotropajai rindai, to nosaka kompleksā katjona un anjona mijiedarbība [123].

Kā uz fāzu robežvirsmas ūdens/gaiss, tā uz fāzu robežvirsmas ūdens/eļļa dibenzo-18-kraunam-6 (DBK) nepiemīt spilgti izteikta virsmas aktivitāte [124,125,126]. DBK acilēšana ar karbonskābēm ļāva iegūt atvasinājumus, kuri veido stabilus nešķistošus monoslāņus uz fāzu robežvirsmas ūdens/gaiss. Sārmu metālu hlorīdu parādišanās ūdens fāzē izraisa vienai diakrilooldibenzo-18-krauna-6 molekulai atbilstošā laukuma palielināšanos monoslānī. Molekulai atbilstošais laukums atkarīgs no katjona dabas un palielinās tādā pašā secibā, kā aug kraun-ētera un sārmu metāla hlorīda kompleksveidošanās konstante [124].

Ja DBK izšķidināts benzolā, bet ūdens fāzē ir neorganiskās sāls, tad uz fāzu robežvirsmas veidojas komplekss ar stehiometriju 1:1, kurā anjoni izvietoti vienā poliēteru gredzena pusē no DES ūdeni saturošās puses [126]. Uz starpfāzu robežvirsmas veidojošos DES var labi aprakstīt ar Šterna DES modeļa palīdzību [122]. Fāzu robežvirsmai ūdens/oktāns DES koncentrēts galvenokārt ūdens fāzē [26].

Kompleksu DBK'MX virsmas aktivitātes samazināšanās rindas ar nelieliem izņēmumiem sakrīt ar metālu rindām, kurās tie sakārtoti kompleksveidošanās konstanšu samazināšanās kārtībā [127].

Uz fāzu robežvirsmas ūdens/nepolāra eļļa var izdalīt apgabalu ar dielektrisko caurlaidību, kura atšķiras no sekojošiem lielumiem - 81 ūdenim un 2-3 eļļas fāzei. Fāzu robežvirsmai dielektrīķis/elektrolīta ūdens šķidums Helmholca slāņa efektīvā dielektriskā caurlaidība ir robežās no 15 līdz 30 [26]. DBK un metālu sāļu starpfāzu

kompleksveidošanās konstantes, kuras aprēķinātas pēc adsorbcijas darbiem, pēc vērtībām tuvas tām konstantēm, kuras noteiktas maisījuma ūdens-tetrahidrofurāns šķidumā [126].

Virsmas aktivitāti būtiski ietekmē metāla sāls anjona daba: kompleksa adsorbcijas darbs mainās antibatiski ar anjonu hidratācijas enerģiju. Novirzi no lineārās sakārības autori [126] saista ar makrocikliskā poliētera specifisko mijiedarbību ar dažiem anjoniem.

Adsorbcijas izotermas tiek aprakstītas ar Frumkina izotermas palīdzību ar atraktīvo konstanti no -0.8 līdz -2. Robežlaukumi uz vienu molekulu ar kālija sāļiem ir  $120 \text{ \AA}^2$ , izņemot DBK $\cdot$ KAg(CN)<sub>2</sub> ( $80 \text{ \AA}^2$  ).

Kraun-ēteru atklāšana izraisīja interesi par kraun-savienojumu aciklisko analogu īpašībām un pielietojumu. Daudzi kraun-ēteru analogi ir aktīvi starpfāzu katalizes procesos. Kraun-ēteru priekšrocība izpaužas tādējādi, ka skābekļa atomiem ir regulārs izvietojums telpā, kurš nemainās, veidojoties kompleksiem savienojumiem. Acikliskie poliēteri nav selektīvi kompleksveidotāji, bet ļauj izdalīt organiskajā šķidinātājā visu metālu rindu [128].

Attiecība uz sadūļkošanās punkta paaugstināšanos nejonogēnas VAV polietilēnglikola (Tritons X-100), nātrijsāļu anjoni sakārtojas rindā: SCN<sup>-</sup>>I<sup>-</sup>>[Fe(CN)<sub>5</sub>NO<sub>2</sub>]<sup>-</sup>>ClO<sub>4</sub><sup>-</sup>>BF<sub>4</sub><sup>-</sup> [129] (38). Tiosulfāta un sulfāta anjoni izraisa izsālišanos. [129,130].

Šīs rindas pirmo triju anjonu sakārtojums atbilst alkilamonija sāļu liotropajai rindai. Acīmredzot, anjonu - pretjonu ietekmes likumsakārībām uz kraun-ēteru, aciklisko skābekli saturošo VAV, alkilamonija sāļu un komplekso savienojumu šķidumu virsmas un micellārajām īpašībām ir diezgan vispārīgs raksturs. Tādēj

nepieciešams sīkāk izpētīt kraun-ēteru (tai skaitā DCH-18-K-6) uzvedību uz fāzu robežvirsmas ūdens/nepolāra eļļa, kā arī ekstrakcijas sistēmās.

#### 2.6.3.3. Kaleks-arēni

Uz šo brīdi sintezēti un tiek intensīvi pētīti jauni kraun-ēteri -kaleks-arēni. Daži kaleks [4] arēni tika lietoti šķidrajā membrānā kā efektīvi  $Cs^+$  pārnesēji no šķiduma, kurš satur citus sārmu metālus. Sajaucot ar  $Cs^+$  šķidumu, no emulsijas ūdens/eļļa izveidojās emulsija ūdens/eļļa/ūdens [131,132].

Kaleks [6]- un kaleks [8] arēniem piemīt augsta selektivitāte attiecībā uz  $Cs^+$  un guanidīnija  $[C(NH_2)_3]^+$  joniem monoslāņos uz fāzu robežvirsmas ūdens/gaiss [133]. Azoaizvietotie amfifilie kaleks [4] arēni veido stabilus monoslāņus uz fāzu robežvirsmas ūdens/gaiss [134].

Kaleks [4] arēnu atvasinājumi, kuru molekulās kraun-5 un kraun-6 posmi izvietoti tiltīņa veidā, kompleksveidošanās procesā uzrāda konformācijas stereokīmisku atkarību. Kaleks-arēna platforma var pieņemt trīs stāvokļus (konformācijas):konisko, 1,3-alternatīvo un daļēji konisko. Ar kompjūtermodelēšanas palīdzību tika parādīts, ka bez pretījona klātbūtnes visi konformēri selektīvi saista  $Na^+$  salīdzinājumā ar  $Cs^+$ . Modelējot brīva un ar  $Cs^+$  kompleksi saistīta kaleks-arēna uzvedību uz fāzu robežvirsmas hloroforms/ūdens, tika parādīts, ka šīs vielas paliek adsorbētas uz robežvirsmas un nedesorbējas organiskajā fāzē [135].

### **3. Eksperimentu metodika**

#### **3.1. Materiāli un reaktīvi**

##### **3.1.1. Neorganiskās vielas**

Sāļi KCl, KNO<sub>3</sub>, KSCN, K<sub>2</sub>SO<sub>4</sub>, KAg(CN)<sub>2</sub>, NaCl, NaClO<sub>4</sub>, LiNO<sub>3</sub>, Li<sub>2</sub>SO<sub>4</sub>, RbCl, CsNO<sub>3</sub>, NH<sub>4</sub>Cl, TiNO<sub>3</sub>, AgNO<sub>3</sub>, Mg(NO<sub>3</sub>)<sub>2</sub>, Mg(CH<sub>3</sub>COO)<sub>2</sub>, Ba(NO<sub>3</sub>)<sub>2</sub>, Pb(NO<sub>3</sub>)<sub>2</sub>, Pb(CH<sub>3</sub>COO)<sub>2</sub> tika divas reizes pārkristalizēti no bidestilāta.

Etilēndiamintetraetikskābes nātrijs sāls Na<sub>2</sub>H<sub>2</sub>Y·2H<sub>2</sub>O un kālija oksalāts K<sub>2</sub>C<sub>2</sub>O<sub>4</sub> tika pārkristalizēti.

Pārkristalizēšanai tika lietoti reaģenti ar tīrības pakāpi "хч" un "чда". Lai atbrīvotos no organiska rakstura piemaisījumiem, sārmu metālu sulfāti un hlorīdi pēc pārkristalizēšanas tika 20 stundas karsēti pie 600°C.

Tika lietoti HClO<sub>4</sub> un KOH ar tīrības pakāpi "хч".

##### **3.1.2. Ūdens**

Visos eksperimentos tika lietots tridestilāts. Destilāts tika pakļauts pārtvaicei ar kālija permanganātu aparātā, kurš izgatavots no "pireks" stikla. Pirmā frakcija (10% no pārtvaicējamā ūdens daudzuma) darbam netika izmantota. Destilācija tika realizēta ar ātrumu 0.5 litri stundā.

Ūdens virsmas spraigums pie 20°C - 72,5 mN/m.

### 3.1.3. Organiskie šķidinātāji

1,2-Dihloretāns tika attīrīts pēc metodikas [136]. Izejas šķidinātājs tika apstrādāts ar vairākām koncentrētās sērskābes porcijām, pēc tam mazgāts ar ūdeni un 10% sārmu, žāvēts ar  $\text{CaCl}_2$  un rektificēts.

Darbam tika izmantota frakcija ar viršanas temperatūru 83.4-83.5°C. Toluols un n-oktāns ar tīribas pakāpi "x<sub>4</sub>" tika pārdestilēti bez papildus attīrišanas.

Šķidinātāji - toluols, n-oktāns, 1,2-dihloretāns pirms lietošanas diennakti tika kratīti kopā ar tikpat lielu tridestilāta tilpumu. Ūdens fāze un fāzu robežvirsmai pieguļošais organiskā šķidinātāja slānis darbam netika izmantoti. Atdalitās fāzes pēc atkārtotas piesātināšanas tika izmantotas šķidumu pagatavošanai.

Savstarpēji piesātināto šķidrumu starpfāzu robežvirsmu spraigums bija 34.8 mN/m sistēmai ūdens/toluols; 52.0 mN/m sistēmai ūdens/n-oktāns; 28.50 mN/m sistēmai 1,2-dihloretāns/ūdens.

### 3.1.4. Valinomicīns, dicikloheksāno-18-krauns-6 un dikarbolīda sāļi.

Valinomicīns tika saņemts no Dabas vielu institūta (Maskava). Kušanas temperatūra 187°C.

Dicikloheksāno-18-krauna-6 A izomērs (*cis-sin-cis* konformācija) (DCH(A)) tika izdalīts no tehniska produkta, kurš ražots ВНИПИМ un saturēja 92% diastereomēru maisījuma. Tehnisko produktu šķidināja n-heksānā (30 g uz 100 ml šķidinātāja) un filtrēja caur papīra filtru. Noslāņojušos smagāko tumši brūno fāzi eksperimentiem neizmantoja. Filtrāts tika izlaists caur kolonnu, kura bija pildīta ar vāji skābu hromatogrāfijai domātu alumīnija oksīdu. Pēc tam šķidinātāju

atdestilēja. Produktu var izdalīt arī, atdzesējot šķidumu ar sausā ledus palīdzību. Izomēra A (balts produkts ar kušanas temperatūru 48-56°C) izdališana no maisījuma tika veikta saskaņā ar metodiku [137]. Kraunētera šķidumu tetrahlorogleklī (0.2M) ekstrahēja ar 1M  $\text{HClO}_4$  šķidumu, pēc tam atdalīja baltās nogulsnes, kuras izveidojās uz fāzu robežvirsmas. Nākošās operācijas tika veiktas saskaņā ar literatūru [138]. Iegūto kompleksu  $\text{DCH(A)} \cdot \text{HClO}_4$  izšķidināja acetonā, pēc tam sadalīja ar ūdeni (3 daļas ūdens uz 1 daļu acetona). Vienlaikus tika veikta kraunētera ekstrakcija heksānā. Tai tika izmantotas trīs šķidinātāja porcijas. Ar izsaldēšanas palīdzību iegūtā izomēra kušanas temperatūra - 61-62°C.

Dicikloheksāno-18-kraun-6 B izomērs (konformācija cis-anti-cis) ( $\text{DCH(B)}$ ) tika izdalīts analogiski no pāri palikušās frakcijas, izmantojot 2M  $\text{HClO}_4$ . Tā kušanas temperatūra 65-68°C.

Darbā tika izmantots kobalta dikarbolidā cēzija sāls ( $\text{CsB}$ ), kurš sintezēts Čehijā (Nuclear Research Institute). Skābe ( $\text{H}^+ \text{B}^-$ ) tika izdalīta, apstrādājot  $\text{CsB}$  suspensiju dihloretānā ar 5M slāpekļskābi un pēc tam ekstrahējot ar dietilēteri [139]. Sārmu metālu sāļus  $\text{LiB}$ ,  $\text{NaB}$ ,  $\text{KB}$ ,  $\text{RbB}$ , kā arī  $\text{BaB}_2$  ieguva, apstrādājot skābes šķidumu organiskajā šķidinātājā ar tādu pašu 10% atbilstošā sārma šķiduma tilpumu. (Lai iegūtu  $\text{BaB}_2$ , tika lietots piesātināts  $\text{Ba(OH)}_2$  šķidums).

$\text{CsB}$  šķidiba 1,2-dihloretānā  $1.8 \cdot 10^{-4}\text{M}$ ,  $\text{NaB}$  - ne mazāka kā  $10^{-2}\text{M}$ .  $\text{DCH(A)}$  kompleksi ar  $\text{KSCN}$ ,  $\text{KClO}_4$ ,  $\text{Pb(NO}_3)_2$  un  $\text{CsB}$  tika iegūti, izšķidinoti ekvivalentus iesvarus (0.01M) metanolā un šķidinātāju pēc tam atdestilejot.

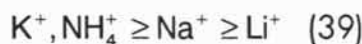
$\text{DCH(A)} \cdot \text{KSCN}$  kušanas temperatūra - 122-123°C;  $\text{DCH(A)} \cdot \text{KClO}_4$  - 127°C;  $\text{DCH(A)} \cdot \text{Pb(NO}_3)_2$  - virs 270°C ar sadališanos;  $\text{DCH(A)} \cdot \text{CsB}$  - 68-72°C.

Kompleksu DCH(A) $\cdot$ Pb(Ac) $_2$  savienojuma veidā izdalīt neizdevās. Tā šķidums 1,2-dihloretānā tika pagatavots ar šķidro fāzu ekstrakcijas palīdzību.

3.1.5. Eriohrommelnais T un benzilpenicilīna sāji  
Eksperimentos tika izmantota azokrāsviela Eriohrommelnais T C<sub>20</sub>H<sub>12</sub>O<sub>7</sub>N<sub>3</sub>SNa .

Indikators ir trīsvērtīgas skābes nātrijs sāls. Virsmas aktivitāte piemīt tikai nedisociētai formai. Mērijumi tika veikti 10<sup>-5</sup> - 8·10<sup>-4</sup> M NaH<sub>2</sub>Ind šķidumiem uz 10<sup>-2</sup> M MCl vai HCl fona. Ar disociācijas konstantes [140] palīdzību veiktie aprēķini parādīja, ka šāda fona elektrolīta koncentrācija ir pietiekama, lai visu indikatoru pārvērstu fona metāla nedisociētajā formā.

Dati par Eriohrommelnā T šķiduma koloīdajām īpašībām netika atrasti. Tomēr darbā [141] norādīts, ka pēc to iedarbības šīs un citu radniecīgu krāsvielu agregāciju jonus var sakārtot rindā:



Indikatora MVKK tuva lielumam 10<sup>-4</sup> M, bet vidējais agregācijas skaitlis, vērtējot pēc metodes [142], ir 5.3.

Benzilpenicilīna nātrijs C<sub>16</sub>H<sub>17</sub>N<sub>2</sub>O<sub>4</sub>SNa un kālijs C<sub>16</sub>H<sub>17</sub>N<sub>2</sub>O<sub>4</sub>SK sāji - farmakopejas preparāti - papildus netika attīrti. Preparāta saturs ne mazāk kā 90%, solot aktivitāti (penicilīnu summa) ne mazāku par 96% [143].

Šie sāji slikti šķīst nepolāros šķīdinātājos [143] un neekstrahējas no neutrāliem šķidumiem [144,145].

Pēc dažādiem vērtējumiem sāju ūdens šķidumu MVKK ir robežas no 10<sup>-3</sup> līdz 0.25 M [146,147].

Nātrijs un kālijs benzilpenicilīna sāļu šķidiba pie  $28^{\circ}\text{C}$  ir attiecīgi  $5.6 \cdot 10^{-2}$  un  $5.4 \cdot 10^{-2}$  M [143].

Eksperimenta apstākļos pie koncentrācijām līdz  $3 \cdot 10^{-2}$  M mēs uzskatām, ka mūsu rīcībā ir īsts šķidums.

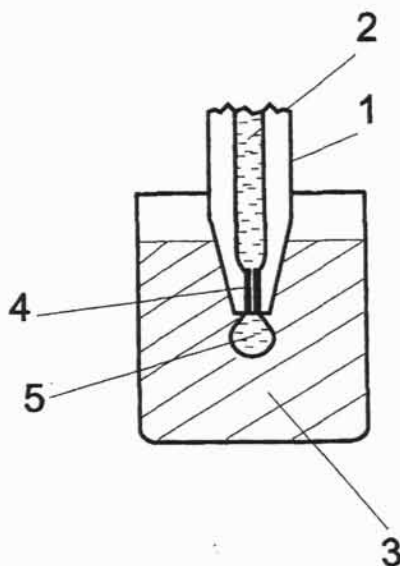
### 3.2. Eksperimenta metodika

#### 3.2.1. Starpfāzu robežvirsmas spraiguma mērišana

##### 3.2.1.a. Piliens tilpuma metode

Starpfāzu robežvirsmas spraiguma noteikšanai sistēmā eļļa/ūdens tika izvēlēta piliens tilpuma metode [148,61]. Tās princips izpaužas tādējādi, ka kapilāra izejā veidojas piliens, kura tilpums atraušanās momentā tiek izmērts.

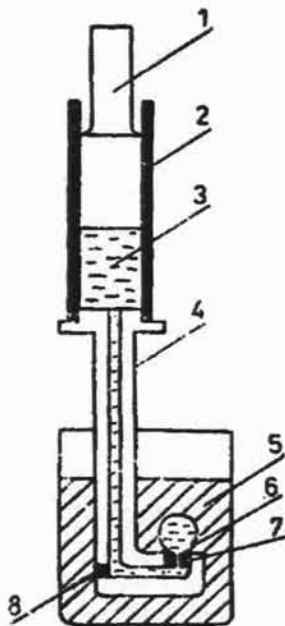
3. zīmējumā attēlotā iekārtas konstrukcija gadījumam, kad organiskā fāze vieglāka nekā ūdens fāze.



Zim. 3. Kapilāra shēma starpfāzu robežvirsmas spraiguma noteikšanai sistēmā eļļa/ūdens gadījumā, kad organiskā fāze ir vieglāka par ūdeni: 1-teflona ietvars; 2-ūdens fāze; 3-organiskā fāze; 4-stikla kapilārs; 5-ūdens piliens

Kapilārs tika iepresēts teflona uzgalī, kura apakšējais gals izveidots nošķelta konusa veidā, pie kam konusa mazākās pamatnes diametrs bija vienāds ar kapilāra diametru. Šāda konstrukcija ļauj izmantot nomaināmu kapilāru komplektu (tika lietoti kapilāri ar ārējo diametru 1.45; 2.30; 2.99 mm) un izvairīties no kapilāra ārējās virsmas saslapināšanas.

Ja organiskā fāze smagāka par ūdens fāzi (1,2-dihloretāns), tika lietots uz augšu pavērts kapilārs ar diametru 1.44; 1.93; 2.195 vai 2.375 mm (4. zīm.), kura izejā veidojās ūdens piliens [149].



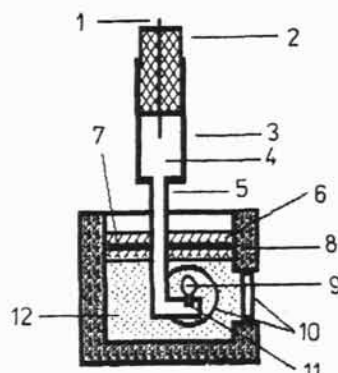
Zīm. 4. Kapilāra shēma starpfāzu robežvirsmas spraiguma noteikšanai sistēmā eļļa/ūdens gadījumā, kad organiskā fāze ir smagāka par ūdeni: 1 - virzulis; 2 - cilindrs; 3 - ūdens fāze; 4 - teflona ietvars; 5 - organiskā fāze; 6 - ūdens piliens; 7 - teflonā iepresēts stikla kapilārs; 8 – stikla aizbāznis.

Piliens tika izspiests ar teflona virzuli, kurš kustas stikla cilindrā ar mikrometra palīdzību. Mikrometrs savienots ar elektromotoru. Reduktoru sistēma ļāva regulēt izspiešanas ātrumu robežās no 0.1 līdz  $0.0001 \text{ cm}^3/\text{min}$ . Tas deva iespēju katrā konkrētā gadījumā izvēlēties tādu ūdens pilienu veidošanās ātrumu, lai nodrošinātu starpfāzu virsmas spraiguma mērišanu līdzsvarām tuvos apstākļos [150].

Starpfāzu virsmas spraiguma nemainīgums atkarībā no tālākas piliena veidošanās ātruma samazināšanas liecināja par to, ka adsorbcija uz fāzu robežvirsmas tuva līdzsvara stāvoklim.

### 3.2.1.b. "Pakārtā" piliena metode.

Adsorbcijas kinētikas pētījumi tika veikti ar "pakārtā" piliena metodi [151]. Zīm.5 parādīta shēma iekārtai, kura izmantota periodisku parādību pētīšanai kraun-ēterus saturošā membrānā.



Zīm.5. Eksperimentālās iekārtas shēma starpfāzu robežvirsmas ūdens/membrāna spraiguma mērišanai ar "pakārtā" piliena metodi: 1 – sudraba stieple; 2 - teflona virzulis; 3 - stikla cilindrs; 4 - 0.1M  $\text{Pb}(\text{NO}_3)_2$  šķidums; 5 - teflona ietvars kapilāram; 6 - 0.2M  $\text{Mg}(\text{Ac})_2$  šķidums; 7 – polarizējošs sudraba hlorīda elektrods; 8 - teflona šūniņa; 9 - 0.1M  $\text{Pb}(\text{NO}_3)_2$  šķiduma piliens; 10 - optiskie logi; 11 - stikla kapilārs; 12 - 0.001M dicikloheksāno-18-krauna-6 šķidums dihloretānā.

Spraugas lielums starp piliena virsotni un plakano robežvirsmu dihloretāns/ūdens tika piemeklēts eksperimentāli, parasti tas bija 2-3 mm. Veicot mērijumus, tika veidots piliens ar tilpumu ~40% no maksimālā un laukumu ~ 0.5 cm<sup>2</sup>. Metodes klūda nepārsniedz 5% [151]. Kapilāra diametrs - 2.45 mm.

Pētot valinomicīna adsorbcijas īpašības uz robežvirsmas ūdens/n-oktāns, kinētiskās liknes iegūšanā izdevās sasniegt precizitāti, kas tuva

pilienu tilpuma metodes precizitātei (0.5%). Tas tika panākts, mērot dzīves ilgumu noteikta tilpuma piliensam, kurš ātri izveidots kapilāra galā. Tāda metode ir ērta, pētot elektriskās strāvas ietekmi uz starpfāzu robežvirsmas spraigumu sistēmā ūdens/eļļa. Kapilāra ārējais diametrs - 2.99 mm.

Starp krītošā(atdalītā) pilienu tilpumu, kapilāra ārējo rādiusu (ar nosacījumu, ka no kapilāra pilošais šķidrums pilnībā slapina kapilāra galu) un starpfāzu virsmas spraigumu eksistē sakarība

$$\delta = \frac{\Delta\rho \cdot g \cdot V}{2\pi r} \varphi \left( \frac{r}{V^{1/3}} \right) \quad (40), \text{ kur}$$

r - kapilāra rādiuss,

g - brīvās krišanas paātrinājums,

$\Delta\rho$  - fāzu blīvumu/īpatnējo masu starpība,

$\varphi$  - Garkinsa koriģējošā funkcija. Pēc sava rakstura tā ir bezizmēra funkcija no argumenta  $\frac{r}{V^{1/3}}$ , kur V - pilienu faktiskais tilpums. Virsmas spraiguma aprēķinam tika lietota Vilkinsona funkcija [153].

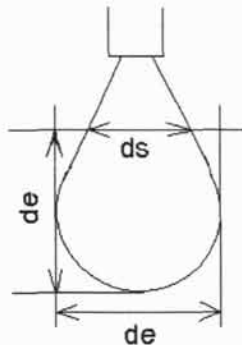
Izdarot mēriņumus ar "pakārtā" pilienu metodi, fāzu robežvirsmas

spraigums tiek aprēķināts pēc vienādojuma  $\delta = \frac{\Delta\rho \cdot g \cdot d_e^2}{H} \quad (41)$ , kā

ieteikts [154].

$$S = \frac{ds}{de}, \text{ kur } de \text{ un } ds - mērāmie lielumi (skat. zīm.).$$

$1/H$  vērtības tiek tabulētas dažādām s vērtībām.



Virsmas pārpalikuma aprēķins tiek izdarīts, izmantojot skaitliskās diferencēšanas operāciju, kura dod klūdu līdz 8% [42]. Eksperimentāli iegūto sakaribu izlīdzināšanai un diferencēšanai, datu interpolācijai un uzskatāmai attēlošanai ērti izmantot Splaina funkciju [155]. Tā iet caur katru, vai arī ne caur katru eksperimentālo punktu. Izlīdzināšanas pakāpi nosaka eksperimentatora. Splaina regresijas gadījumā realizējas nosacījums, lai uzdotajiem punktiem noviržu kvadrātu summa no aproksimējošās funkcijas būtu minimāla.

Par  $G_{\max}$  tiek pieņemta vislielākā vērtība, kura iegūta dota jā eksperimentā.

### 3.2.2. Membrānu potenciāla mērišana

Tika lietots ionselektīva elektroda korpuiss - teflona cilindrs ar iekšējo diametru 0.6 cm. Uz tā apakšējā gala ar plāna teflona gredzena palīdzību tika nostiprināta celofāna hemodialīzes plēvīte. Membrāna  $-10^{-4}$  M CsB šķidums dihloretānā, tilpums 0.1 ml - tika ielieta cilindrā, kur pēc tam tika ievietots  $10^{-3}$  M salīdzināšanas šķidums. Ar sāls tiltiņa palīdzību tas tika savienots ar Ag/AgCl salīdzināšanas elektrodu. Tika lietots voltmetrs ar  $10^{14}$  omu lielu ieejas pretestību. Selektivitātes koeficienti tika noteikti ar atsevišķo šķidumu metodi [156].

### 3.2.3. Radioķīmiskie mērijumi

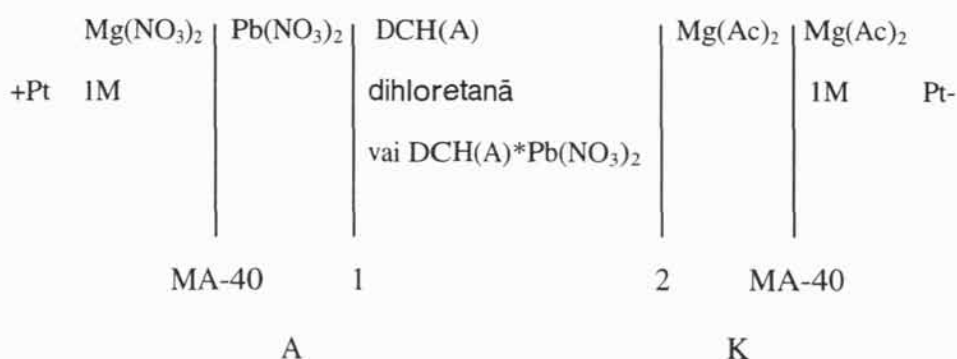
Radioķīmiskie mērijumi tika veikti, iezīmēto atomu lomā izmantojot atomreaktora neutronu kanālā aktivētus  $\text{Ba}^{2+}$ ,  $\text{Na}^+$ ,  $\text{K}^+$ ,  $\text{Rb}^+$ ,  $\text{Cs}^+$  nitrātus. Mērijumi tika izdarīti divfāzu sistēmā -  $10^{-4}$  M MB šķidums dihloretānā/0.1M  $\text{MNO}_3$  ūdens šķidums ar radioaktīvo piedevu. Organiskā fāze (30 ml) no ūdens fāzes (10 ml) tika atdalīta ar hidrocelulozes hemodialīzes plēvi. Fāzes tika intensīvi maisītas ar magnētiskajiem maisītājiem. Fāzu robežvirsmas laukums - $10 \text{ cm}^2$ .

Mēriju metodika analogiska [157]. Apmaiņas strāvas tika aprēķinātas no kinētiskajām liknēm, kurām atbilstošie iezīmētie atomi uzkrājās organiskajā šķidumā [158]. Tika mērītas radioaktīvi iezīmēto atomu sākuma plūsmas caur fāzu robežvirsmu sistēmā:  $10^{-4}$  M  $\text{CsB}$  dihloretānā/0.1 M  $\text{Na}^+$ ,  $\text{K}^+$ ,  $\text{Rb}^+$ ,  $\text{Cs}^+$  nitrāts.

Mērijumi veikti kopā ar A.B.Griščenko, kuram autors izsaka pateicību.

### 3.2.4. Voltamperometrija

Šķidro membrānu - makrociklisku jonoforu kompleksu ar vienvērtīgo metālu vai svina sāļiem - elektrodialīzi pie lineāri mainīga sprieguma izdarīja, izmantojot elektrisko ķēdi:



Caur biezām šķidrajām membrānām plūstošās strāvas lielumu pilnībā nosaka to omiskā pretestība. Sakarību starp strāvu un spriegumu uz membrānas var aprēķināt pēc Oma likuma:

$$i(t) = I^{-1} g t \sum W_i \cdot C_i(t) \quad (42)$$

kur  $i(t)$  - strāvas blīvums,  $I$  - membrānas biezums,  $g$  - sprieguma izvērses ātrums,  $W_i$  un  $C_i(t)$  - i-tā jona elektrovadītspēja un koncentrācija.

Aplūkojamajā sistēmā indekss  $i=1, 2, 3, 4$  atbilst attiecīgi joniem  $\text{NO}_3^-$ ;  $\text{Ac}^-$ ;  $\text{DCH(A)}\cdot\text{Pb}^{2+}$ ;  $\text{DCH(A)}\cdot\text{Pb}(\text{Ac})^+$  [159].

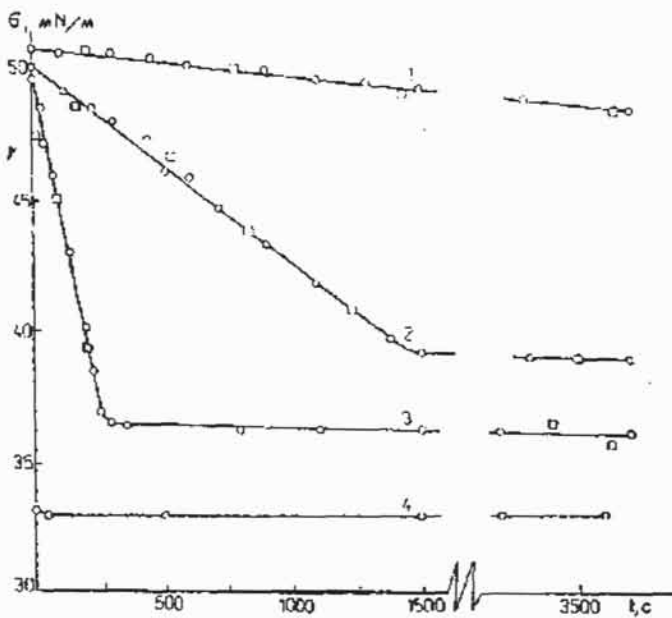
## **4. Pētījumu rezultāti un to iztirzājums**

### **4.1. Valinomicīns**

Valinomicīns un tā analogi uzrāda augstu virsmas aktivitāti uz fāzu robežvirsmām ūdens/gaiss un ūdens/eļļa [127]. Uz fāzu robežvirsmas ūdens/gaiss izveidoto valinomicīna monoslāņu pētījumi parādīja, ka kompleksveidošanās starp ionoforu un metālu sāļiem būtiski iespaido virsmas potenciāla lielumu [160]. No otras puses, mijiedarbība starp heptānā izšķidinātu valinomicīnu un nātrijs vai kālijs pikrātu ūdens šķidumiem neizsauc starpfāzu virsmas spraiguma izmaiņu salīdzinājumā ar sistēmu, kura sāļus nesatur [161]. Maksimālās adsorbcijas lielums uz fāzu robežvirsmas ūdens/heptāns ( $5.7 \cdot 10^{-10}$  mol/cm<sup>2</sup>) uzrāda vāju atbilstību valinomicīna molekulas struktūras īpatnībām [161,162]. Iemesli, kādēļ uz fāzu robežvirsmas ūdens/oktāns valinomicīna klātbūtnē parādās anomāli augsti potenciāli (mērijumi veikti ar vibrējošā kondensatora metodi), līdz pat šim laikam nav skaidri [162].

Valinomicīna adsorbcijas kinētika sīki nav pētīta. Šim jautājumam arī veltīts sekojošais darbs.

Starpfāzu spraiguma līdzsvara vērtības sasniegšanas laiku nosaka valinomicīna koncentrācija n-oktānā (zīm.6).

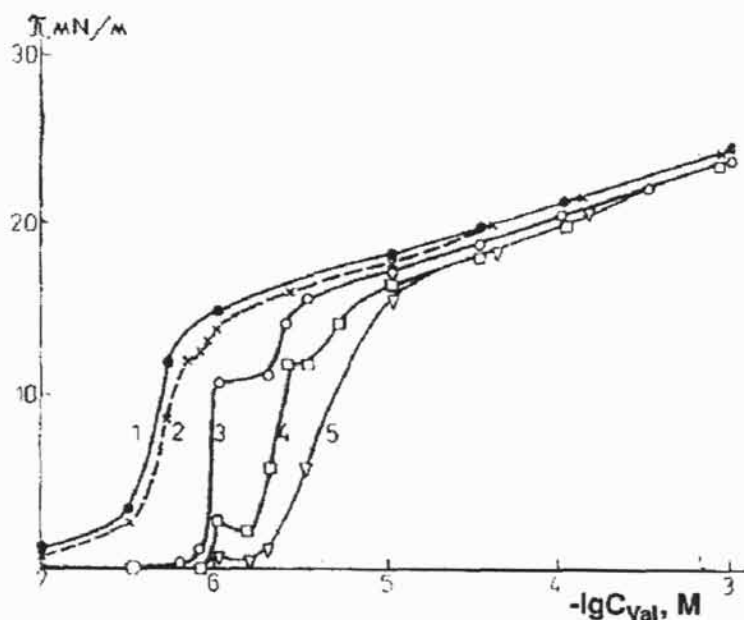


Zīm.6. Starpfāzu spraiguma atkarība no laika. Valinomicīna koncentrācija n-oktānā ( $M$ ): 1 -  $3.3 \cdot 10^{-7}$ ; 2 -  $5 \cdot 10^{-7}$ ; 3 -  $10^{-6}$ ; 4 -  $10^{-5}$ . Ūdens fāze -ūdens; 0.1 M NaCl; 0.1 M KCl. ° - mērijumi veikti pēc "pakārtā" piliena"dzīves ilguma"; - mērijumi veikti ar "pakārtā" piliena metodi.

Aizstājot ūdeni ar KSCN šķidumiem (līdz pat 4 M), NaSCN, NaCl, KCl arī praktiski neatstāj iespaidu uz starpfāzu līdzsvara iestāšanās kinētiku.

Starpfāzu spiediena izoterma, kura iegūta ar piliena tilpuma metodi (ūdens fāzes izspiešanas ātrums  $10^{-5} \text{ cm}^3/\text{s}$ ), tuva līdzsvara izotermai, kura iegūta pēc datiem zīm.6. Pie lieliem piliena veidošanās ātrumiem

izotermu novirze no līdzsvara izotermas klūst būtiska. Ja valinomicīna koncentrācija pārsniedz  $4 \cdot 10^{-4}$  M, starp fāzu spraiguma līdzsvara vērtība tiek sasniegta laikā, kurš mazāks par 40 sekundēm. Šajā gadījumā piliena veidošanās ātrums neatstāj iespaidu uz izotermas gaitu, un rezultāti, kuri iegūti ar dažādām metodēm, savstarpēji sakrīt (zīm.7).



Zīm.7. Virsmas spiediena izotermas valinomicīna šķidumiem n-oktānā uz fāzu robežvirsmas ar ūdeni; 0.1, 1, 4 M KSCN; 1 M NaSCN: 1 - pēc zīm.6 datiem; liknes 2-5 - mērijumi veikti ar piliena tilpuma metodi. Ūdens fāzes veidošanās ātrums (ml/s):  $2 \cdot 10^{-5}$ ;  $3 \cdot 10^{-4}$ ;  $4 \cdot 4 \cdot 10^{-4}$ ;  $5 \cdot 10^{-3}$ .

Valinomicīna adsorbcijas no n-oktāna uz fāzu robežvirsmas ar ūdeni darbs, kurš noteikts pēc izotermas sākuma apgabala (zīm.6), ir 39.5 kJ/mol. Šāda adsorbcijas darba vērtība jauj pieskaitīt valinomicīnu

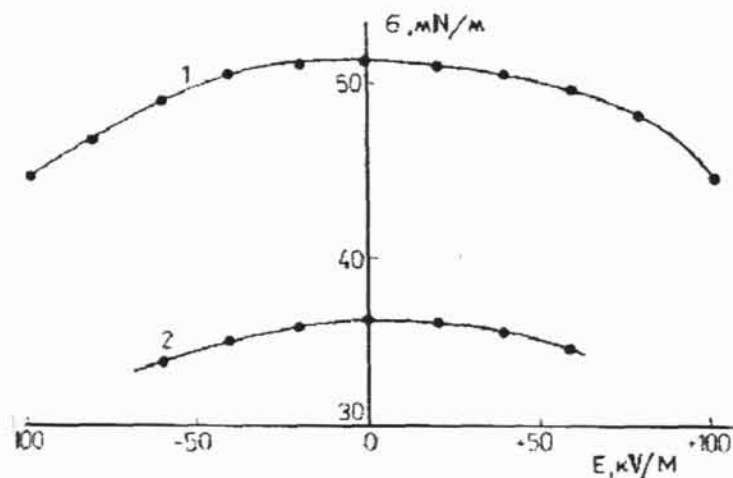
vielām ar augstu virsmas aktivitāti. Vairumam no tām adsorbcijas ātrumu kontrolē difūzijas process [163].

Brīva jonofora un kompleksa virsmas spiediena izotermu tuvā līdzība nozīmē to, ka adsorbēto jonu elektrostatiskā atgrūšanās ir niecīga. Acīmredzot, monoslāņa katjoni un anjoni veido ciešus jonu pārus (iespējama pat kompleksu veidošanā, ar lādiņa pārnesi [84]), kuri izveitojas dubultā elektriskā slāņa neūdens daļā. Tāds stāvoklis var īstenoties tikai sistēmās ar pietiekoši lielu ekstrakcijas konstanti.

Starpfāzu spiediena izotermas pārliekums saistīts ar molekulu agregāciju oktāna fāzes tilpumā.

Maksimālais monoslāņa aizpildījums -  $(7.8 \pm 0.5) \cdot 10^{10}$  mol/cm<sup>2</sup> (22 Å<sup>2</sup>) – tiek sasniegts pie valinomicīna koncentrācijas  $3.3 \cdot 10^{-7}$  mol/l (zīm.7, likne 1). Ja valinomicīna molekulas simetrijas ass novietota perpendikulāri fāzu robežvirsmai (makrocikliska jonofora horizontāla orientācija), tad robežlaukums uz vienu molekulu, kurš iegūts, aplūkojot modeļus, ir 320-400 Å<sup>2</sup> [160,164]. Nepolārā vidē valinomicīna molekula atgādina aploci ar diametru ap 8 Å un augstumu ~4 Å [127, 129. lpp.]. Līdz ar to robežlaukums monoslānī ir 50-60 Å<sup>2</sup>. Atšķirība starp maksimālās adsorbcijas eksperimentālo un pēc modeļiem iegūto vērtību var būt saistīta vai nu ar valinomicīna molekulu deformāciju, vai arī ar to reorientāciju monoslānī. Kā alternatīva iespējama kompleksā savienojuma polislāņu veidošanās.

Fosfolipīdu trīsdimensionālu struktūru veidošanos pavada starpfāzu robežvirsmas jutības paaugstināšanās attiecībā pret ārēju elektrisko lauku [165]. Tomēr valinomicīna gadījumā šādas parādības netika konstatētas (zīm.8).



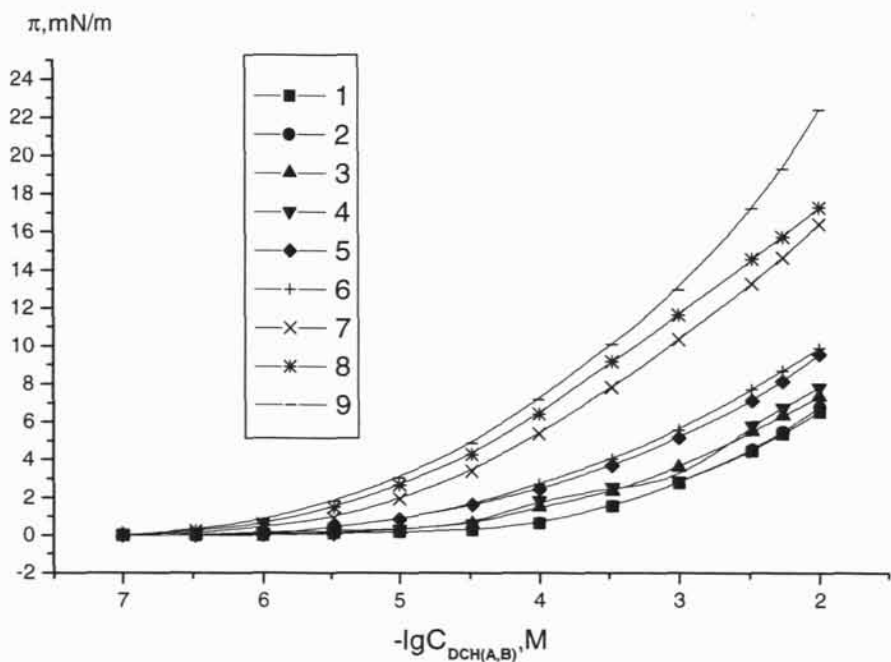
Zīm.8. Starpfāzu spraiguma atkarība no elektriskā lauka sprieguma neūdens fāzē: 1 - fāzu robežvirasma ūdens/n-oktāns; 2 -  $10^{-2}$  M KCl ūdens šķidums/  $4 \cdot 10^{-4}$  M valinomicīna šķidums n-oktānā. Uzrādīta elektroda zīme ūdens fāzē.

Valinomicīna adsorbcijas īpatnības uz fāzu robežvirsmas ūdens/oktāns neizraisa anomālus voltas potenciāla lēcienus [162]. To daba, acīmredzot, saistīta ar tilpuma lādiņu eksistenci neūdens fāzē.

## 4.2. Kraun-ēteris

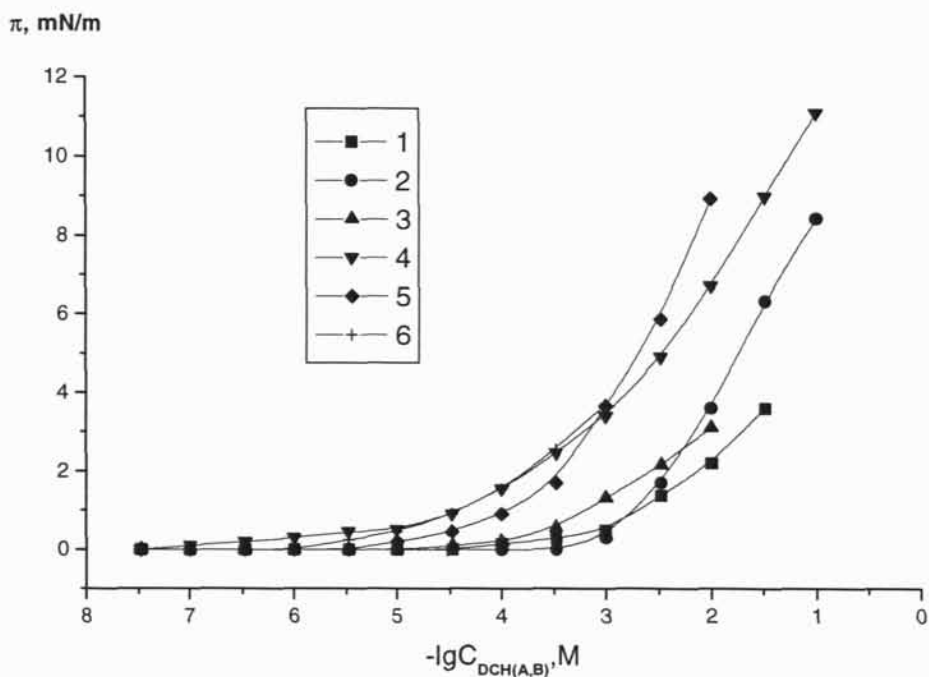
### 4.2.1. Kraun-ētera mijiedarbība ar neorganiskiem sāļiem

Uz fāzu robežvirsmas sāļu ūdens šķidumi/ DCH-18-K-6 toluolā vai 1,2-dihloretānā veidojas komplekss MX'krauns, kuram piemīt lielāka virsmas aktivitāte nekā kraun-ēterim (zīm. 9, 10).



Zīm.9. Paaugstināta spiediena izotermas DCH-18-K-6(A) šķidumiem toluolā uz fāzu robežvirsmas ar ūdens šķidumiem:

- 1 - H<sub>2</sub>O
- 2 - 0.05 M Li<sub>2</sub>SO<sub>4</sub>
- 3 - 0.1 M NaCl; 0.23 M Na<sub>2</sub>EDTE (Na<sub>2</sub>H<sub>2</sub>Y)
- 4 - 0.1 M HClO<sub>4</sub>
- 5 - 0.1 M KOH
- 6 - 0.1 M KCl
- 7 - 0.1 M KClO<sub>4</sub>
- 8 - 0.1 M KSCN
- 9 - 0.1 M KAg(CN)<sub>2</sub>



Zīm.10. Paaugstināta spiediena izotermas DCH-18-K-6(A,B) šķidumiem 1,2-dihloretānā uz fāzu robežvirsmas ar ūdens šķidumiem:

1 -  $\text{H}_2\text{O}$

2 - 0.1 M  $\text{KClO}_4$

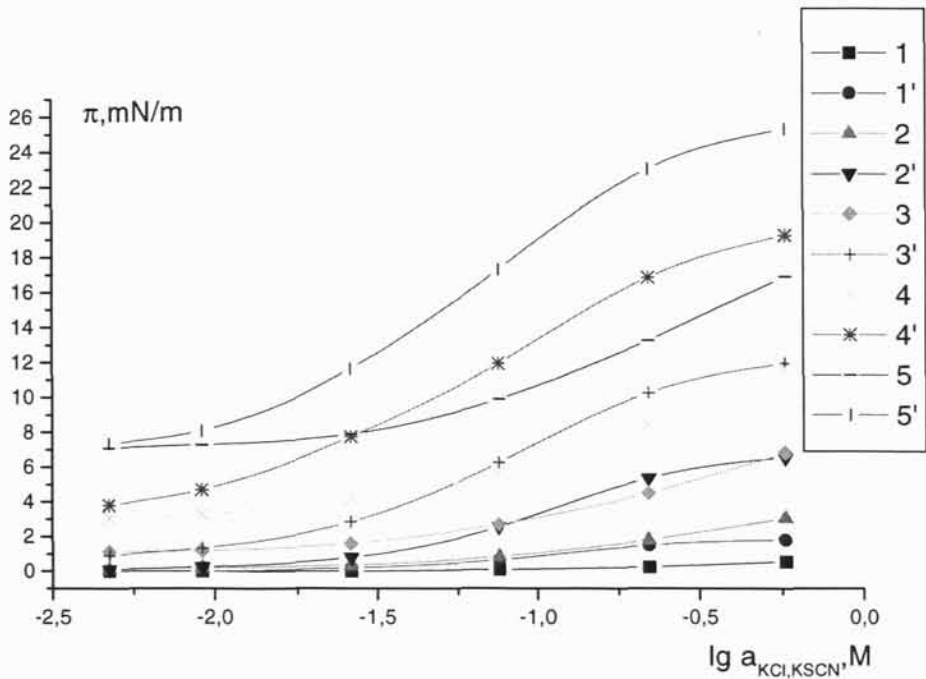
3 - 0.1 M  $\text{RbCl}$  (B)

4 - 0.1 M  $\text{KCl}$

5 - 0.1 M  $\text{RbCl}$  (A)

6 - 0.1 M  $\text{K}_2\text{C}_2\text{O}_4$  (K oksalāts)

Virsmas spiediens ir atkarīgs no sāls koncentrācijas ūdens fāzē (zīm.11).



Zīm. 11. Paaugstināta spiediena izotermas KCl, KSCN (pārtrauktā līnija) ūdens šķidumiem uz fāzu robežvirsmas ar DCH šķidumiem toluolā koncentrācijās (M):

$1,1' \cdot 10^{-6}; 2,2' \cdot 10^{-5}; 3,3' \cdot 10^{-4}; 4,4' \cdot 10^{-3}; 5,5' \cdot 10^{-2}$ .

Pie lielām kraun-ētera koncentrācijām toluolā un KSCN vai  $\text{KAg}(\text{CN})_2$  koncentrācijām ūdenī izotermās parādās slīpuma izmaiņa, kura saistīta ar nešķistoša monoslāņa veidošanos pirms  $\text{KAg}(\text{CN})_2$  garoziņas rašanās uz piliena. Visi aprēķini izdarīti izmantojot izotermu monotonos apgabalus. Pēc Gibsa vienādojuma (6) tika noteiktas kompleksa virsmas koncentrācijas, diferencējot pēc kraun-ētera koncentrācijas organiskajā fāzē un pēc sāls aktivitātes ūdens fāzē ar koeficientu 2. Virsmas koncentrācijas, kuras aprēķinātas vienos un tajos pašos apstākļos sakrīt ar tādu pašu precizitāti, kā skaitliskajai diferencēšanai.

Tas nozīmē, ka komplekss, kurš izveidojies uz fāzu robežvirsmas, ir ar stehiometriju 1:1.

Mērāmo adsorbcijas darbu var apskatīt kā kompleksa veidošanās brīvās enerģijas un DCH adsorbcijas uz fāzu robežvirsmas ūdens/toluols darba (20.7 kJ/mol)summu, ja neņem vērā izveidojušos kompleksu šķidību fāzu tilpumos. Kompleksveidošanās starpfāzu konstantes (tab. 1) tuvas to vērtībām ūdenī [128].

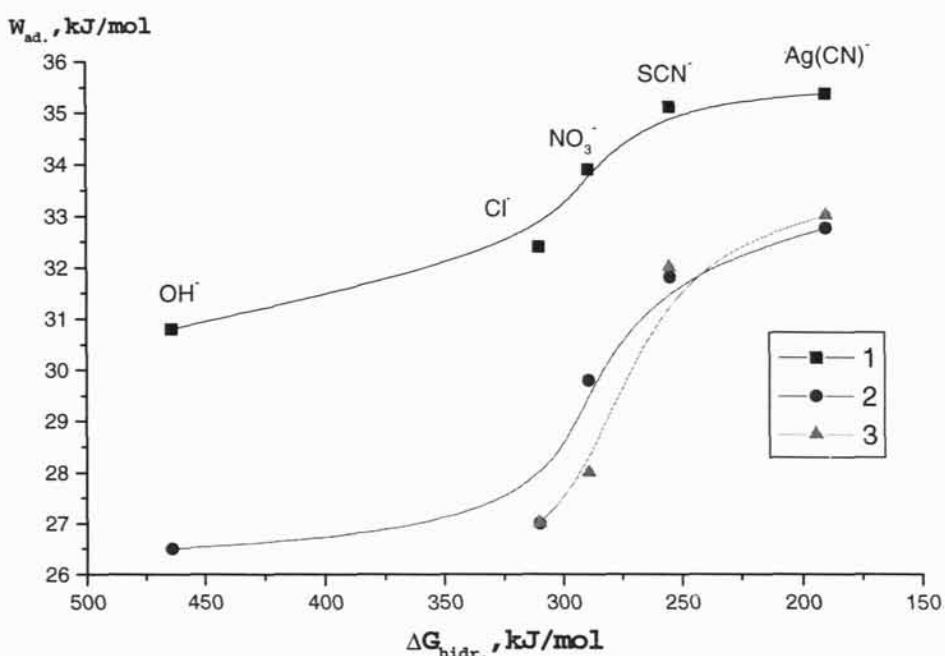
DCH ir jonofors, kurš specifisks attiecībā uz  $K^+$  un  $Rb^+$  joniem [128].

Izomēra A kompleksi ar šiem metāliem uzrāda vislielāko virsmas aktivitāti, šķidinot kraun-ēteri kā toluolā, tā DHE. Sārmu metālu kompleksus ar izomēru A pēc virsmas aktivitātes (kā pēc  $G_{max}$ , tā pēc  $W_{ad.}$ ) var sakārtot rindās, kuras vairumā gadījumu atbilst kompleksveidošanās konstanšu samazināšanās rindām (tab. 1).

Tāda pati likumsakarība novērojama, pārejot no izomēra A pie izomēra B uz fāzu robežvirsmas  $RbCl$  šķidums/DHE (tabl. 1.). Starpība starp adsorbcijas darbiem (4.0 kJ/mol) tuva lielumam  $2.3RT(\lg K_A - \lg K_B) = 3.64$  kJ/mol [128, lpp. 134].

Būtisku iespaidu uz virsmas aktivitāti atstāj sāls anjona daba. Kālija sāļiem anjonu rindas aktivitātes paaugstināšanās kārtībā sakrīt ar liotropo rindu (22) fāzu robežvirsmai ūdens toluols un ekstrakcijas rindu (23) fāzu robežvirsmai ūdens/DHE (zīm. 9, 10).

Adsorbcijas darbs, tāpat kā gadījumā, kad DBK šķidināts benzolā [126], mainās antibāti anjona hidratācijas enerģijai fāzu robežvirsmai ūdens/toluols (zīm. 12).



Zīm.12. Kompleksa  $DCH(A) \cdot KX$  adsorbcijas darba atkarība no anjona hidratācijas enerģijas [166, 123]

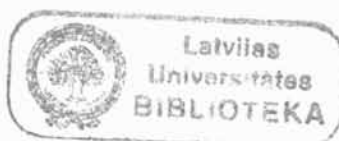
1 - 1 M KX

2 - 0.1 M KX

3 - 0.1 M KX; DBK-18-K-6 benzolā pēc [126].

Kompleksā savienojuma  $W_{\text{ad.}}$  atkarība no anjona dabas diviem kraun-ēteriem 0.1 Msāļu gadījumā ir vienāda. Salīdzinot aprēķinātos adsorbcijas darbus ar tiem, kuri doti [126] 1M sāļiem, redzams, ka  $W_{\text{ad.}}$  DCH mazāk iespāido anjona daba, jo kraun-ētera sālim piemīt lielāka virsmas aktivitāte, adsorbējoties no ūdens (tam ir izteiktāka hidrofilitāte).

Novirzi no linearitātes var izskaidrot ar specifisko mijiedarbību kompleksā starp poliēteri un anjoniem.



DCH(A) virsmas aktivitāte uz fāzu robežvirsmas ūdens/DHE ir zemāka, nekā uz fāzu robežvirsmas ūdens/toluols (tab.1). Atgrūšanās mijiedarbības samazināšanās, pārejot pie dihloretāna, ir pretēja atraktīvās konstantes izmaiņai pie tetraalkilamonija sāļu adsorbcijas, ja tiek palielināta šķidinātāja dielektriskā caurlaidība (pāreja no benzola (oktāna) pie nitrobenzola) [26].

Ja kraun-ēteris izšķidināts toluolā, Frumkina vienādojuma (12) atraktīvā konstante  $\alpha_F$  1M šķidumiem ir intervālā no -1.5 līdz -3.4, kas norāda uz jonu pāru stipru atgrūšanos monoslānī. 1M KAg(CN)<sub>2</sub> gadījumā  $\alpha_F$  sasniedz vērtību -4.5, neskatoties uz daļiju salipšanu monoslānī. Smin mazāks par lielumu, kurš izriet no molekulārā modeļa (sk. lit. apskata 2.6.3.2 nodalju).

Par stipru atgrūšanās mijiedarbību uz robežvirsmas ar toluolu liecina būtiska "atgrūšanas" laukuma uz vienu molekulu pārsniegšana virs "nosēšanās" laukuma robežvērtības.

Sistēmai DCH(A, B) dihloretānā/sāji MX  $\alpha_F$  tāpat atrodas robežās no -0.5 līdz -5.6 (slikti ekstrahējams sāls KCl).

Atgrūšanās mijiedarbības parādišanās starp adsorbētajiem kompleksiem, acīmredzot, saistīta ar kohēzijas mijiedarbības niecīgumu starp kraun-ētera molekulu cikloheksilfragmentiem DES ūdens daļā.

Atšķaidītiem sāļu šķidumiem  $\alpha_F$  vērtības tuvas to vērtībām uz robežvirsmas DCH(A)toluolā (dihloretānā)/ūdens.

Tabula 1

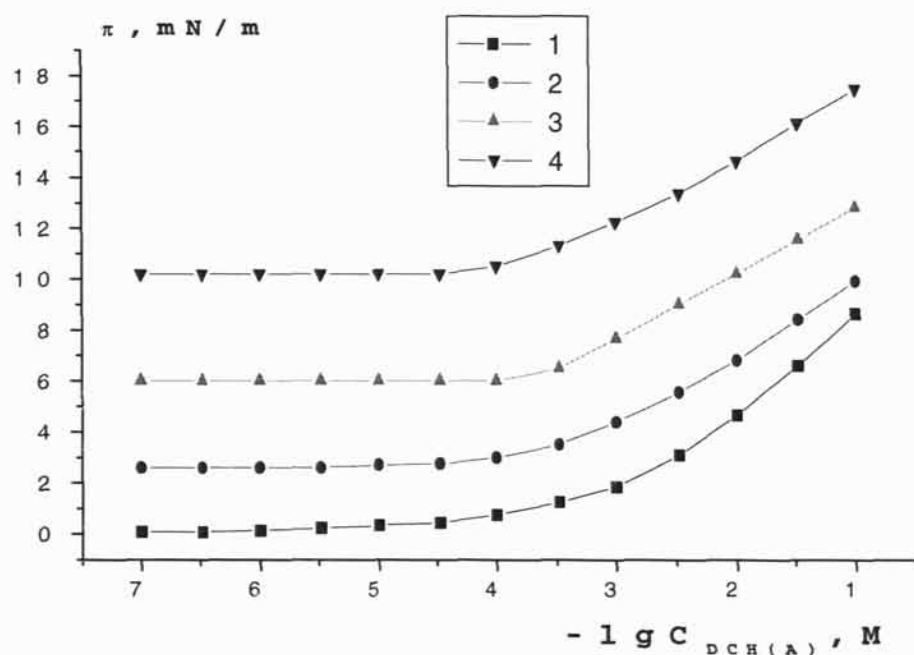
## Adsorbcija uz robežvirsmas ūdens/toluols, ūdens/dihloretāns

N	Sistēma	Wad., KJ/mol	$G_{\max} * 10^{-10}$ , mol/cm <sup>2</sup>	$S_{\min}$ , Å <sup>2</sup> /m-lu	$a_F$ pēc vien.(12)	Lg $B_F$ pēc vien.(12)	$\bar{A} * 10^{-10}$ , mol/cm <sup>2</sup> Pēc vien.(15)	-lg $B_V$ pēc vien.(15)	Satgr., Å <sup>2</sup> /m-lu	lg $K_s$ l/mol
1	A toluolā/ūdens	20.70	0.91	183	-1.36	6.77	2.32	3.25	385	
2	A DHE/ ūdens	16.60	0.89	185	-1.11	6.30	0.82	4.30	137	
3	A toluolā /1M KAg(CN) <sub>2</sub>	35.40	1.76	95	-4.10	9.51	2.88	0.12	479	2.61
4	A toluolā /1M KSCN	35.10	1.17	142	-1.50	9.69	2.67	0.18	444	2.56
5	A toluolā /1M KCl	32.40	0.99	168	-3.10	9.61	4.03	0.38	669	2.09
6	A toluolā /1M KOH	30.80	0.88	190	-3.41	9.29	5.16	0.61	856	1.80
7	A toluolā /1M HClO <sub>4</sub>	32.40	1.17	141	-3.00	9.34	3.18	0.62	528	2.09
8	A toluolā /0.1M KAg(CN) <sub>2</sub>	32.80	1.86	89	-4.48	8.79	2.38	1.16		2.15
9	A toluolā /0.1M KClO <sub>4</sub>	32.40	1.75	136	-2.88	8.69	3.43	0.98		1.75
10	A toluolā /0.1M KSCN	30.82	0.92	180	-1.23	8.88	2.84	0.90		1.98
11	A toluolā /0.1M KCl	26.91	0.91	183	-2.72	8.05	4.03	1.92		1.11
12	A toluolā /0.1M KOH	26.56	0.94	177	-2.70	7.82	3.60	2.21		1.04
13	A toluolā /0.1M NaCl	23.16	0.86	194	-2.16	7.33	3.20	2.75		0.44
14	A toluolā /0.23M Na <sub>2</sub> EDTA	23.73	0.84	209	-1.77	7.71	4.14	2.02		0.54
15	A toluolā /0.05M Li <sub>2</sub> SO <sub>4</sub>	20.92	0.97	171	-1.37	6.69	2.05	3.32		0.04
16	A DHE/1M KCl	27.15	1.57	106	-5.62	8.32				2.15
17	A DHE/0.5M K <sub>2</sub> SO <sub>4</sub>	25.41	0.81	206	-2.09	7.73				1.84
18	A DHE/0.1M KCl	25.31	0.81	206	-1.97	7.23				1.82
19	A DHE/0.1M KClO <sub>4</sub>	15.22	0.89	189	-1.01	5.32				
20	A DHE/0.1M RbCl	21.91	1.30	128	-0.46	6.21				0.95
21	A DHE/0.1M RbCl	17.86	0.47	357	-1.04	9.60				
22	A DHE/0.1M K <sub>2</sub> C <sub>2</sub> O <sub>4</sub>	26.04	0.46	365	-1.69	8.02				

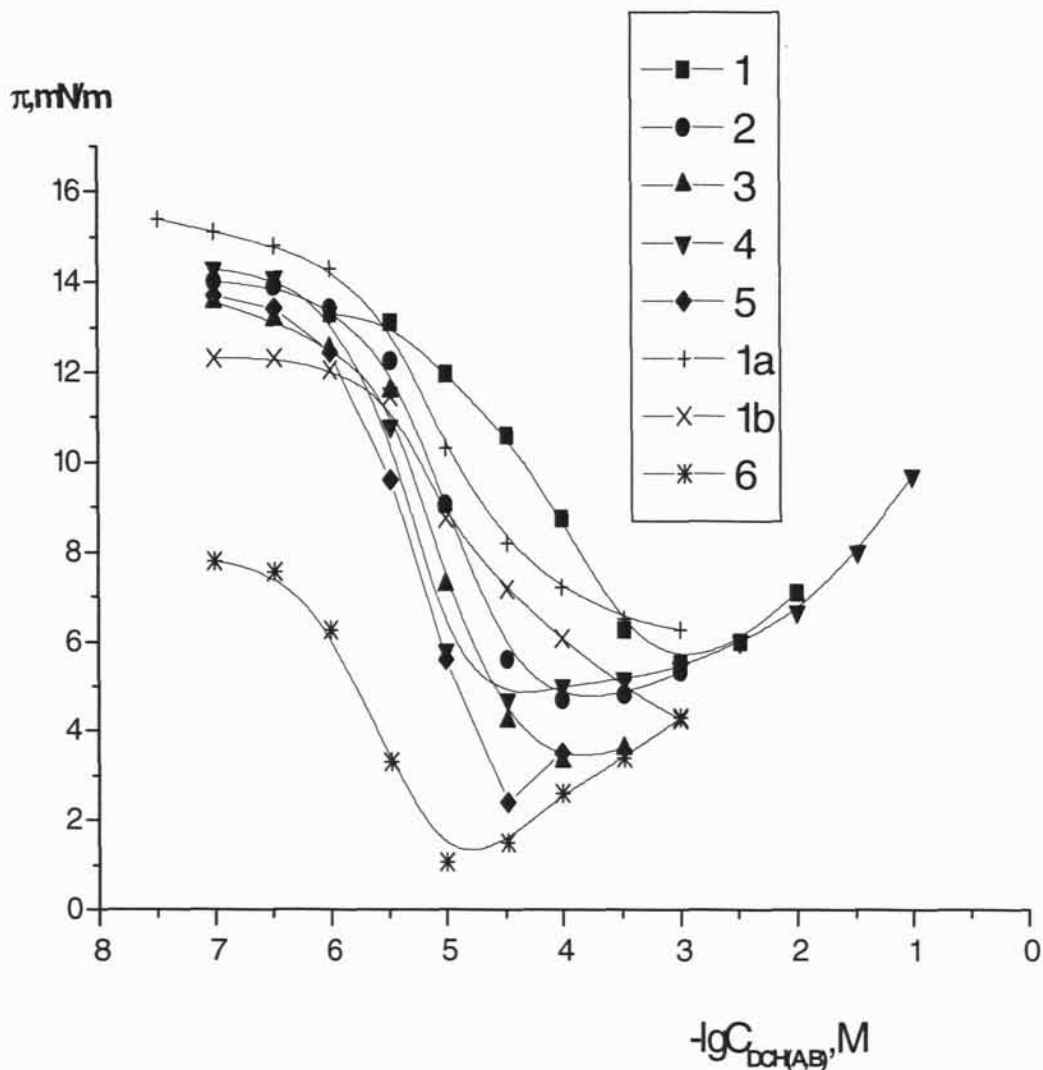
\* Koncentrācija mol/cm<sup>3</sup>

#### 4.2.2. Kraun-ētera mijiedarbība ar sārmu metālu sāļiem, kuriem ir citi anjoni

Kraun-ētera mijiedarbība ar dažiem organiskus anjonus saturošiem sāļiem principā neatšķiras no mijiedarbības ar sāļiem, kuri satur neorganiskus anjonus, kā uz robežvirsmas starp sāli un toluolu, tā arī uz robežvirsmas starp sāli un DHE (izoterna 3, zīm.9; 6, zīm. 10). Ja ūdens fāzē izšķidināta viela, kurai pašai piemīt virsmas aktivitāte, tad VAV adsorbcijas slāņa mijiedarbība ar kraun-ēteri eļļas fāzē izraisa virsmas spiediena palielināšanos vai samazināšanos uz starpfāzu robežvirsmas atkarībā no izveidotā kompleksā savienojuma virsmas aktivitātes (zīm 13, 14).



Zīm. 13. Paaugstināta spiediena izoterma DCH(A) šķidumiem dihloretānā uz fāzu robežvirsmas ar KBP sāļu ūdens šķidumiem koncentrācijās:  
 1 -  $5 \cdot 10^{-5} \text{ M}$   
 2 -  $2 \cdot 10^{-3} \text{ M}$   
 3 -  $10^{-2} \text{ M}$   
 4 -  $3 \cdot 10^{-2} \text{ M}$

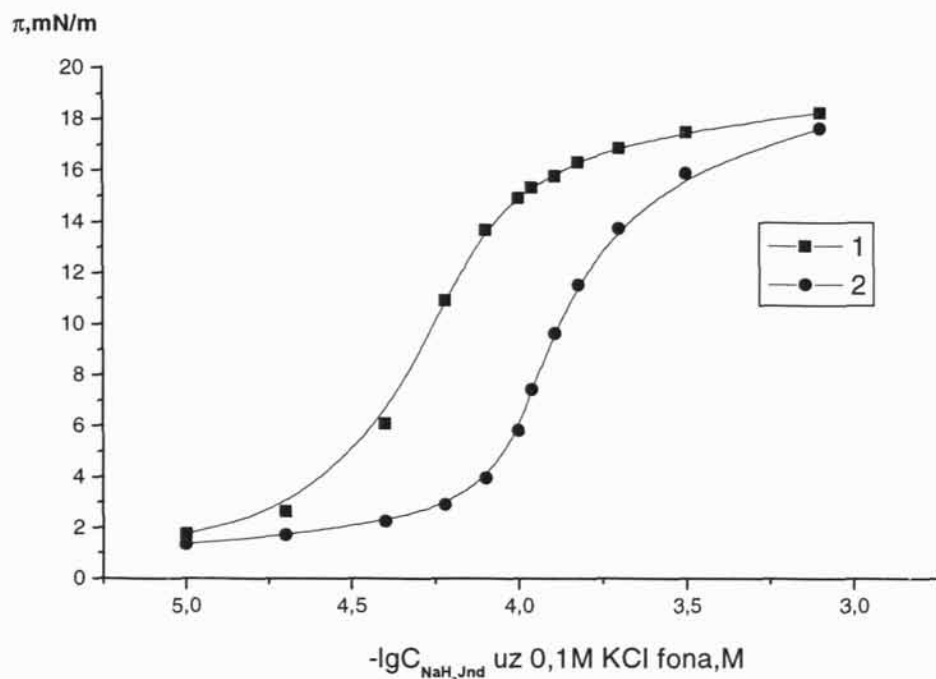


Zīm. 14. Paaugstināta spiediena izotermas DCH(A,B) šķidumiem dihloretānā uz fāzu robežvirsmas ar  $10^{-4}$  M  $\text{NaH}_2\text{Ind}$  ūdens šķidumiem, ja fonā ir 0.1 M:

- 1 -  $\text{LiNO}_3$
- 2 -  $\text{HCl}$
- 3 -  $\text{RbCl}$  (B dihloretānā)
- 4 -  $\text{KCl}$
- 5 -  $\text{RbCl}$  (A dihloretānā)
- 1a -  $\text{Pb}(\text{Ac})_2, 2 \cdot 10^{-5}$  M
- 1b -  $\text{Pb}(\text{NO}_3)_2, 2 \cdot 10^{-5}$  M
- 6 -  $\text{TINO}_3$

Dihloretānu var uzskatīt par inertu šķidinātāju attiecībā pret benzilpenicilīna sājiem, kā arī daudzām krāsvielām [145, 167].

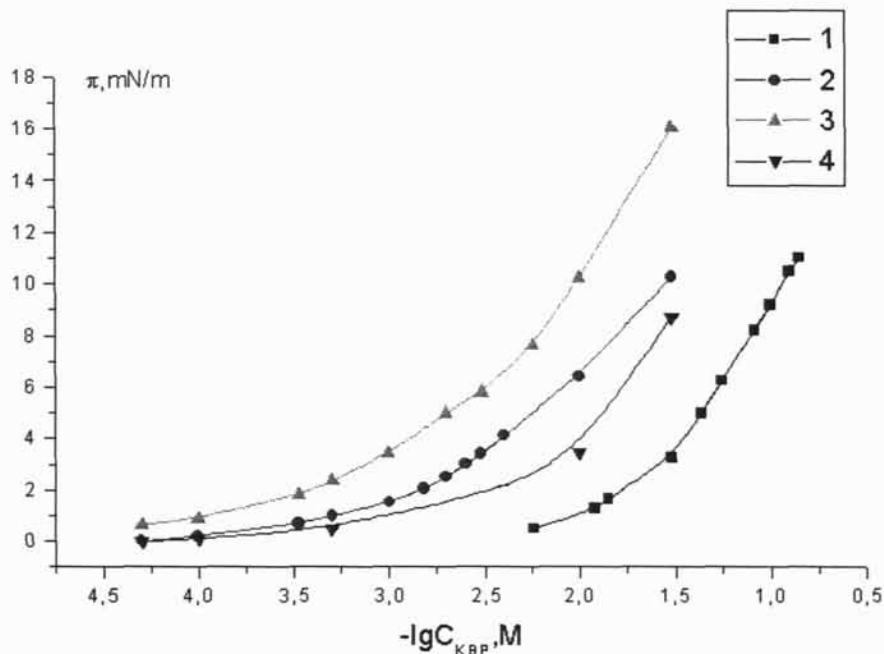
Virsmas spiediens atkarīgs no VAV koncentrācijas ūdens fāzē (zīm.15, 16)



Zīm. 15.  $\text{NaH}_2\text{Ind}$  ūdens šķidumu paaugstināta spiediena izotermas uz  $0.1 \text{ M KCl}$  fona uz fāzu robežvirsmas ar:

1 - dihloretānu

2 -  $10^{-5} \text{ M DCH-18-K-6 dihloretānā}$



Zīm. 16. KBP ūdens šķidumu paaugstināta spiediena izotermas uz fāzu robežvirsmas ar:

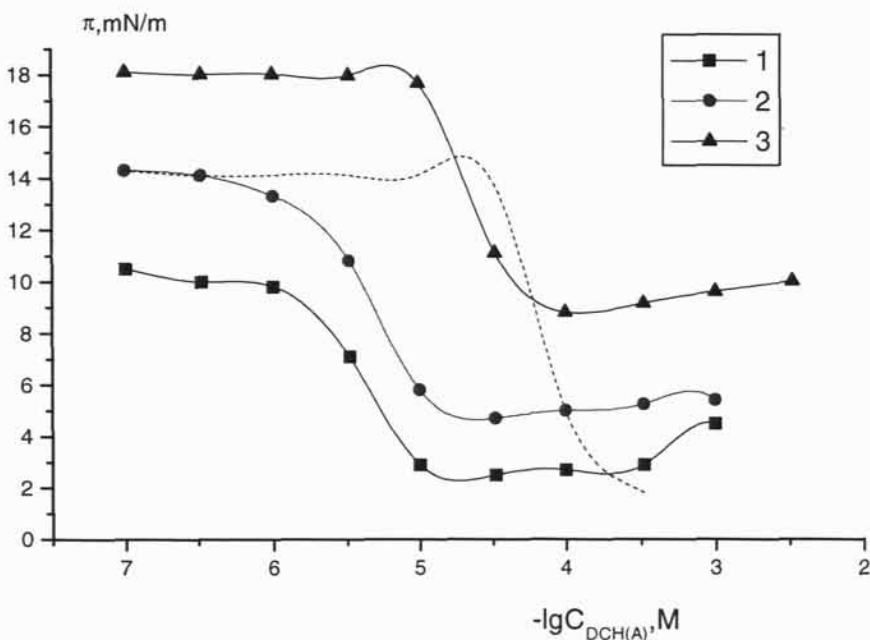
1 – gaisu [168], NaBP

2 - dihloretānu

3 - DCH(A) dihloretānā ar tādu pašu molāro koncentrāciju, kā KBP ūdenī

4 - NaBP uz fāzu robežvirsmas ar dihloretānu

Nav iespējams novērtēt kompleksa stehiometriju, kā kraun-ētera mijiedarbības gadījumā ar neorganiskiem sāļiem. Ir zināms, ka NaBP veido 1:1 sastāva kompleksu ar amberlitu-2 [169], bet vairāku krāsvielu anjoni - ar DBK-18-K-6 [167].



Zīm. 17. A šķidumu dihloretānā paaugstināta spiediena izotermas uz fāzu robežvirsmas ar dažādu koncentrāciju  $\text{NaH}_2\text{Ind}$  šķidumiem uz  $0.1\text{M KCl}$  fona:

1 -  $0.6 \cdot 10^{-4} \text{ M NaH}_2\text{Ind}$

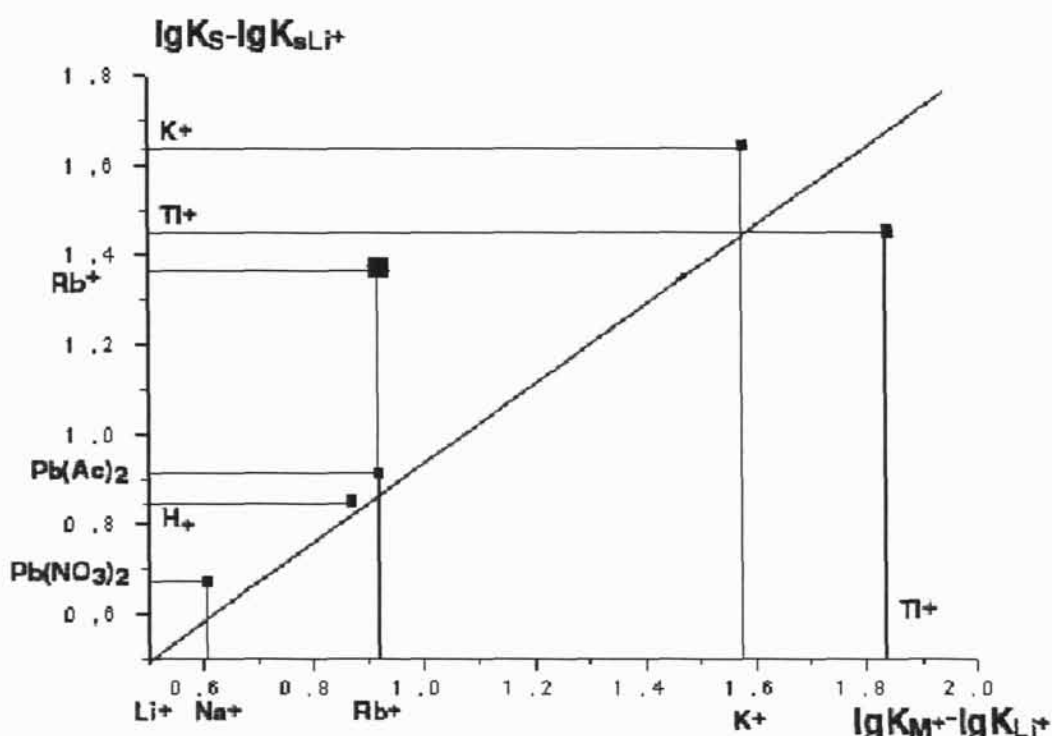
2 -  $1 \cdot 10^{-4} \text{ M NaH}_2\text{Ind}$

3 -  $8 \cdot 10^{-4} \text{ M NaH}_2\text{Ind}$

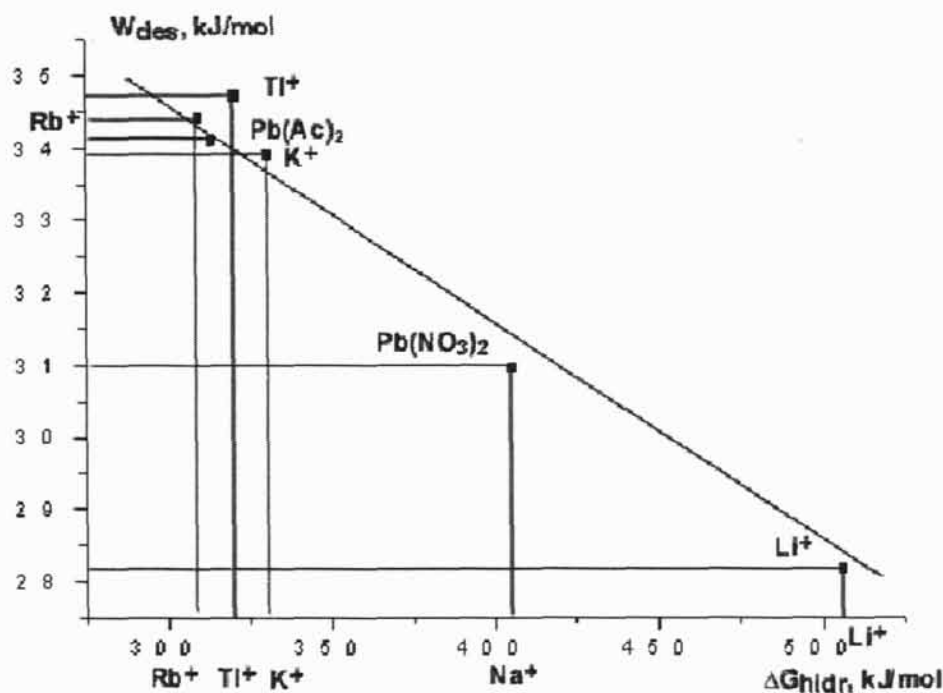
Palielinot  $\text{NaH}_2\text{Ind}$  koncentrāciju, slīpums, kurš saistīts ar kompleksa  $\text{MH}_2\text{Ind}.$ krauns desorbciju ūdens fāzē, paliek nemainīgs, tāpēc desorbcijas lielumu var viennozīmīgi saistīt ar ievadītā fona metāla jonu.  $\text{MH}_2\text{Ind}$  un  $\text{DCH(A,B)}$  mijiedarbība, kura izraisa  $\pi$  samazināšanos, notiek pie zemām kraun-ētera koncentrācijām. Tilpuma konstantes ( $K_{stab} \geq 10^6$ ) ievešana izraisa  $\pi$  samazināšanos, sākot no  $\text{DCH}$  koncentrācijas  $10^{-5} \text{ M}$  (zīm.17, pārtrauktā līnija). Kraun-ētera  $C_s$  novērtēšana ar  $W_{ads}$ , palīdzību dod par divām kārtām paaugstinātas  $C_s$  vērtības, salīdzinot ar eksperimentālajām

$G_{\max}$ (tab.2). Tādēļ Ks tika novērtēta, pazeminot  $\pi$  par 1 mN/m un pienemot, ka uz robežvirsmas izveidojas lokāls sadalījuma līdzsvars.

Starpfāzu stabilitātes konstantes (tab.2) tuvas tilpuma konstantēm, kuras aprēķinātas, izmantojot kraun-ētera, kurš desorbējas kompleksā ar kraun-ēteri, sadalījuma konstanti.  $2 \cdot 10^{-5} M$   $Pb(NO_3)_2$  var uzskatīt par fonu, kurš nobīda līdzsvaru  $10^{-4} M$   $NaH_2Ind$  šķīdumā nātrijs sāls nedisociētās formas virzienā [167,141] (zīm. 18,19).



Zīm.18. DCH(A) komplekso savienojumu ar  $MH_2Ind$  un  $LiH_2Ind$  starpfāzu stabilitātes konstanšu uz fāzu robežvirsmas ar DHE logaritmu starpības atkarība no kompleksu ar  $M^+$  un  $Li^+$  ūdenī stabilitātes konstanšu logaritmu starpības pēc literatūras datiem [128].



Zīm.19.  $\text{MH}_2\text{Ind}$  desorbcijas darba no fāzu robežvirsmas  $10^{-4}\text{M}$   $\text{NaH}_2\text{Ind} + 0.1\text{M X}$  ( $\text{X}=\text{Cl}^-$ ,  $\text{NO}_3^-$ ,  $\text{CH}_3\text{COO}^-$ ) atkarība no katjona hidratācijas enerģijas [166].

Brīvo enerģiju aditivitātes principa īstenošanos (zīm. 18) apstiprina struktūras izmaiņu trūkums jonu asociātā uz fāzu robežvirsmas ūdens/DHE.

$\text{Pb}(\text{Ac})_2$  konstanšu starpības lielums tuvs  $\text{Rb}^+$  (zīm. 18), no kā izriet, ka mijiedarbojas  $\text{Pb}(\text{Ac})^+$  jons.

DCH(A) veido visstabilākos kompleksus ne tikai ar  $\text{KCl}$ ,  $\text{KNO}_3$ , bet arī ar  $\text{KH}_2\text{Ind}$  (zīm. 18).

Formāli no izotermu sākuma apgabaliem (zīm. 14) pēc vienādojuma (7) var aprēķināt  $\text{MH}_2\text{Ind}$  desorbcijas no fāzu robežvirsmas ūdens/DHE darbu.  $\pi$  samazināšanās nepārsniedza  $1 \text{ mN/m}$ , bet kraun-ētera koncentrācija  $10^{-6} \text{ M}$ .  $W_{\text{des}}$  mainās lineāri kopā ar pretjona  $\text{M}^+$  hidratācijas enerģiju savienojumā  $\text{MH}_2\text{Ind}$  atbilstoši liotropajai rindai (28). Tajā pašā laikā  $\text{MH}_2\text{Ind} \cdot \text{DCH}$   $G_{\text{des}}$  (zīm.14, tab.2) atbilst  $\text{M}^+$  un kraun-ētera kompleksveidošanās rindai.

Benzilpenicilīna sāju adsorbcijas izotermas uz robežvirsmas ar DHE (zīm. 15) ērti aprakstīt ar Šiškovska vienādojumu. Gmax lielumi labi sakrīt ar aprēķinātajiem, izmantojot splain-funkcijas. Uzmanību pievērš fakts, ka Smin NaBP gadījumā ir stipri mazāks KBP. BP sājiem kā VAV ar karboksilgrupu vajadzētu būt otrādi.

Kamēr kraun-ētera tilpuma koncentrācija ir neliela, pēc izotermām (zīm. 12) redzams, ka starp BP sāli un DCH(A) mijiedarbība nepastāv, vai arī tā neietekmē monoslāņa aizpildīšanos ar BP sāli. Palielinoties DCH(A) virsmas koncentrācijai, laukums uz vienu kompleksa molekulu kļūst vienāds ar DCH(A) Smin.

Starpfāzu konstanti  $K_s$  var novērtēt pēc metodes [111].  $K \cdot \text{krauna}^+$  mijiedarbības gadījumā ar penicilāta anjonu pie maksimālās eksperimentālās koncentrācijas  $3 \cdot 10^{-2}$  M  $\lg K_s$  ir vienāds ar 1.5. Atšķirībā no [111], nav zināms, vai tiek sasniegta kompleksa maksimālā adsorbcija.

Izotermas, kuras līdzīgas zīm. 13, 14 attēlotajām, tika iegūtas disociētajai un nedisociētajai azokrāsvielas Tropeolīna 00 formai, kā arī sulfoftaleīna krāsvielai Bromfenolzilajam.

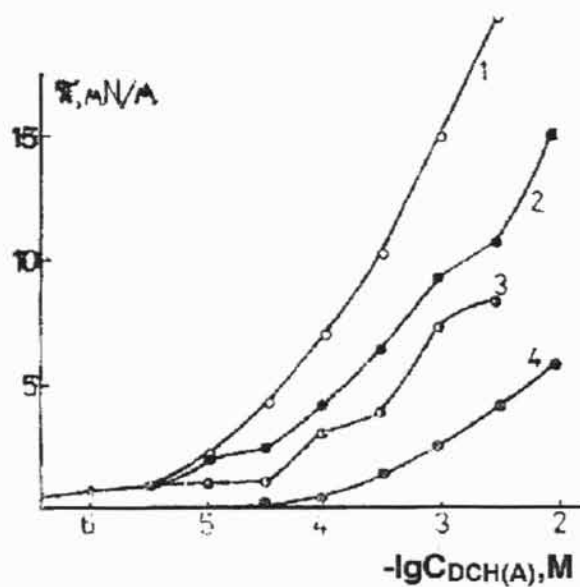
Tabula 2

## Kraun-estetu mijedarbība ar benzilpenicilīna sāliem un Eriohrom-melno T uz robežvirsmas šķīdums/dihloretāns

Nr.	Sistēma	Wad., KJ/mol	Wdes. KJ/mol	$G_{\max} \cdot 10^{10}$ , mol/cm <sup>2</sup>	$S_{\min}$ , Å <sup>2</sup> /m-lu	$G_{\max} \cdot 10^{10}$ , mol/cm <sup>2</sup> , pēc vien. (16)	$G_{\text{des.}} \cdot 10^{10}$ , mol/cm <sup>2</sup> , pie C <sub>1</sub> , M	-lgC <sub>1</sub> , M	lgK <sub>s</sub> , l/mol	LgK <sub>stab.</sub> , L/mol	IgB <sub>L</sub> pēc vien.(16), l/mol
1	DHE/KBP	18.70		1.77	94	1.77			1.50		2.55
2	DHE/NaBP	15.40		2.86	58	2.94					1.85
3	DHE/NaH <sub>2</sub> Jnd 0.1M KCl			3.72	45						
4	gaiss/NaBP[168]			2.20	75						
5	LA2 petrolejā/0.1M KBP [169]				117	1.42					3.61
6	A DHE/10 <sup>-4</sup> M NaH <sub>2</sub> Jnd+0.1M TINO <sub>3</sub>		34.70				0.56	6.18	5.47	2.44	
7	A DHE/10 <sup>-4</sup> M NaH <sub>2</sub> Jnd+0.1M RbCl		34.40				0.56	6.10	5.38	1.52	
8	A DHE/10 <sup>-4</sup> M NaH <sub>2</sub> Jnd+0.1M KCl		33.90				1.01	6.04	5.66	2.02	
9	A DHE/10 <sup>-4</sup> M NaH <sub>2</sub> Jnd 0.1M HCl		32.20				0.40	5.78	4.87		
10	A DHE/10 <sup>-4</sup> M NaH <sub>2</sub> Jnd+0.1 M LiCl		28.15				0.23	5.20	4.02	0.6	
11	A DHE/10 <sup>-4</sup> M NaH <sub>2</sub> Jnd+2*10 <sup>-5</sup> M Pb(Ac) <sub>2</sub>		34.10				0.22	6.12	4.93		
12	A DHE/10 <sup>-4</sup> M NaH <sub>2</sub> Jnd+2*10 <sup>-5</sup> M Pb(NO <sub>3</sub> ) <sub>2</sub>		30.95				0.53	5.46	4.69	4.95	
13	B DHE/10 <sup>-4</sup> M NaH <sub>2</sub> Jnd+0.1M RbCl						0.33	6.02	5.02	0.87	

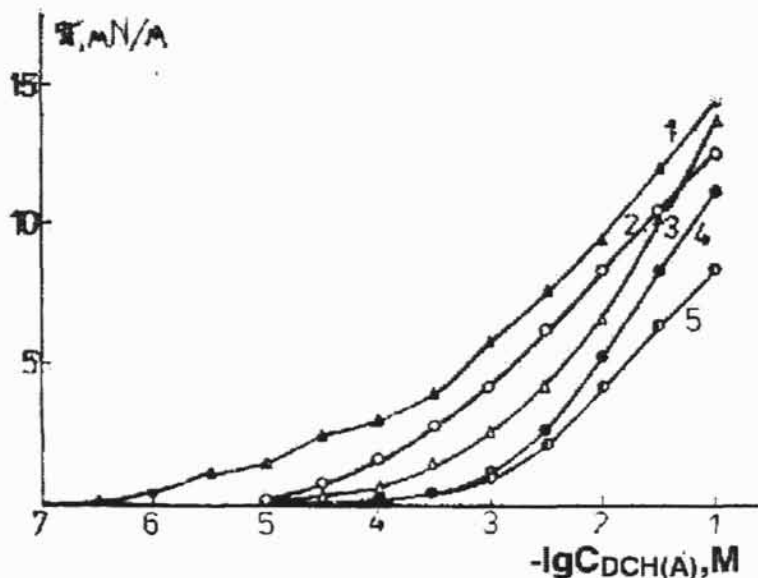
\* Koncentrācija mol/cm<sup>3</sup> $G_{\text{des}}$  - kompleksa desorbcija pie kraun-estera koncentrācijas C<sub>1</sub> atbilstoši samazišanai π uz 1<sup>mN</sup>/m.K<sub>s</sub> - kraun-estera mijedarbības reakcijas ar Eriohrom-melno T un benzilpenicilīna kalija sāli starpfāžu stabilitātes konstante.

#### 4.2.3. Kraun-ētera mijiedarbība ar svina sāļiem



Zīm.20. Paaugstīnāta spiediena izotermas DCH(A) šķidumiem toluolā uz fāzu robežvirsmas ar ūdens šķidumiem:

- 1 - 0.233 M  $\text{Pb}(\text{NO}_3)_2$ ; 1M  $\text{Pb}(\text{NO}_3)_2$
- 2 - 1M  $\text{Pb}(\text{Ac})_2$
- 3 -  $3.2 \cdot 10^{-3}$ M  $\text{Pb}(\text{NO}_3)_2$
- 4 -  $\text{H}_2\text{O}$



Zīm.21. Paaugstināta spiediena izotermas DCH(A) šķidumiem dihloretānā uz fāzu robežvirsmas ar ūdens šķidumiem:

- 1 - 0.1M  $\text{Pb}(\text{Ac})_2$
- 2 - 0.1M  $\text{Pb}(\text{Ac})_2 + 0.01\text{M Mg}(\text{NO}_3)_2$
- 3 - 0.1M  $\text{Pb}(\text{Ac})_2 + 0.1\text{M Mg}(\text{NO}_3)_2$
- 4 - 0.1M  $\text{Pb}(\text{NO}_3)_2$
- 5 -  $\text{H}_2\text{O}$

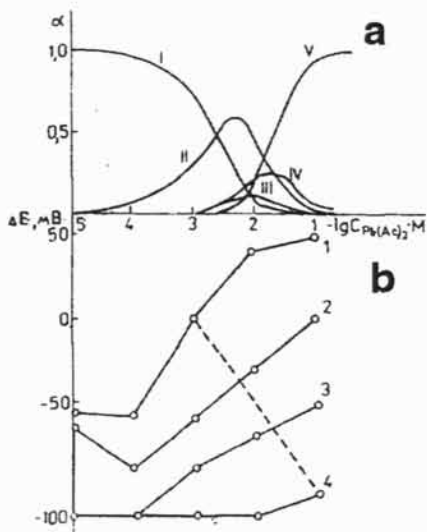
Izotermu raksturu uz fāzu robežvirsmas ūdens/toluols nosaka kraunētera mijiedarbība ar dažādām svina jonu formām ūdens šķidumā.

Izotermas ir tuvas tajos gadījumos, kad ūdens fāze satur vienādu (vai tuvu)  $\text{Pb}^{2+}$  vai  $\text{PbL}^+$  jonus daudzumu (zīm. 20, tab. 3). Neitrālas  $\text{Pb}(\text{Ac})_2$  molekulas praktiski nepiedalās kompleksveidošanās reakcijās.

Izotermu nemonotonais raksturs kā uz robežvirsmas šķidums/toluols, tā arī uz robežvirsmas ar DHE saistīts ar divu tipu komplekso savienojumu, kurus veido DCH(A) ar  $\text{Pb}^{2+}$  un  $\text{PbL}^+$ , klātbūtni.

Atšķirība komplekso savienojumu  $\text{Pb}(\text{Ac})_2 \cdot \text{DCH(A)}$  un  $\text{Pb}(\text{NO}_3)_2 \cdot \text{DCH(A)}$  virsmas aktivitātē uz fāzu robežvirsmas ūdens/DHE (līknes 1,4 zīm. 21) saistīta ar pirmā kompleksa zemo sadalījuma konstanti.

Elektroda funkcija membrānai, kura sākotnēji satur dihloretānā izšķidinātu brīvu kraun-ēteri, korelē ar  $\text{Pb}(\text{Ac})^+$  ionu daļu ūdens šķidumā (zīm. 22) [170].



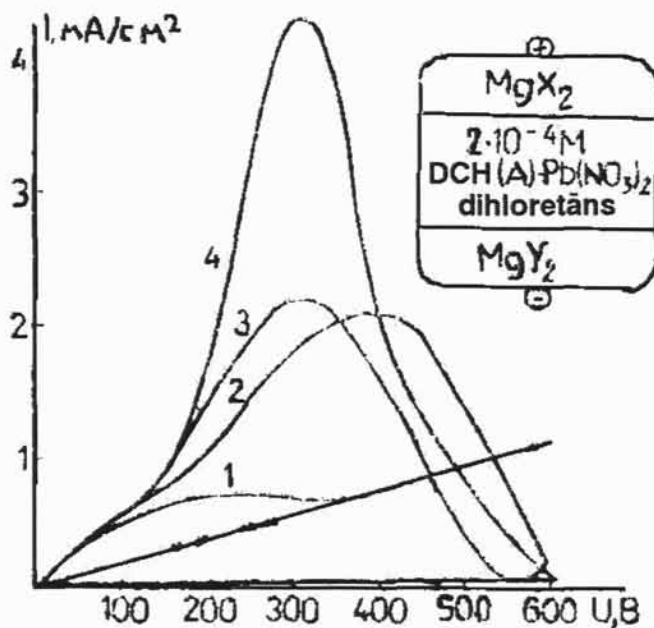
Zīm. 22. a - Dažādu svina formu satura daļas izmaiņas.  $\text{Pb}(\text{Ac})_2$  šķidumos. Fons  $-0.1\text{M Mg}(\text{Ac})_2$ . I -  $\text{Pb}^{2+}$ ; II -  $\text{Pb}(\text{Ac})^+$ ; III -  $\text{Pb}(\text{Ac})_2$ ; IV -  $\text{Pb}(\text{Ac})_3^-$ ; V -  $\text{Pb}(\text{Ac})_4^{2-}$ . b - Šķidro membrānu  $- 10^{-3} \text{M DCH(A)}$  šķidumu dihloretānā – elektroda funkcijas. Salīdzināšanas šķidums  $- 10^{-3} \text{M Pb}(\text{Ac})_2$ : 1 -  $\text{Pb}(\text{Ac})_2$ ; 2 -  $\text{Pb}(\text{Ac})_2 + 10^{-3} \text{M Mg}(\text{NO}_3)_2$ ; 3 -  $\text{Pb}(\text{Ac})_2 + 10^{-2} \text{M Mg}(\text{NO}_3)_2$ ; 4 -  $\text{Pb}(\text{Ac})_2 + 10^{-1} \text{M Mg}(\text{NO}_3)_2$ . Fona elektrolits netiek lietots. Pārtrauktā līnija - šīs pašas membrānas elektroda funkcija attiecībā pret  $\text{NO}_3^-$  joniem  $0.1\text{M Pb}(\text{Ac})_2$  šķiduma gadījumā, iegūta no sakarībām 2 - 4. Ūdens šķidumu pH - 3.5.

Membrānām ar acikliskiem jonoforiem potenciālu nosaka joni  $\text{Pb}(\text{OH})^+$  [171].

Jonselektīvam elektrodam ar membrānu uz dibenzo-18-krauna-6 bāzes potenciālu nosaka katjons  $\text{Pb}^{2+}$  [172].

Ja joni, kurus satur ūdens fāzes, praktiski netiek pārnesti caur membrānu, tad strāvu caur fāzu robežvirsmu pārnes organiskās fāzes joni. Atbilstošā voltamperogramma (piemēram, kompleksam  $\text{DCH(A)} \cdot \text{KClO}_4$ ) ir likne, kura iet caur maksimumu. Tādas pašas sakarības raksturīgas membrānām, kuras satur svina kompleksus tikai ar vienu pretjonu tipu  $\text{DCH(A)} \cdot \text{Pb}(\text{NO}_3)_2$  vai  $\text{DCH(A)} \cdot \text{Pb}(\text{Ac})_2$ .

Ja membrāna - kompleksa  $\text{DCH(A)} \cdot \text{Pb}(\text{NO}_3)_2$  šķidums dihloretānā - atdala divus magnija nitrāta šķidumus, tad sistēmas voltamperogrammai pirmajam sprieguma izvērses ciklam ir neliels maksimums (zīm.23, likne 1).



Zīm. 23. Šķidrās membrānas voltamperogrammas. Ūdens fāzu sastāvs.

- a)  $\text{MgX}_2$ : 1,2 - 0.05M  $\text{Mg}(\text{NO}_3)_2$ ; 3 - 0.1M  $\text{Mg}(\text{Ac})_2$ ; 4 - 1M  $\text{Mg}(\text{Ac})_2$ .  
 b)  $\text{MgY}_2$ : 1 - 0.05M  $\text{Mg}(\text{NO}_3)_2$ ; 2,3 - 0.1M  $\text{Mg}(\text{Ac})_2$ ; 4 - 1M  $\text{Mg}(\text{Ac})_2$ .

Sprieguma izvērses ātrums -24 V/s.

Magnija nitrāta koncentrācija intervālā no 0.05 līdz 0.5 M praktiski neietekmē likņu izskatu. No membrānas uz kameru K pārgājušā svina daudzums nepārsniedz 10% no tā daudzuma neūdens fāzē. Šajā situācijā strāvu caur membrānu pārnes  $\text{NO}_3^-$  joni pēc anjonu apmaiņas mehānisma pie praktiski pastāvīgas kompleksa koncentrācijas membrānā. Tādai membrānai nulles strāvas apstākļos attiecībā pret  $\text{NO}_3^-$  jioniem piemīt anjonu funkcija ( $58\text{mV/pC}_{\text{NO}_3^-}$ ), un tā neuzrāda katjonus apmaiņas spējas attiecībā pret svina jioniem.

Acetāta jonus parādišanās kēdes (1) kamerās K un A vai arī tikai kamerā K krasī izmaina voltamperogrammu izskatu, liknes iegūst

raksturīgu zvanveida formu (zīm. 23, liknes 3, 4).

Pēc sprieguma izvērses cikla membrānā paliek tikai brīvs jonofors.

Svina joni, kā arī nitrāta un acetāta joni pāriet atbilstošajās ūdens kamerās.

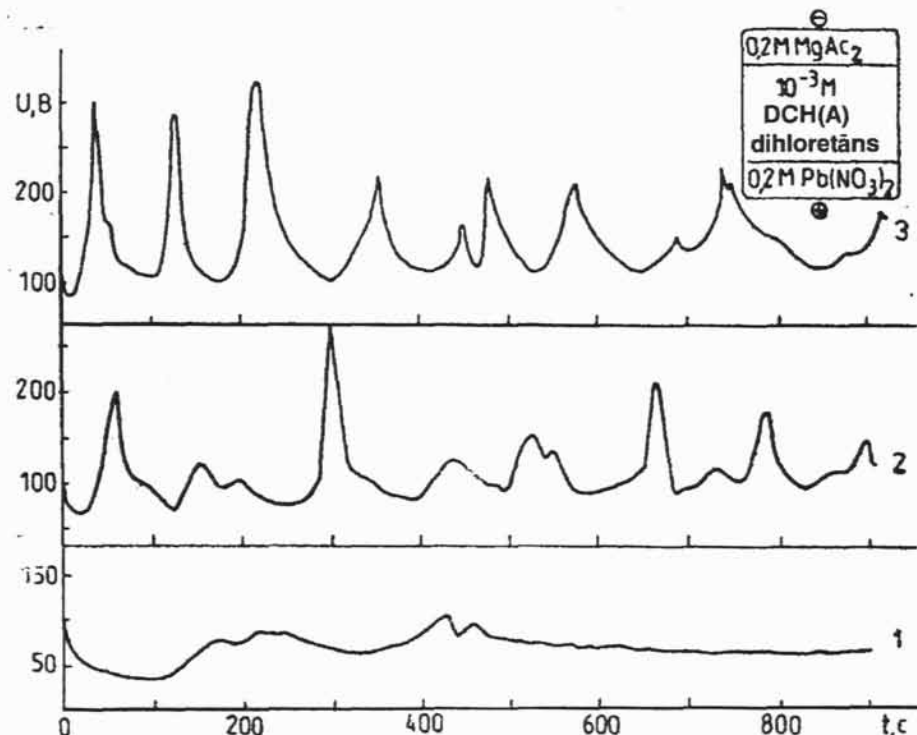
Membrānu - kompleksu  $DCH(A)\cdot Pb(Ac)_2$  šķidumu - voltamperogrammas pēc izskata neatšķiras no liknēm, kuras raksturīgas sārmu metālu kompleksiem.

Ja ūdens fāzes ir acetāta jonus pārākums, elektroda funkcijai ir katjona funkcijas raksturs ar slīpumu 59 mV attiecībā pret svina joniem ( $PbAc^+$ ). Membrānu elektrodu īpašības nosaka stabilitātes konstanšu lielumi kompleksiem  $DCH(A)\cdot Pb^{2+}$  ( $\lg K=4.95$  [173]) un  $DCH(A)\cdot PbAc^+$  (vērtējot pēc elektrodu selektivitātes koeficientiem,  $\lg K \approx 2$  [170]).

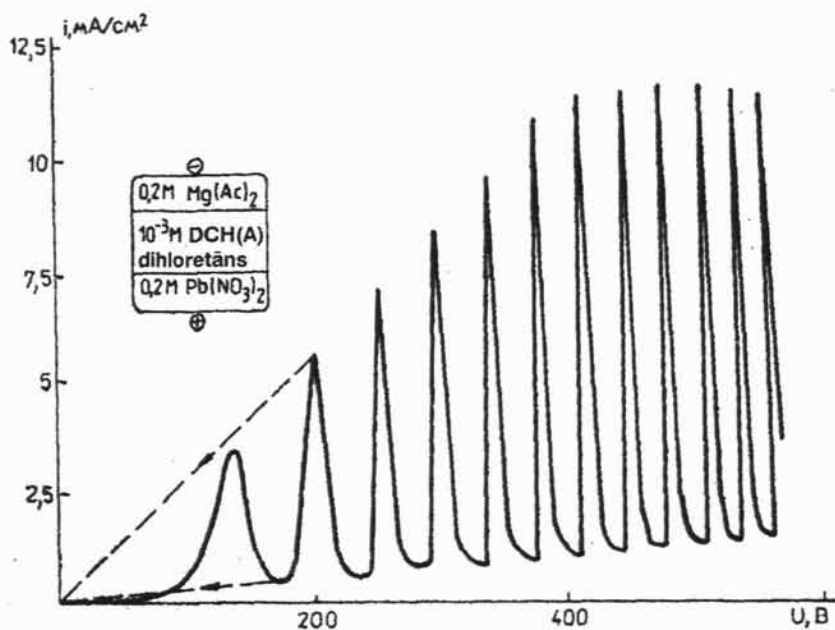
Savstarpēji neatkarīgi mērijumi parādīja, ka neūdes fāzes elektrovadītspēja pie kompleksu  $DCH(A)\cdot Pb(NO_3)_2$  un  $DCH(A)\cdot Pb(Ac)_2$  koncentrāciju attiecības 1:1 (summārā koncentrācija  $10^{-4}M$ ) ir divas reizes lielāka, nekā tādas pašas koncentrācijas ( $10^{-4}M$ ) individuālu kompleksu šķidumu elektrovadītspēja. Tāda neūdens fāzes elektrovadītspējas izmaiņa saistīta ar jonus pāru  $DCH(A)\cdot PbAc^+\cdot NO_3^-$  veidošanos. To disociācijas kostante ir augstāka salīdzinājumā ar citu membrānā esošo jonus pāru un kompleksu disociācijas konstantēm. Šāds komplekss veidojas uz fāzu robežvirsmas ar DHE, ja ūdens fāzē vienlaikus ir klāt ekvimolāri ( $0.1M$ ) anjonu  $Ac^-$  un  $NO_3^-$  daudzumi (zīm. 16, likne 3). Jonselektīvajam elektrodam ir katjona un anjona elektroda funkcija ar slīpumu  $\pm 59$  mV (zīm. 22).

Iespējamais jonus  $Ac^-$  iedarbības mehānisms uz svina jonus reekstrakciju saistīts ar kompleksa  $DCH(A)\cdot PbAc^+$  parādišanos membrānā. Šā kompleksa veidošanās konstante ir zemāka, bet elektrovadītspēja - augstāka salīdzinājumā ar  $DCH(A)\cdot Pb^{2+}$ . Sākoties sprieguma izvērsei,

daļu strāvas caur fāzu robežvirsmu 2 sāk pārnest joni  $\text{Ac}^-$ , kuru parādišanās membrānā izraisa kompleksa  $\text{DCH(A)} \cdot \text{PbAc}^+$  veidošanos. Neūdens fāzes elektrovadītspēja pieaug, notiek jonu  $\text{Pb}^{2+}$ ,  $\text{Ac}^-$ ,  $\text{NO}_3^-$  reekstrakcija atbilstošajos ūdens šķidumos, jonofors paliek membrānā. Ja membrānā atrodas komplekss  $\text{DCH(A)} \cdot \text{Pb}(\text{Ac})_2$ , tad  $\text{NO}_3^-$  jonu parādišanās neūdens fāzē arī izraisa sistēmas elektrovadītspējas palielināšanos, jo veidojas jonus pāri  $\text{DCH(A)} \cdot \text{PbAc}^+ \cdot \text{NO}_3^-$ . Tālākā procesa attīstība noris analogiski jau aprakstītajam [159]. Ja membrāna sākotnēji satur brīvu  $\text{DCH(A)}$ , tad dažos gadījumos sistēmā rodas periodiskas sprieguma (galvanostatiskais režīms, zīm.24) vai strāvas (pie lineāras polarizējošā sprieguma izvērses, zīm.25) izmaiņas.



Zīm.24. Sistēmas hronopotenciogrammas. Polarizējošās strāvas blīvums,  $\text{A}/\text{cm}^2$ : 1 - 0.3; 2 - 0.6; 3 - 0.9.



Zīm.25. Sistēmas voltamperogramma. Sprieguma izvērses ātrums 1.2 V/s. Pārtrauktās līnijas - sprieguma reversss ar ātrumu 400 V/s.

Svārstību frekvence un amplitūda ir atkarīga no  $\text{Pb}(\text{NO}_3)_2$ ,  $\text{Mg}(\text{Ac})_2$  un kraun-ētera koncentrācijām. Svārstības novērojamas molāro koncentrāciju intervālos:  $M: 0.05 < [\text{Pb}(\text{NO}_3)_2] < 1$ ;  $0.03 < [\text{Mg}(\text{Ac})_2] < 0.8$ ;  $5 \cdot 10^{-4} < [\text{DCH}(\text{A})] < 3.5 \cdot 10^{-3}$ . Iespējamais strāvas svārstību mehānisms saistīts ar periodisku kompleksa  $\text{DCH}(\text{A}) \cdot \text{PbAc}^+$  parādišanos membrānā. Šā kompleksa veidošanās konstante ir zemāka, bet elektrovadītspēja - augstāka salīdzinājumā ar  $\text{DCH}(\text{A}) \cdot \text{Pb}^{2+}$ . Procesa sākumstadijās notiek membrānas aizpildišanās ar kompleksiem  $\text{DCH}(\text{A}) \cdot \text{Pb}(\text{NO}_3)_2$ , kuri veidojas fāzu robežvirsmai 1 tuvajos ūdens slāņos [174]. Aizpildišanās notiek pēc jonu pāru ekstrakcijas mehānisma, strāva pie tā caur robežvirsmu netiek pārnesta. Uzkrājoties membrānā kompleksiem  $\text{DCH}(\text{A}) \cdot \text{Pb}(\text{NO}_3)_2$ , caur sistēmu ejošā strāva pieaug. Daļu strāvas caur fāzu robežvirsmu 2 pārnes joni  $\text{Ac}^-$ . To parādišanās membrānā

izraisa kompleksa  $DCH(A)\cdot PbAc^+$  veidošanos. Neūdens fāzes elektrovadītspēja pieaug, notiek jonu  $Pb^{2+}$ ,  $Ac^-$ ,  $NO_3^-$  reekstrakcija atbilstošajos ūdens šķidumos, jonofors paliek membrānā. Reekstrakcijas gaitā fāzu robežvirsmai 1 tuvajos ūdens fāzes slāņos daļu  $NO_3^-$  jonu aizstāj  $Ac^-$  joni. Tas izraisa jonu pāru  $DCH(A)\cdot Pb(NO_3)_2$  plūsmas membrānā samazināšanos. (Zemās kompleksveidošanās konstantes dēļ jonu pāru  $DCH(A)\cdot Pb(Ac)_2$  plūsma uz membrānu ir nenozīmīga.) Atbilstoši samazinās arī caur membrānu plūstošā strāva. Tālāk migrācijas un difūzijas rezultātā jonu sastāvs un koncentrācija membrānai tuvajā slānī tuvinās sastāvam un koncentrācijai tilpumā. Briva jonofora klātbūtne izraisa jonu pāru  $DCH(A)\cdot Pb(NO_3)_2$  plūsmas caur robežvirsmu palielināšanos, un process atkārtojas.

Periodiska  $NO_3^-$  jonu nomaiņa ar acetāta joniem tiešā fāzu robežvirsmas tuvumā uzskatāma par iespējamā mehānisma atšķirīgu īpatnību.  $DCH(A)$  virsmas aktivitāte svina acetāta klātbūtnē ir augstāka: ja kraun-ētera koncentrācija ir  $10^{-3}$  M, virsmas spraigums uz fāzu robežvirsmas ar  $0.1M$   $Pb(Ac)_2$  šķidumu ir  $21.9$  mN/m, bet uz robežvirsmas ar  $0.1M$   $Pb(NO_3)_2$  šķidumu -  $26.6$  mN/m. Tāda starpfāzu spraiguma izmaiņa tiek fiksēta ar "pakārtā" piliena metodi [151].

Ejot cauri pilienam sistēmā, kura attēlota zīm.5, strāvai ar blīvumu  $3$  mA/cm $^2$ , tika novērotas periodiskas piliena formas izmaiņas. Šīs izmaiņas bija atbilstošas starpfāzu spraiguma izmaiņai par  $5.5$  mN/m ( $\pm 5\%$ ). Starpfāzu spraiguma samazināšanās no  $26.5$  līdz  $22$  mN/m notiek sinhroni ar aptuveni divkāršu sprieguma palielināšanos uz palīgelektrodiem. Svārstību periods atrodas  $20$  - $35$  s robežās un diezgan krasī samazinās, samazinotien cauri plūstošās strāvas blīvumam.

Dažas atšķirības svārstību periodos un amplitūdās salīdzinājumā ar membrānu sistēmu saistītas ar elektriskā lauka nevienmērīgumu: lielākā strāvas daļa plūst caur piliena virsējo daļu. Bez tam, virsmas sprauguma samazināšanās izraisa piliena izstiepšanos un attiecīgi atstarpes starp pilienu un plakano robežvirsmu samazināšanos. Sakarā ar to sistēmas pretestība samazinās, tāpēc sprieguma svārstību amplitūda ir nedaudz mazāka kā zīm.24 uzdotā. Magnija acetāta koncentrācijas, kā arī citu sistēmas raksturlielumu ietekme uz piliena svārstību rašanos ir tāda pati kā membrānām. Tāpēc pietiekoši pamatoti var uzskatīt, ka ieteiktais svārstību rašanās mehānisms apskatāmajā sistēmā ir apstiprināts eksperimentāli [151].

Tabula 3

## Adsorbcija uz fāzu robežvirsmas ūdens/toluols, ūdens/DHE

N r.	Sistēma	[Pb <sup>2+</sup> ]	[PbL <sup>+</sup> ]	[PbL <sub>2</sub> ]	Wad, KJ/mol	G <sub>max</sub> *10 <sup>-10</sup> , Mol/cm <sup>2</sup>	S <sub>min.</sub> , Å <sup>2</sup> /m-lu	a <sub>F</sub> pēc vien.(12)	IgB <sub>F</sub> pēc vien.(12)	A*10 <sup>-10</sup> Pēc vien.(15), mol/cm <sup>2</sup>	-IgB <sub>V</sub> pēc vien.(15)	S <sub>atgr.</sub> Å <sup>2</sup> /m-lu
1	A toluolā/1M Pb(NO <sub>3</sub> ) <sub>2</sub>	5.9*10 <sup>-2</sup>	0.938		30.0	2.28	73	-2.27	8.25	1.46	0.43	242
2	A toluolā/0.233M Pb(NO <sub>3</sub> ) <sub>2</sub>	4.47*10 <sup>-2</sup>	0.188		30.7	2.43	69	-2.30	8.13			
3	A toluolā/3.2*10 <sup>-2</sup> M Pb(NO <sub>3</sub> ) <sub>2</sub>	2.93*10 <sup>-3</sup>	2.7*10 <sup>-3</sup>		30.9	1.30	125					
4	A toluolā/1M Pb(Ac) <sub>2</sub>	2.93*10 <sup>-3</sup>	0.188	0.809	30.8	1.45	115	-3.50	8.31	2.78	1.58	462
5	A DHE/0.1M Pb(NO <sub>3</sub> ) <sub>2</sub>	3.32*10 <sup>-2</sup>	668*10 <sup>-2</sup>		16.2	1.08	153	0.47	5.72			
6	A DHE/0.1M Pb(Ac) <sub>2</sub>	2.68*10 <sup>-3</sup>	4.26*10 <sup>-2</sup>	5.47*10 <sup>-2</sup>	30.9	1.02	163	-4.51	8.42			
7	A DHE/0.1M Pb(Ac) <sub>2</sub> + 10 <sup>-3</sup> M Mg(NO <sub>3</sub> ) <sub>2</sub>				25.4	0.75	220					
8	A DHE/0.1M Pb(Ac) <sub>2</sub> + 10 <sup>-2</sup> M Mg(NO <sub>3</sub> ) <sub>2</sub>				24.1	0.80	210					
9	A DHE/0.1M Pb(Ac) <sub>2</sub> + 0.1M Mg(NO <sub>3</sub> ) <sub>2</sub>				21.4	1.53	108	-2.23	6.44			

\* koncentrācija mol/cm<sup>3</sup>

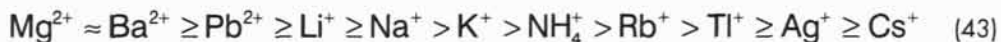
\*\* izlīdzināta likne

## 4.3. Dikarbolidā sāji

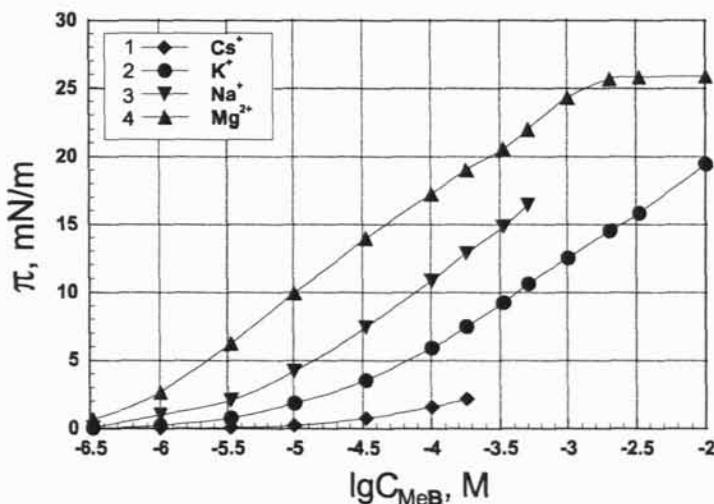
### 4.3.1. Dikarbolidā sāji - katjonus apmaiņas ekstrahenti

Dikarbolkobaltāta (III) anjonu virsmas aktivitāti lielā mērā nosaka sāls katjona daba (zīm.26).

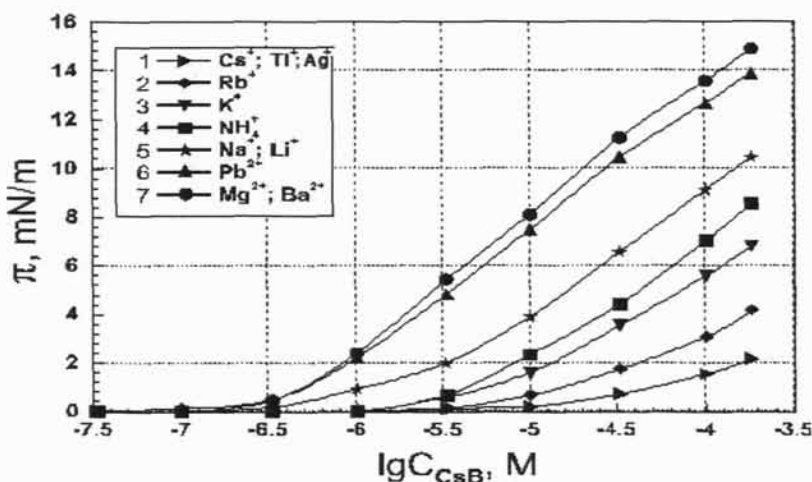
Pēc ietekmes uz virsmas aktivitāti uz fāzu robežvirsmas ūdens/dikarbolkobaltāta (III) anjoni 1,2-dihloretānā katjoni izkārtojas rindā:



Attiecībā uz sārmu metālu katjoniem, rinda ir apgriezta attiecībā pret Hofmeistera liotropo rindu. Divvērtīgie katjoni uzrāda stiprāku ietekmi uz dikarbolkobaltāta(III) anjoniem, salīdzinājumā ar vienvērtīgajiem joniem. Katjona daba šinī gadījumā gandrīz nemaz neietekmē virsmas spiediena iztermas formu (zīm.26, 27).



Zīm. 26. Dikarbolidā sāju šķidumu dihloretānā virsmas spiediena iztermas uz fāzu robežvirsmas ar attiecīgo sāju 0.1 M ūdens šķidumiem. Izterma 4 iegūta fāzu robežvirsmai NaB dihloretānā/0.1M Mg(NO<sub>3</sub>)<sub>2</sub>.



Zīm. 27. CsB šķidumu dihloretānā virsmas spiediena izotermas uz fāzu robežvirsmas ar 0.1M sāļu ūdens šķidumiem.

Eksperimentāli iegūtais minimālais laukums uz vienu molekulu monoslāni ir  $95 \pm 8 \text{ \AA}^2$  (tab. 4). Polihedrālā sendviča formas dikarbolilkobaltāta(III) anjona  $\{\pi\text{-}(3-1,2-\text{B}_9\text{C}_2\text{H}_{11})_2\text{Co(III)}\}$  Van-der-Välsa radiusa novērtēšana pēc molekulārā modeļa uzrāda šķērsgriezuma laukumu aptuveni  $95 \text{ \AA}^2$  vertikālo simetrijas asi saturošajā plaknē un  $45 \text{ \AA}^2$  - plaknē, kura perpendikulāra šai asij. Tādējādi var uzskatīt, ka adsorbēto dikarbolilkobaltāta(III) anjonu simetrijas ass ir paralēla fāzu robežvirsmai. Šajā gadījumā monoslāni var iedomāties kā blīvi sakārtotu horizontālu (guļošu) cilindru kopumu. Dikarbolilkobaltāta(III) anjona virsmu (zīm.1) veido ūdeņraža atomi, kuri pastiprina anjona hidrofobās īpašības.

Dikarbolīda sāļu adsorbcijas no 1,2-DHE uz fāzu robežvirsmas ar metālu sāļu ūdens šķidumiem izotermu vidēju aizpildījuma pakāpju apgabalā ( $0.1 \leq \theta \leq 0.8$ ) apraksta Frumkina vienādojums (12). Atraktīvā konstante  $a_F$  praktiski nemainās, pārejot no dikarbolīda  $\text{Cs}^+$  sāls pie  $\text{Na}^+$  sāls, mainās tikai adsorbcijas konstantes lielums (tab. 4).

Atšķirībā no Frumkina izotermas, viriālās izotermas (15) koeficients  $A_V$  mainās, mainoties dikarbolilkobaltāta sāls katjonam. Pastiprinoties adsorbcijai (pāreja no  $Cs^+$  uz  $Na^+$ ), atgrūšanās monoslāni samazinās (tab. 4). Jāatzīmē, ka adsorbcijas aprakstam ar izotermas palīdzību ir formāls raksturs: adsorbēto daļu daudzuma samazināšanās, kas saistīta ar virsmas aktivitātes samazināšanos, tiek reducēta uz atgrūšanās mijiedarbības adsorbāts-adsorbāts pastiprināšanos monoslāni.

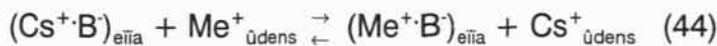
Tabula 4

Adsorbcija uz fāzu robežvirsmas ūdens/DHE

Sāls	$\Gamma_\omega$ , mol/cm <sup>2</sup> ( $S_{lim}$ Å <sup>2</sup> )	$a_F$ pēc vien.(12)	$\ln B_F$ pēc vien.(12)	$A_V$ , pēc vien.(15)	$A_{atgr.}$ , Å <sup>2</sup> pēc vien.(15)	$-\ln B_V$ ( $\ln B_V/\Gamma_\omega$ ) pēc vien.(15)
CsB	$1.01 \cdot 10^{-10}$ (163.0)	-1.85	17.60	$3.4 \cdot 10^{10}$	372	4.45 (16.6)
KB	$1.33 \cdot 10^{-10}$ (125.3)	-1.9	19.85	$2.3 \cdot 10^{10}$	189	2.60 (18.5)
NaB	$1.71 \cdot 10^{-10}$ (96.9)	-1.9	20.45	$1.85 \cdot 10^{10}$	115	1.60 (19.5)

#### 4.3.2. Katjonus konkurentā adsorbcija

Ja organiskajā fāzē izšķidināts CsB, bet ūdens fāzē - kāda metāla  $Me^+$  sāls, tad notiek heterogēna jonu apmaiņas reakcija:



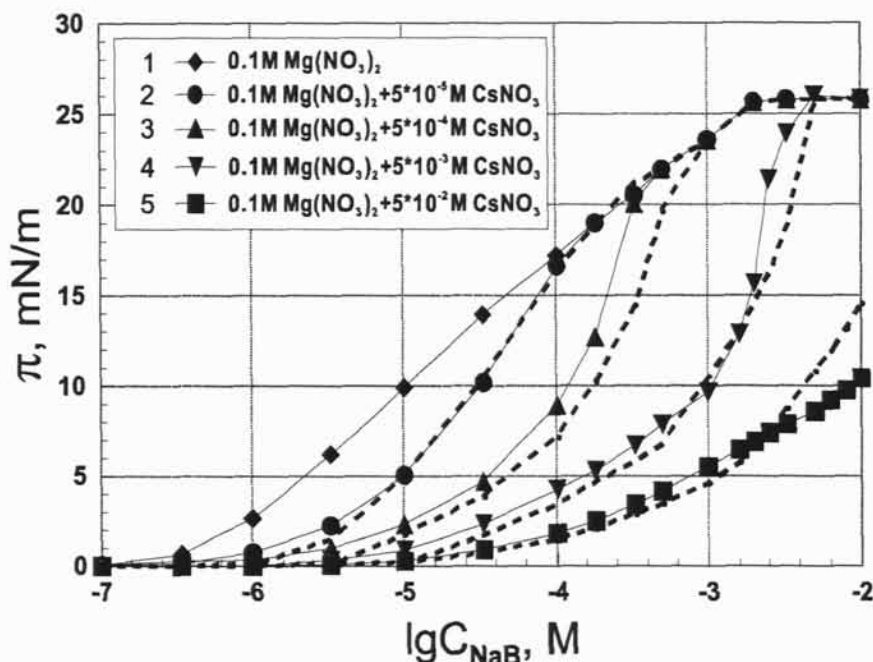
Jonu pāra asociācijas konstante ir atkarīga no šķiduma polaritātes. Jonu un jonu asociātu koncentrāciju starpfāzu apgabalā nosaka to koncentrācijas ūdens un organiskajā fāzēs, kā arī jonu apmaiņas konstantes lielums. Jonu apmaiņas reakcija vairumā gadījumu notiek ar lielu ātrumu ( $10^8 - 10^{10}$  l/mol·sek [175], un

parasti ekstrakcijas summāro ātrumu nosaka difūzija [176]. Šajā gadījumā starp virsmas un pievirsmas slāniem pastāv lokāls līdzsvars. Jonu daba un to koncentrācija pievirsmas slānī nosaka virsmas spiediena izotermas izskatu [177]. Tā kā dikarbolilkobaltāta(III) anjona virsmas aktivitāti lielā mērā nosaka sāls katjona daba, tad pēc virsmas spiediena izotermas rakstura var spriest par reakcijas (44) līdzsvaru starpfāzu apgabalā. Uz fāzu robežvirsmas starp CsB (sāls koncentrācijas  $\leq 10^{-4}$ M) šķidumu dihloretānā un vienvērtīgu sāļu ūdens šķidumiem (0.1M) reakcijas līdzsvars praktiski pilnīgi nobīdīts pa labi, lai gan ekstrakcijas konstante cēzija gadījumā ir maksimāla. To apstiprina 26. un 27.zīm. doto izotermu praktiski pilnīgais identiskums. Pie lielākām dikarbolilkobaltāta(III) sāļu koncentrācijām izotermām parādās atšķirības (piemēram, liknes 4 un 5, zīm. 27). Izotermas raksturīgais izliekums (horizontālais apgabals) saistīts ar nešķistošas plēvītes, domājams MgB<sub>2</sub>, parādišanos uz fāzu robežvirsmas.

Sāļus, kurus veido dikarbolilkobaltāta(III) anjoni ar dažādiem katjoniem, var uzskatīt par vienas homoloģiskās rindas virsmas aktīvām vielām. To apstiprina fakts, ka Frumkina vienādojuma atraktīvā konstante nav atkarīga no sāls katjona dabas (tab. 4). Tāpēc var uzskatīt, ka dažādu dikarbolilkobaltāta(III) sāļu ieguldījuma daļām kopējā virsmas spiedienā ir aditīvs raksturs. Dažādu jonu (jonu asociātu) koncentrācijas organiskās fāzes pievirsmas slānī tika aprēķinātas, izmantojot reakcijas (44) līdzsvaru. Šī reakcija uzrakstīta reālam Cs<sup>+</sup> un Mg<sup>2+</sup> jonu apmaiņas procesam, pieņemot, ka eksistē lokāls līdzsvars starp adsorbcijas un pievirsmas slāni.

$$K = \frac{[CsB] \cdot [Mg^{2+}]}{\{C_0 - [CsB]\} \cdot \{C_0^{\text{ud}} - [CsB]\}} \quad (45)$$

Šajos aprēķinos uzskatīja, ka dikarbolilkobaltāta anjonu koncentrāciju summa organiskās fāzes pievirsmas fāzē ir vienāda ar kopējo tilpuma koncentrāciju(Co). Magnija jonu koncentrāciju ūdens fāzes pievirsmas slānī, atšķirībā no cēzija jonu koncentrācijas (tilpuma  $Co^{\text{ud}}$ ), uzskatīja par nemainīgu un vienādu ar tilpuma koncentrāciju (0.1M). Kā reakcijas līdzsvara konstante tika lietots atbilstošā jonselektīvā elektroda selektivitātes koeficients. To vērtības dotas tab. 5. (Selektivitātes koeficienta lietošana heterogēnas jonu apmaiņas reakcijas līdzsvara konstantes vietā balstās uz lineāras korelācijas pastāvēšanu starp šiem lielumiem. [178]) Lietojot iegūtās koncentrāciju vērtības, pēc starpfāzu spraiguma izotermām (1 un 5, zīm. 28) kā kalibrēšanas grafikiem, var noteikt atbilstošās starpfāzu spraiguma vērtības. Tādā veidā aprēķinātās starpfāzu spraiguma izotermas parādītas zīm.28 ar punktveida līnijām.



Zim. 28. NaB šķidumu dihloretānā virsmas spiediena izotermas uz fāzu robežvirsmas ar ūdens šķidumiem. Ar pārtrauktām līnijām parādītas aprēķinos iegūtās sakarības.

#### 4.3.3. Jonu apmaiņas raksturlielumi

Sārmu metālu katjonus jonus apmaiņas kvantitatīvos raksturlielumus uz fāzu robežvirsmas adsorbētos dikarboliķobaltāta(III) monoslāņos var aprēķināt no adsorbcijas darbu vērtībām. Adsorbcijas darbu vērtības iegūtas uz CsB sāls šķiduma dihloretānā robežvirsmas ar 0.1M atbilstošo metālu sāļu šķidumiem. Šo darbu vērtības sakrīt ar lielumiem, kuri iegūti uz MeB sāļu šķidumu dihloretānā robežvirsmas. (Tika izmantoti sāļi NaB, KB, RbB, BaB<sub>2</sub>.) Adsorbcijas darbu starpība savienojumiem, kurus veido ekstrahents ar dažādiem pretioniem, ir vienāda ar pretjonu apmaiņas darbu tieši ekstrahenta monoslāni. Adsorbcijas darbu starpību ar jonus apmaiņas konstanti saista pazīstama termodinamiska

sakarība:  $W_{ads} = RT \ln K_m$ . Tab. 5 dotas jonus apmaiņas konstanšu vērtības attiecībā pret cēzija joniem.

Ekstrakcijas sistēmās dažādas dabas pretjonus ievadišana ūdens fāzē, kas izraisa virsmas spiediena samazināšanos par vienu un to pašu lielumu (piemēram, 1 mN/m), izsauc viena un tā paša skaita ekstrahenta un pievienoto pretjonus veidoto jonus pāru desorbciju organiskajā fāzē no fāzu robežvirsmas ūdens/eļļa. Tādā gadījumā organiskās fāzes pierobežas slāni pētāmo pretjonus koncentrācija ir viena un tā pati. Ar to situācija atšķiras no nešķistošiem monoslāniem uz robežvirsmas ūdens/gaiss, kur līdzīgos eksperimentos, domājams, pētāmo pretjonus koncentrācija ir vienāda tieši monoslānī. Šajā gadījumā nevar izmantot vienādojumu (21), jo tas ir pareizs fāzu robežvirsmām ūdens/gaiss un ūdens/nepolāra eļļa, kurās virsmas aktīvā viela praktiski nešķist. Jonus sadalījumu starp fāzēm var aprakstīt sekojoši:  $C_{eļļa}^j = K_{ek} C_{ūd.}^j$  (45), kur  $C_{eļļa}$  - pretjonus j koncentrācija pievirsmas slānī, bet  $C_{ūd.}$  - to koncentrācija ūdens fāzē, pie kuras virsmas spiediens pazeminās par 1 mN/m.

Salīdzinot vienādojuma labās puses diviem pretioniem, var iegūt jonus apmaiņas konstantes, kuras attiecas uz tilpuma fāzēm ( $K_{tilp.}$ ). Tab. 5 doti rezultāti līdzīgiem eksperimentiem, kuri izdarīti uz robežvirsmas  $10^{-4} M$  CsB šķidums dihloretānā/ $0.1 M$   $Mg(NO_3)_2$  šķidums (virsmas spiediens  $13.8$  mN/m). Attiecībā pret cēzija joniem iegūtās jonus apmaiņas konstantes tuvas atbilstošo jonselektīvo elektrodu selektivitātes koeficientiem (Kel.) (sk.tab. 5).

Pirmoreiz šāda pieeja pretjonus specifiskās adsorbcijas pētišanai realizēta A.N.Popova un līdzstr. darbos.

Tabulā doti arī vairāku jonus apmaiņas strāvu lielumi, kuri iegūti ar radioķīmisko mēriju palīdzību. Apmaiņas strāvu vērtību attiecība principā nosaka selektivitātes koeficienta vērtību [179]. Eksperimentā iegūtās būtiskās  $K_m$  un  $K_{tilp.}$  lielumu atšķirības, acīmredzot, saistītas ar dubultā elektriskā slāņa difūzās daļas

potenciāla lēciena ( $\psi_1$ -potenciāls) ietekmi uz pretjonus koncentrāciju ūdens fāzes pierobežas slānī.

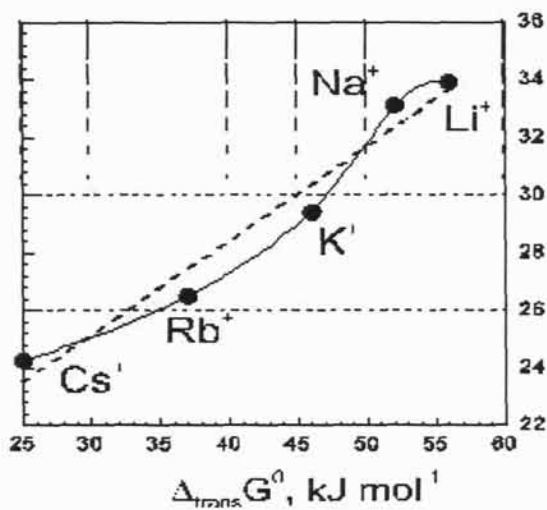
Tabula 5

Katjonus jonu apmaiņas kostantes ( $-\lg K_m$ ) uz kobalta(III) dikarboliida anjonu monoslāņa, katjonus jonu apmaiņas konstantes ( $-\lg K_{vol}$ ) (aprēķinātas no vērtībām), elektrodu selektivitātes koeficienti ( $-\lg K_{el}$ ) un selektivitātes koeficienti ( $-\lg K_{ex}$ ), kuri aprēķināti no apmaiņas strāvu vērtībām (radioķīmiskie mērijumi), ekstrakcijas sistēmām, kuras veidotas uz kobalta(III)dikarboliida sāļu šķidumu dihloretānā bāzes. Vērtības attiecībā pret  $Cs^+$  jioniem.

	$Cs^+$	$Ag^+$	$Rb^+$	$K^+$	$H^+$	$Na^+$	$Li^+$	$Mg^{2+}$
$-\lg K_m$	<b>0</b>	<b>0</b>	<b>0.47</b>	<b>0.93</b>	<b>1.13</b>	<b>1.57</b>	<b>1.72</b>	<b>2.12</b>
$-\lg K_{vol}$	<b>0</b>	<b>0.25</b>	<b>0.81</b>	<b>1.67</b>	-	<b>2.48</b>	<b>2.62</b>	-
$-\lg K_{el}$	<b>0</b>	<b>0.12</b>	<b>0.93</b>	<b>1.65</b>	<b>2.32</b>	<b>2.74</b>	<b>2.76</b>	<b>3.82</b>
$-\lg K_{ex}$	<b>0</b>	-	<b>0.75</b>	<b>1.4</b>	-	<b>2.1</b>	-	-

Dikarboliilkobaltāta(III) sāļiem starp adsorbcijai no organiskās fāzes uz robežvirsmas ar ūdens šķidumiem atbilstošo darbu un metāla jonus pārneses no ūdens dihloretānā darbu pastāv lineāra sakarība (zīm.29). Izņēmums ir sudraba jons. (Izmantotas Markusa [180] uzdotās pārneses darba vērtības. Šādas sakarības pastāvēšana norāda, ka sāļu adsorbcijai no ūdens fāzes darba vērtība  $ad.W_{\text{ūd.}}$  praktiski nav atkarīga no katjona dabas.

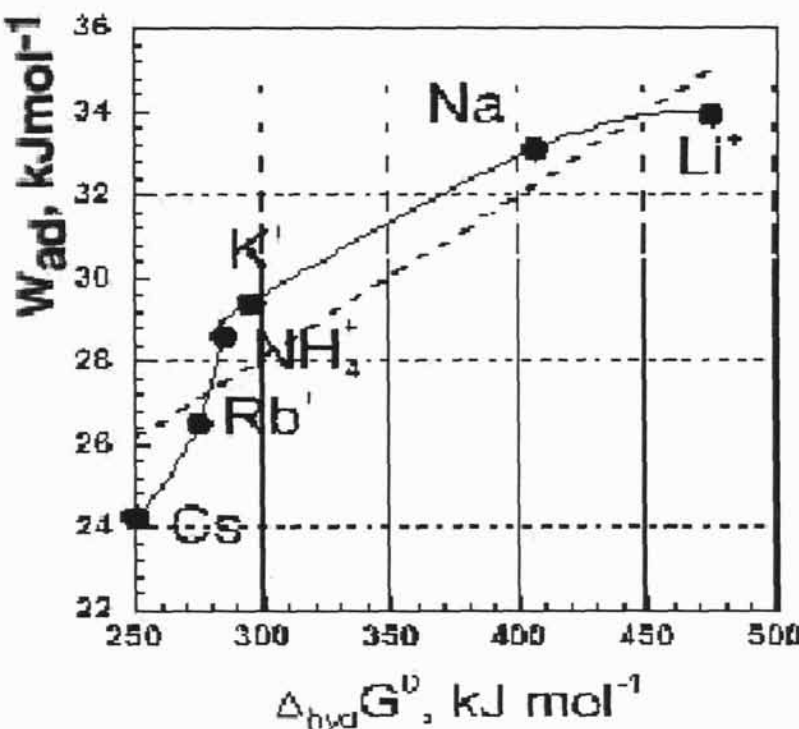
$W_{ad}$ ,  $\text{kJ mol}^{-1}$



Zīm. 29. Dikarbolilkobaltāta (III) sāļu adsorbējums no 1,2-dihloretāna uz fāzu robežvirsmas ar atbilstošo sāļu 0,1M ūdens šķidumiem darba atkarība no jonus pārneses no ūdens uz 1,2-dihloretānu brīvās enerģijas ( $\Delta_{trans} G^0$ )

Katjonus sadalījuma koeficienta palielināšana ar kompleksveidotāju palīdzību samazina dikarbolilkobaltāta anjonu virsmas aktivitāti. Tā piemēram, pievienojot organiskajā fāzē valinomicīna daudzumu, kurš ir ekvimolārs attiecībā pret CsB, RbB vai KB (šo katjonus kompleksveidošanās konstante organiskos šķīdinātājos ir ne mazāka par  $10^5 \text{ l mol}^{-1}$ ), pilnībā tiek bloķēta dikarbolilkobaltāta(III) sāļu virsmas aktivitāte.

Katjonus secība rindā (43) norāda uz to, ka, adsorbējoties dikarbolilkobaltāta(III) sāļiem uz robežvirsmas ūdens/eļļa, katjoni atrodas DES ūdens daļā. Starp adsorbējumam no neūdens fāzes darbu un sārmu metālu jonus hidratācijas enerģiju (ar nelielu novirzi  $\text{Li}^+$  jonus gadījumā) pastāv lineāra sakarība (zīm.30).



Zim. 30. Dikarbolkobaltāta (III) sāļu adsorbcijas no 1,2-dihloretāna uz fāzu robežvirsmas ar atbilstošo sāļu 0.1M ūdens šķidumiem darba atkarība no jonu hidratācijas Gibbsa brīvās enerģijas ( $\Delta_{\text{hydr}}G^0$ )

Dikarbolkobaltāta(III) sāļus saturošu membrānu elektroda funkcijai piemīt Nernsta slīpums (58 mV/pC) attiecībā pret sārmu metālu joniem. Tādas membrānas selektivitāti nosaka liotropā rinda (28), selektivitātes koeficienti doti tabulā. Gan katjonus apmainītāju, gan makrociklisku jonoforu saturošu ionselektīvo elektrodu šķidro membrānu selektivitāti parasti nosaka tikai jonofora īpašības [179].

Tomēr membrānām, kuras satur valinomicīnu (vai DCH(A)) un CsB, jonus pārneses selektivitāti nosaka dikarbolkobaltāta (III) anjonu īpašības, nevis jona novietojums Hofmeistera rindā (28). Stabilitātes konstantes kompleksi Val.K<sup>+</sup>(lgK=4.9) un DBK<sup>+</sup>K<sup>+</sup> (lgK=5.0 [181]) praktiski sakrīt, tāpēc atšķirība atbilstošo membrānu selektivitātes rindās saistīta ar dikarboliida un

tetrafenilborāta sāļu īpašibām. Tieši tāda valinomicīnu saturoša JSE membrānas selektivitātes izmaiņa arī neļauj izmantot dikarbolilkobaltāta sāļus kā lipofilas piedevas, kuras novērš elektroda katjonus funkcijas pārvēršanos par anjonu funkciju.

## **5. Secinājumi**

1. Pētīta kompleksu adsorbcija uz fāzu robežvirsmas starp dicikloheksān-18-krauna-6 šķidumiem toluolā un metālu sāļu ūdens šķidumiem. Parādīts, ka veidojošos savienojumu virsmas aktivitāte palielinās, pieaugot kompleksa metālskrauns veidošanās konstantei, un ir maksimāla mazāk hidratēto anjonu sāļiem.
2. Konstatēts, ka uz fāzu robežvirsmas ūdens/1,2-dihloretāns veidojošos savienojumu virsmas aktivitāte tāpat palielinās, palielinoties kompleksa metālskrauns veidošanās konstantei. Maksimālā adsorbcija tiek sasniegta visvairāk hidratēto anjou sāļiem. Parādīts, ka pretēja anjonu dabas ietekme uz virsmas aktivitāti saistīta ar atšķirību starp veidojošos savienojumu sadalījuma starp ūdeni un organiskajām fāzēm ar dažādu polaritāti konstantēm.
3. Konstatēta kobalta dikarbolīda anjonu virsmas aktivitāte uz fāzu robežvirsmas ūdens/dihloretāns. Adsorbcija ir maksimāla vairāk hidratēto katjonus ( $Mg^{2+}$ ,  $Li^+$ ) sāļiem un pazeminās, palielinoties sāļa ekstrakcijas konstantei. Adsorbēto dikarbolīkkobaltāta(III) anjonu (tas ir savienojums, kuram nav izteikti izdalīta hidrofilā un liofilā daļa) simetrijas ass novietota paralēli fāzu robežvirsmai. Legūtais robežlaukums uz vienu molekulu monoslāni ir  $95 \pm 8 \text{ Å}^2$ , kas atbilst attiecīgajam molekulārajam modelim.
4. Ieteiktas metodes specifiskās mijiedarbības enerģijas starp pretioniem un adsorbcijas monoslāņiem, kā arī jonu apmaiņas konstanšu monoslāņos noteikšanai. Lokālā līdzsvara apgabalā uz fāzu robežvirsmas, izmatojot adsorbcijas datus, var aprēķināt jonu apmaiņas reakcijas tilpuma un virsmas parametrus.
5. Izpētīta anjonu VAV mijiedarbība ar kraun-ēteriem uz fāzu robežvirsmas šķidrumi/šķidrumi. Konstatēts, ka reakcijas rezultātā var notikt VAV desorbcija no fāzu robežvirsmas.

6. Izmērot starpfāzu spraigumu fāzu robežvirsmai ūdens šķidums/membrāna, iegūts tiešs eksperimentāls apstiprinājums strāvas svārstību parādišanās mehānismam svina jonu elektrodialīzes gadījumā caur dicikloheksān-18-kraunu-6 saturošu membrānu.
7. Svina kompleksu ar dicikloheksān-18-kraunu-6 koncentrācijas noteikšanu neūdens fāzēs var izdarīt, izmantojot strāvas lielumu voltamperogrammas maksimumā. Zemākā nosakāmā koncentrācija  $5 \cdot 10^{-7}$  M.
8. Izstrādāts jонселектīvs elektrods svina jonu noteikšanai acetāta šķidumos ar šķidro membrānu, kura satur dicikloheksān-18-kraunu-6. Slipums  $59\text{mV/pC}_{\text{PbAc}^+}$ , zemākā nosakāmā koncentrācija  $5 \cdot 10^{-5}$  M.

## 6. Literatura

1. *Rehbinder P.* Z. Phys. Chem., 1924, **111**, 1-2, 448
2. *Ребиндер П.А.* Избранные труды. 1. Наука, М., 1978, 368
3. *Русанов А.И.* Мицеллообразование в растворах поверхностно-активных веществ. Химия, СПб, 1992, 280
4. *Griffin W.C.* J. Soc. Cosmetic Chem., 1949, **1**, 311; 1954, **5**, 249
5. *Davies J.T.* Proc. 2<sup>nd</sup> Int. Congr. Surface Activity, 1. Butterworths, London, 1957, 426
6. *Davies J.T., Rideal E.K.* Interfacial Phenomena. Academic Press, N.Y., 1963, 480
7. Задымова Н. М., Маркина З.Н. Коллоидный журнал, 1986, **48**, 1, 15
8. Маркина З.Н., Задымова Н.М., Цикурина Н.Н., Щукин Е.Д. Коллоидный журнал, 1985, **47**, 1, 70
9. Попов А.Н. Диссертация на соискание ученой степени кандидата химических наук. Рига, 1979
10. *Betts I., Pethica B.* Trans. Faraday Soc., 1960, **56**, 8, 1515
11. *Aveyard R., Haydon D.* An Introduction to the Principles of Surface Chemistry. University Press, Cambridge, 1973, 235
12. *Aveyard R., Vincent B.* Progr. Surf. Sci., 1977, **8**, 59
13. *Rosen M.J.* Surfactants and Interfacial Phenomena. Wiley Intersci., N.Y., 1981, 72
14. *Абрамзон А.А.* Поверхностно-активные вещества. Химия, Л., 1981, 304
15. *Абрамзон А.А., Абрамова Н.В., Малахова Е.Е.* Коллоидный журнал, 1971, **33**, 4, 475
16. *Кругляков П.М., Ровин Ю.Г.* Физико-химия черных углеводородных пленок. Наука, М., 1978, 183
17. *Lee E.M., Thomas R.K., Penfold J., Ward R.C.* J. Phys. Chem., 1989, **93**, 381
18. *Kim M.W., Sauer B.B., Yu H., Yazdanian M., Zografi G.* Langmuir, 1990, **6**, 1 236

19. Lee J.R., Marrocco A., Su T.J., Thomas R.K., Penfold J. *J. Colloid Interface Sci.*, 1993, **158**, 2, 303
20. Borguet E., Zhang D., Eisenthal B. In.: *Physical Supramolecular Chemistry*. Kluwer Academic Publishers, Netherlands, 1996, 47
21. Бур Я. Динамический характер адсорбции. ИЛ, М., 1962, 290
22. Parsons R. *Trans. Faraday Soc.*, 1955, **51**, 1518
23. Parsons R. *J. Electroanalyst. Chem.*, 1963, **5**, 397
24. Helfland E., Frisch H., Lebowitz J. *J. Fluid Chem. Phys.*, 1961, **34**, 1037
25. Дамаскин Б.Б., Петрий О.А., Батраков В.В. Адсорбция органических соединений на электродах. Наука, М., 1968, 334
26. Богуславский Л.И. Биоэлектрические явления и граница раздела фаз. Наука, М., 1978, 360
27. Rehbinder P. *Biochem. Z.*, 1927, **187**, 13, 19
28. Jong H. In.: *Colloide Science*. Ed. Kruyt H. Amsterdam-L.-Brussel. Elsevier Publ. Comp., 1949, 259
29. Frumkin A.N., Reichstein N., Kulwarskaya R. *Kolloid. Z.*, 1926, **40**, 1, 9
30. Goddard E.D., Kao O., Kung H. *J. Colloid Interface Sci.*, 1968, **27**, 4, 616
31. Plaisance M., Ter-Minassian-Saraga L. *J. Colloid Interface Sci.*, 1976, **56**, 1, 33
32. Plaisance M., Ter-Minassian-Saraga L. *J. Colloid Interface Sci.*, 1977, **59**, 113
33. Ангелова А., Петров Й. Год. Софийск. Univ. Хим. фак., 1993, **85**, 65; РЖХ, 1994, 14Б2369
34. Крылов В.С., Мямлин В.А., Богуславский Л.И., Манвелян М.А. Электрохимия, 1977, **13**, 6, 834
35. Tamaki K. *Bull. Chem. Soc. Jpn.*, 1967, **40**, 1, 38
36. Tamaki K. *Bull. Chem. Soc. Jpn.*, 1974, **47**, 10, 2764
37. Yashiro M., Matsumoto K., Seki N., Yoshikawa S. *Bull. Chem. Soc. Jpn.*, 1993, **66**, 5, 1559
38. Shiya T., Tsukahara S., Termae N. *Chemistry Letters*, 1996, **6**, 469
39. Thalody B., Warr G. *J. Colloid Interface Sci.*, 1997, **188**, 2, 305

40. Bell G.R., Bain C.D., Li Z.X., Thomas R.K., Duffy D.C., Penfold J. J. Am. Chem. Soc., 1997, **119**, 42, 10227
41. Haas S., Hoffmann H. Prog. Colloid Polym. Sci., 1996, **101**, 131
42. Carroll B., Haydon D. J. Chem. Soc. Faraday Diss., Part 1., 1975, **71**, 3, 361
43. Uryu S., Yamanaka M., Aratono M., Motomura K., Matuura R. Memoirs of the Faculty Sci., Kyushu University, 1983, **14**, ser. C, 1, 11
44. Богуславский Л.И., Фрумкин А.Н., Манвелян М.А. ДАН СССР, 1977, **233**, 1, 144
45. Eastoe J., Hetherington K.J., Karen J., Dalton J.S., Sharpe D., Lu J.R., Heenan R.K. J. Colloid Interface Sci., 1997, **190**, 2, 449
46. Moroi Y., Murata Y., Fukuda Y., Kido Y., Seto W., Tanaka M. J. Phys. Chem., 1992, **96**, 21, 8610
47. Patrick N., Warr G. J. Phys. Chem., 1996, **100**, 40, 16268
48. Heindl A., Kohler H.-H. Langmuir, 1996, **12**, 10, 2464
49. Bijma K., Engberts J.B.F.N. Langmuir, 1997, **13**, 18, 4843
50. Magid L.J., Han Z., Warr G.G., Cassidy M.A., Butler P.D., Hamilton W.A. J.Phys. Chem. B., 1997, **101**, 40, 7919
51. Tuin G., Candau F., Zana R. Colloids Surf., A., 1998, **131**, 1-3, 303
52. Ягодин Г.А., Тарасов В.В., Юртов Е.В. ДАН СССР, 1974, **218**, 3, 647
53. Vandengriff G.F., Horwitz E.P. J. Inorg. and Nucl. Chem., 1980, **42**, 1, 127
54. Никитин С.Д., Шмидт В.С. Коллоидный журнал, 1983, **45**, 5, 1011
55. Gavach C., Bellet E., Davion N., Seta P. J.Chim. Phys., 1971, **68**, 6, 1005
56. Scibona G., Danessi P., Conte A., Scuppa B. J. Colloid Interface Sci., 1971, **35**, 4, 631
57. Попов А.Н. Всес. конф. по экстракции. Тез. докл. Т.3. Зинатне, Рига, 1977, 23
58. Хейфец В.Л., Шнеерсон А.А. Ж. прикл. химии, 1977, **50**, 3, 534
59. Попов А.Н. Изв. АН Латв. ССР, сер. хим., 1978, **2**, 175
60. Pizzichini M., Chiarizia R., Danessi P. J. Inorg. and Nucl. Chem., 1978, **40**, 4, 669
61. Попов А.Н. Электрохимия, 1984, **20**, 12, 1571
62. Yamamoto K., Inada S. Anal. Sci., 1995, **11**, 4, 643

63. Watarai H., Shibuya Y. Bull. Chem. Soc. Jpn., 1989, **62**, 11, 3446
64. Nagatani H., Watarai H. J. Chem. Soc., Faraday Trans., 1998, **94**, 2, 247
65. Попов А.Н., Пурин Б.А. ДАН СССР, 1979, **246**, 3, 659
66. Серга В.Э., Куликова Л.Д., Попов А.Н. Изв. АН Латв. ССР, сер. хим., 1996, **2**, 207
67. Попов А.Н., Тимофеева С.К., Серга В.Э. Latvijas Ķīmijas Žurnals, 1991, **6**, 675
68. Мартынов В.В. Экстракция органическими кислотами и их солями. Справочник. Атомиздат, М., 1978, 366
69. Lucassen-Reyndess E. Prog. Surf. and Membrane Sci., 1978, **10**, 253
70. Hutchinson E., Randall D. J. Colloid Sci., 1952, **7**, 151
71. Feat G., Levine S. In.: Monolayers (Advances in chemistry Series, 144). Amer. Chem. Soc., Washington, 1975, 98
72. Coltharp K.A., Franses E.A. Colloids Surf., 1996, **108**, 2/3, 225
73. Mehrota K.N., Jain M. Tenside, Surfactants, Deterg., 1996, **33**, 1, 69
74. Tamaki K., Kobayashi K., Nomura T., Iijima M., Shimoji M. Nihon Yukagakkaishi, 1977, **46**, 8, 921; C.A., 1997, **127**, 283724r
75. Zhang L., Chen S., Jin D., Motoko U., Tisato K. Acta Chim. Sin., 1992, **50**, 9, 868; РЖХ, 1993, 11Б2370
76. Goddard E.D. Croat. Chem. Acta, 1970, **40**, 3-4, 134
77. Goddard E.D., Kao O., Kung H.C. J. Colloid Interface Sci., 1967, **24**, 2, 297
78. Osseo-Asare K. Interfacial Phenomena in Hydrometallurgical Processes. Hydromet. Process Fundam. Proc. NATO Adv. Res. Ins., Cambridge, N.Y., London, 1984
79. Yazdanian M., Yu H., Zografi G. Langmuir, 1990, **6**, 6, 1093
80. Linden M., Rosenholm J.B. Langmuir, 1995, **11**, 1, 4499
81. Patel H.M., Didymus J.M., Wong K.K.W., Hirsch A., Skiebe A., Lamparth I., Mann S. Chem. Commun. (Cambridge), 1996, **5**, 611; C.A., 1996, **124**, 271212x
82. Bogacki M.B., Jakubiak A., Prochaska K., Szymanowski J. Colloids Surf., A, 1996, **110**, 3, 263
83. Goddard E.D., Kung H. Colloid Interface Sci., 1971, **37**, 5805

84. Goddard E.D., Matteson G.H., Totten G.E. *J. Colloid Interface Sci.*, 1982, **85**, 1, 19
85. Weil J. *J. Phys. Chem.*, 1966, **70**, 1, 133
86. Hendrikx Y., Mari D. *J. Colloid Interface Sci.*, 1980, **78**, 1, 74
87. Shultz J.C., Warr G.G. *J. Chem. Soc., Faraday Trans.*, 1998, **94**, 2, 253
88. Oh S.G., Shah D.O. *J. Phys. Chem.*, 1993, **97**, 284
89. Файнштейн Е.В., Попов А.Н. *Изв. АН Латв. ССР, сер. хим.*, 1990, **5**, 592
90. Liu Chang-Xin, Cui Yu, Yang Yong-Hui, Sun Si-Xui, Sun Guo-Xin. *Gaodeng Xuexiao Huaxue Xuebao*, 1997, **18**, 3, 460; *C.A.*, 1997, **126**, 191485q
91. Simonin J.-P. *Solvent Extr. Ion. Exch.*, 1997, **15**, 3, 483
92. Zha F.F., Fane A.G., Fell C.J.D. *J. Membr. Sci.*, 1995, **107**, 1-2, 75
93. Основы жидкостной экстракции. Под ред. Ягодина Г.А. Химия, М., 1981, 399
94. Charewicz W.A., Radzicka W., Strzelbicki J. *J. Colloid Interface Sci.*, 1980, **76**, 2, 290
95. Gaoncar A.G., Neuman R.D. *J. Colloid Interface Sci.*, 1987, **119**, 1, 251
96. Kim H., Kanki T., Asano T. *Kagaku Kogaku Ronbunshu*, 1966, **22**, 4, 837; *C.A.*, 1996, **125**, 91859a
97. Kanki T., Asano T., Yamashita H., Uetani S., Kim H. *Kagaku Kogaku Ronbunshu*, 1997, **23**, 2, 296; *C.A.*, 1997, **126**, 334780v
98. Zalkin A., Hopkins D., Templeton D. *Inorg. Chem.*, 1967, **6**, 1911
99. Makrlik E., Vanura P. *Talanta*, 1985, **132**, 423
100. Tamaki K., Kobayashi K., Nomura T., Iijima M., Shimoi M. *Nihon Yukagakkaishi*, 1997, **46**, 8, 921; *C.A.*, 1997, **127**, 283724r
101. Karukstis K.K., Suljak S.W., Waller P.J., Whiles J.A., Thompson E.H.Z. *J. Phys. Chem.*, 1996, **100**, 26, 11125
102. Abuin E.B., Lissi E.A., Borsarelli C. *J. Colloid Interface Sci.*, 1996, **184**, 2, 652
103. Su T.J., Thomas R.K., Penfold J. *Langmuir*, 1997, **13**, 7, 2133
104. Baglioni P., Gambi C.M.C., Giordano R., Teixeira J. *Colloids Surf., A*, 1997, **121**, 1, 47

105. *Agra C., Amado S., Leis J.R., Rios A.* J.Phys. Chem. B., 1997, **101**, 39, 7780
106. *Tamaki K., Kobayashi K., Nomura T., Iijima M., Shimo M.* Nihon Yukagakkaishi, 1997, **46**, 2, 209; C.A., 1997, **126**, 309154m
107. *Eastoe J., Fragnedo G., Robinson B.H., Towey T.F., Heenan R.K., Leng F.J.* J. Chem. Soc. Faraday Trans., 1992, **88**, 3, 461
108. Чекмарев А.М., Синегрибова О.А., Ким В., Чибрикина Е.И., Букарь Н.В., Шифрин М.Е. Коллоидный журнал, 1996, **58**, 1, 109
109. *Aratono M., Ikeguchi M., Takiue T., Ikeda N., Motomura K.* J.Colloid Interface Sci., 1995, **174**, 1, 156
110. *Matsuki H., Ikeda N., Aratono M., Kaneshina S., Motomura K.* J.Colloid Interface Sci., 1992, **154**, 2, 454
111. Можейко Ф.Ф., Старостина О.И., Овсеенко Л.В., Корщук Э.Ф. ДАН Беларуси, 1995, **39**, 4, 50
112. *Matsuki H., Aratono M., Kaneshina S., Motomura K.* J. Colloid Interface Sci., 1997, **191**, 1, 120
113. Зайцев С.Ю., Зубов В.П. Биологические мембранны, 1989, **6**, 8, 883
114. *Rapaport H., Kuzmenko A., Kjaer R., Howes P., Bouwman W., Als-Nielsen J., Leiserowitz L., Lahav M.* J. Am. Chem. Soc., 1997, **119**, 46, 11211
115. Овчинников Ю.А. Биоорганическая химия. Просвещение, М., 1987, 815
116. *Glasle K., Klein U.K.A., Hauser M.* J. Mol. Struct., 1982, **84**, 5, 353
117. Конуп И.Н., Назаров Е.И., Ионтов И.А., Ионтова Р.А., Вонгай В.Г. Биологические мембранны, 1989, **6**, 11, 1222
118. *Vandengriff G.F., Delphin W.H.* J. Inorg. And Nucl. Chem., 1980, **42**, 1359
119. *Kuo P.Z., Ikeda I., Okahara M.* Tenside Detergents, 1982, **19**, 4, 204
120. *Baglioni P., Gambi C.M.C., Giordano R., Nostro P.L., Teixeira J.* Physica B(Amsterdam), 1997, **234**, 300; C.A., 1997, **127**, 181517h
121. *Campagna M., Dei L., Gambi C.M.C., Nostro P.L., Zini S., Baglioni P.* J.Phys. Chem. B, 1997, **101**, 49, 10373
122. *Matsumura H., Watanabe T., Farusawa K., Inokuma S., Kuwamura T.* Bull. Chem. Soc. Jpn., 1987, **60**, 8, 2747

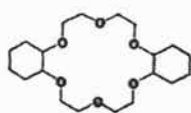
123. Furusava K., Kawahadra Y., Watanabe T., Matsumura H., Inokuma S.,  
Kuwamura T. J.Jap. Oil. Chem. Soc., 1989, **38**, 4, 287; РЖХ, 1990, 1Б2672
124. Зайцев С.Ю., Луценко В.В., Зубов В.П. Биоорганическая химия, 1983,  
**9**, 4, 567
125. Danessi P., Chiarizia R., Pizzichini M., Saltelli A. J.Inorg. and Nucl. Chem.,  
1978, **40**, 9, 1119
126. Попов А.Н., Серга В.Э., Пурин Б.А. ДАН СССР, 1985, **281**, 1, 109
127. Овчинников Ю.А., Иванов Т.А., Шкроб А.М. Мембрano-активные  
комплексоны. Наука, М., 1974, 463
128. Хираока М. Краун-соединения. Мир, М., 1986, 363
129. Schott H. J.Colloid Interface Sci., 1997, **189**, 1, 117
130. Schott H. J. Colloid Interface Sci., 1995, **173**, 2, 265
131. Koide Y., Sato H., Shosenju H., Yamada K. Bull. Chem. Soc. Jpn., 1996,  
**69**, 2, 315
132. Kim J.S., Suh I.H., Oh M.R., Ra D.Y., Cho N.S. Bull. Korean Chem. Soc.,  
1997, **18**, 6, 677; C.A., 1997, **127**, 161814z
133. Nostro P.L., Casnati A., Bossoletti L., Dei L., Baglioni P. Colloids Surf., A,  
1996, **116**, ½, 203
134. Tyson J.C., Moore J.L., Hugues K.D., Collard D.M. Langmuir, 1997, **13**, 7,  
2068
135. Lauterbach M., Wipff G. Physical Supramolecular Chemistry. Ed. by  
Echegoyen L. and Kaifer A.E. Kluwer Academic Publishers, Netherlands,  
1996, 65
136. Kadish K., Anderson J. Pure and Appl. Chem., 1987, **59**, 5, 703
137. Якшин В.В., Жукова Н.Г., Царенко Н.А., Федорова А.Т., Ласкорин Б.Н.  
ДАН, 1983, **273**, 1, 160
138. Izatt R., Haymore B., Bradshaw J., Christensen J. Inorg. Chem., 1975, **14**,  
12, 3132
139. Selucky P., Rais J., Kurš M., Kadlecova L. J. Radioanal. Nucl. Chem.,  
1991, **148**, 2, 227
140. Бишоп Э. Индикаторы. В 2-х томах. Мир, М., 1976

141. Schwarzenbach G., Biedermann W. *Helvetica Chimica Acta*, 1948, **31**, 3, 678
142. Попов А.Н. Электрохимия (Итоги науки и техники ВИНИТИ АН СССР). 1988, **28**, 305
143. Навашин С.М., Фомина И.П. Справочник по антибиотикам. Медицина, М., 1974, 416
144. Кашкин П.Н., Безбородов А.М., Елинов Н.П., Цыганов В.А. Антибиотики. Медицина, Л., 1970, 374
145. Шемякин М.М., Хохлов А.С. Химия антибиотических веществ. Госхимиздат, М.-Л., 1953, 654
146. Canals E., Marignan R., Maury Y. *Trav. Soc. Pharm. Montpellier*, 1953, **13**, 71
147. Mc Bain J.W., Huff H., Brady A. *J. Am. Chem. Soc.*, 1949, **71**, 1, 373.  
Антибиотики. Сборник переводов, обзоров и рефератов иностранной литературы. Изд. иностр. лит., М., 1949, вып. 4
148. Джейкок М, Парфит Дж. Химия поверхностей раздела фаз Мир, М, 1984, 269
149. Евланова Т.В., Попов А.Н. Изв. АН Латв. ССР, сер. хим., 1989, 1, 43
150. Purson F.M., Whitaker S. *J. Colloid Interface Sci.*, 1976, **54**, 203
151. Попов А.Н., Тимофеева С.К., Борисова Т.В. *Latv. Ķīm. Žurn.*, 1993, 5, 564
152. Евланова Т.В., Попов А.Н. Изв АН Латв. ССР, сер. хим., 1989, 1, 50
153. Wilkinson M.C. *J. Colloid Interface Sci.*, 1972, **40**, 1, 14
154. Ambwani D., Fort T. *Surface and Colloid Sci.*, 1979, **2**, 93
155. Эберт К., Эдерер Х. Компьютеры. Применение в химии. Мир, М., 1988, 416
156. Камман К. Работа с ионселективными электродами. Мир, М., 1980, 283
157. Grischenko A.B. *Latv. Ķīm. Žurn.*, 1992, **1**, 80
158. Несмиянов А.Н. Радиохимия. Химия, М., 1972
159. Попов А.Н., Евланова Т.В., Тимофеева С.К. Изв. АН Латв. ССР, сер. хим., 1990, 1, 44

160. Colacicco G., Gordon E. J. Colloid Interface Sci., 1978, **63**, 1, 76
161. Шляхтер Т.А., Щагина Л.В., Лев А.А. Биофизика мембран. Каунас, 1973, 662
162. Гофманова А., Гугешашвили М.И., Богуславский Л.И. Электрохимия, 1985, **21**, 3, 303
163. Miller R., Lunkenheimer K. Colloid and Polymer. Sci., 1983, **261**, 585
164. Ries Jr. N.E. Colloids and Surfaces, 1984, **10**, 283
165. Попов А.Н., Драчев Г.Ю., Щипунов Ю.А. ЖФХ, 1983, **57**, 9, 2288
166. Краткий справочник физико-химических величин. Под ред. Мищенко К.П., Равделя А.А. Химия, Л., 1972, 200
167. Алексюк Н.П., Назаренко А.Ю., Пятницкий И.В. ЖАХ, 1982, **37**, 12, 2147
168. Few A.V., Schulman J.H. Biochem. et Biophys. Acta, 1953, **10**, 2, 302
169. Lee C.J., Wang S.S. J.Chem. Tech. Biotechnol., 1995, **64**, 3, 239
170. Евланова Т.В., Тимофеева С.К., Попов А.Н. Изв. АН Латв. ССР, сер. хим., 1989, **2**, 165
171. Lindner E., Toth K., Pungor E., Behm F., Oggenfuss P., Welti D.H., Ammann D., Morf W.E., Pretsch E., Simon W. Anal. Chem., 1984, **56**, 7, 1127
172. Шпигун Л.К., Новиков Е.А., Золотов Ю.А. ЖАХ, 1986, **41**, 617
173. Izatt R.M., Brandshaw J.S., Nielsen S.A., Lamb J.D., Christensen J.J., Sen D. Chem. Rev., 1985, **85**, 2, 271
174. Попов А.Н., Тимофеева С.К., Борисова Т.В. Latvijas Ķīm. Žurn., 1993, **3**, 292
175. Gordon J.E. The organic chemistry of electrolyte solutions. Wiley-Interscience Publication, New York, 1975
176. Tarasov V.V., Yagodin G.A. In.: Ion Exchange and Solvent Extraction. J.A. Marinsky and Y. Marcus Eds., Marcel Dekker, New York, 1988
177. Кочурова Н.Н. Успехи коллоидной химии. Химия, Л., 1991, 178
178. Морф В. Принципы работы ионоселективных электродов и мембранный транспорт. Мир, М., 1985
179. Sheng-Luo Xie, Camman K.J. J.Electroanal. Chem., 1988, **245**, 117

180. Marcus Y. In.: Liquid Interface: Theory and Methods. A.G. Volkov, D.W. Deamer Eds., CRC Press, Boca Raton, 1996
181. Izatt R.M., Pawlak K., Bradshaw J.S., Bruening R. Chem. Rev., 1991, **91**, 1721

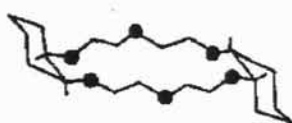
## 7. VAV struktūru formulas un saīsinājumi



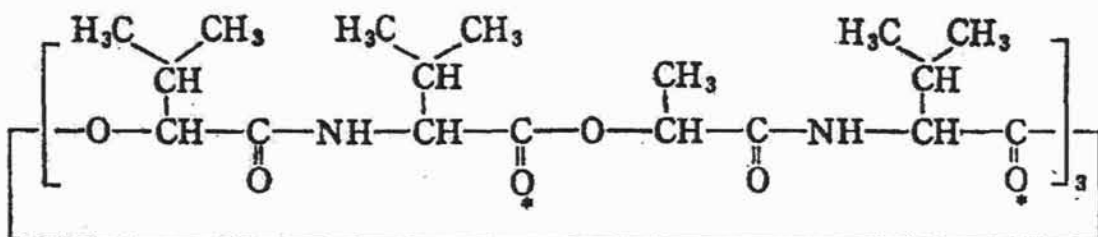
Dicikloheksāno-18-krauns-6 DCH



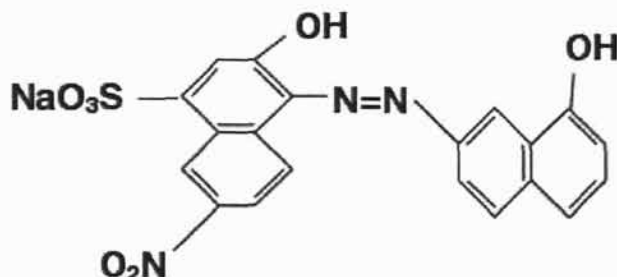
A izomērs DCH(A)



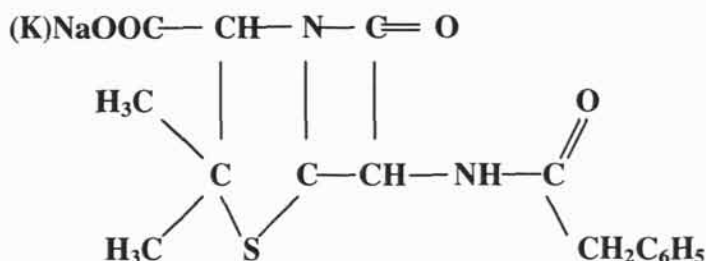
B izomērs DCH(B)



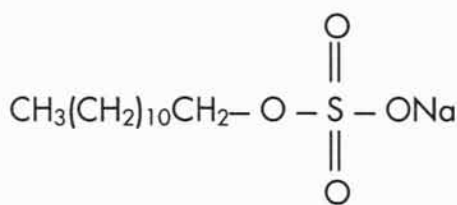
Valinomicīns



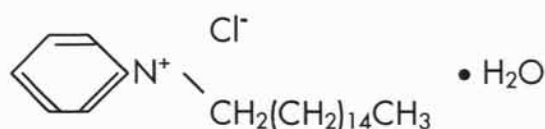
Eriohrommelnais T NaH<sub>2</sub>Ind



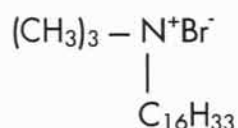
Benzilpenicilīna nātrijs (kālijs) sāls Na(K)BP



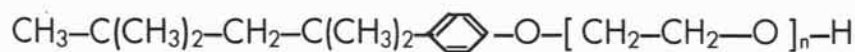
Nātrijs dodecilsulfāts,  
nātrijs laurilsulfāts  
SDS



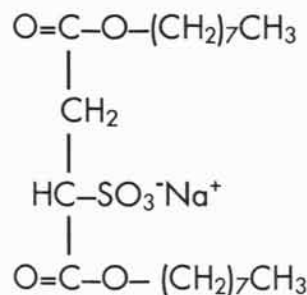
Cetilpiridīnija hlorīds



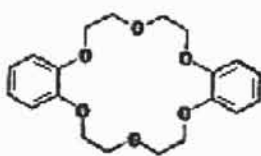
Cetiltrimetillamonijja bromīds



n=9,10  
Tritons X-100



Nātrijs dioktilsulfosukcināts  
Aerosols OT  
AOT



Dibenzo-18-krauns-6  
DBK

Di-2-ētilheksilforskābe  
D2EHFS

Etilendiamintetraetikskābes dinātrijs sāls Na<sub>2</sub>EDTE

VAV – virsmas aktīvas vielas

HLL – hidrofilītātes-lipofilitātes līdzvars

DES – dubultais elektriskais slānis

MVKK – micellas veidošanās kritiskā koncentrācija

## **8. Publikācijas**

1. Евланова Т.В., Попов А.Н. Адсорбция дициклогексано-18-краун-6 из неводной фазы на границах раздела вода/толуол и вода/дихлорэтан в присутствии солей свинца. - Изв. АН ЛатвССР, сер. хим., 1989, N 1, с. 43-49.
2. Евланова Т.В., Попов А.Н. Адсорбция валиномицина из неводной фазы на границах раздела вода/октан. - Изв. АН ЛатвССР, сер. хим., 1989, N 1, с. 50-54.
3. Евланова Т.В., Тимофеева С.К., Попов А.Н. Дициклогексано-18-краун-6 мембраноактивное вещество для потенциометрического определения ионов свинца (II). - Изв. АН ЛатвССР, сер. хим., 1989, N 2, с. 165-169.
4. Попов А.Н., Тимофеева С.К., Евланова Т.В. Вольтамперометрия жидких мембран. 7. Реэкстракция ионов свинца (II) из растворов комплексов дициклогексано-18-краун-6 в дихлорэтане. - Изв. АН ЛатвССР, сер. хим., 1990, N 1, с. 44-50.
5. Попов А.Н., Тимофеева С.К., Борисова Т.В. Вольтамперометрия жидких мембран. 12. Синергентный эффект в мембранах, содержащих макроциклические ионофоры и дикарболид цезия. - Latv. ķīm. Žurn., 1993, N3, lpp. 292-300.
6. Попов А.Н., Тимофеева С.К., Борисова Т.В. Вольтамперометрия жидких мембран. 13. Периодические явления при транспорте ионов через мембранны, содержащие макроциклические полизэфиры. - Latv. ķīm. Žurn., 1993, N5, lpp. 564-572.
7. Попов А.Н., Тимофеева С.К., Евланова Т.В., Пурин Б.А. Периодические явления при электродиализе ионов свинца через жидкие мембранны - ДАН СССР, 1989, т. 306, N 5, с. 1160-1163.
8. Popov A., Timofeyeva S., Yevlanova T. Current oscillations in electrodialysis of lead ion through liquid membranes. J. Electroanal. Chem. 1990, vol. 280, pp. 61-72.
9. Евланова Т.В. Комплексообразование между калиевыми солями и изомером "A" дициклогексано-18-краун-6 на границе раздела фаз вода/толуол. Тезисы докладов 12 конференции молодых научных работников ИНХ. Рига, Зинатне, 1989, с. 89-90.
10. Евланова Т.В. Электродиализ жидких мембран-растворов комплексов дициклогексано-18-краун-6 с нитратом свинца (II) в дихлорэтане. Тезисы докладов 1 Всесоюзной школы молодых ученых "Мембранные процессы разделения жидких смесей", Рига, Зинатне, 1989, с. 28.
11. Попов А.Н., Борисова Т.В. Влияние природы экстрагируемых металлов на поверхность активность анионов дикарболида на границе раздела фаз вода/1,2-дихлорэтан. X Всесоюзная конференция по экстракции. Уфа, Тезисы докл., 1994, с. 88.
12. Попов А.Н., Борисова Т.В. Определение поверхностных и объемных констант ионного обмена из измерений межфазного напряжения. XI Российская конференция по экстракции. М., Тезисы докл., 1998, с. 158
13. Борисова Т.В., Попов А.Н. Обмен противоионов на монослоях экстрагентов, адсорбированных на границах раздела фаз вода/масло. XI Российская конференция по экстракции. М., Тезисы докл., 1998, с. 167
14. Popov A., Borisova T. Adsorption of cobalt dicarbollyde salt at the water/dichloroethane interface. Influence of a nature of the counterions. Journal of Colloid and Interfacial Science. (JCIS99-0630-Kr)